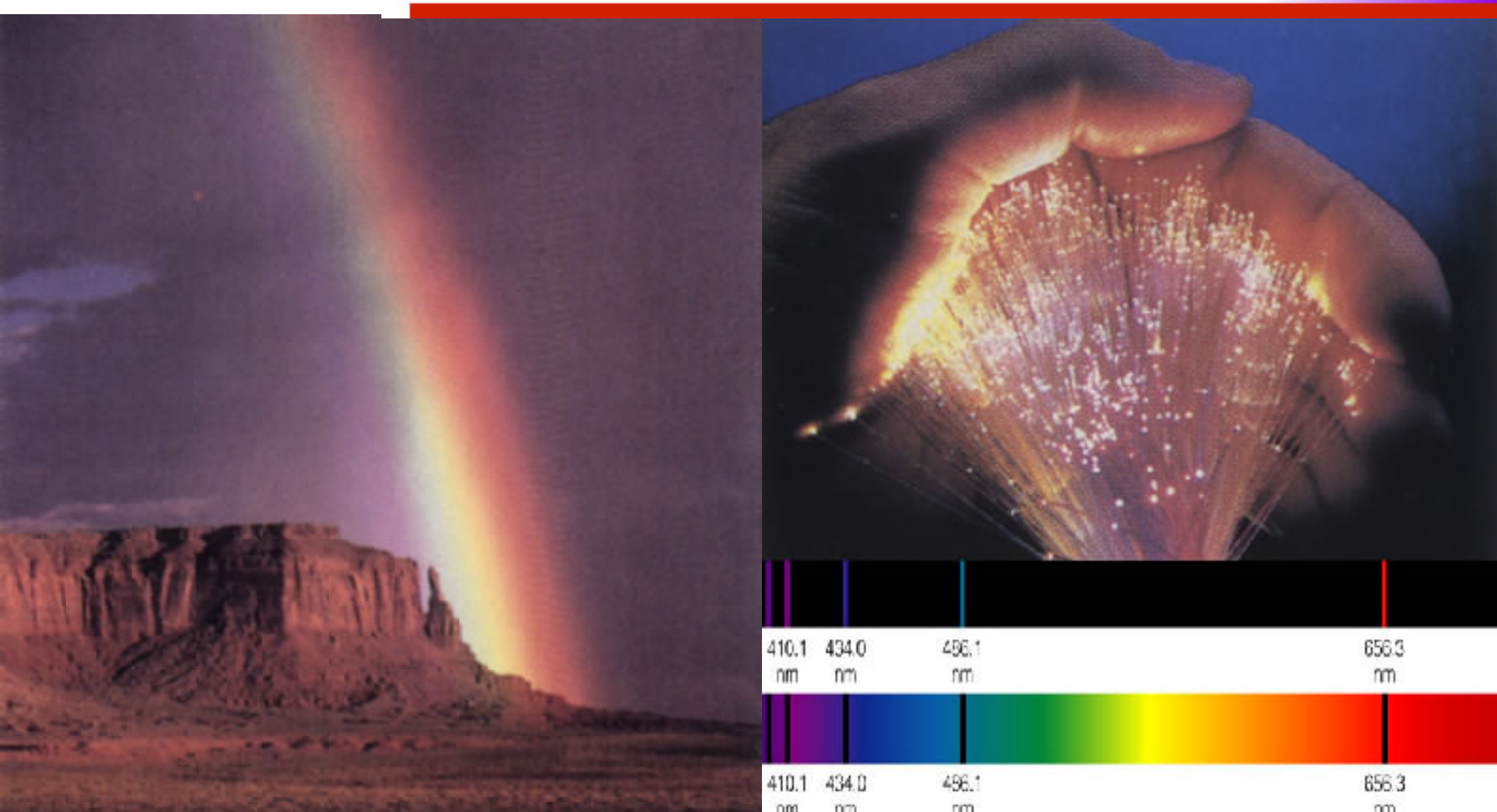
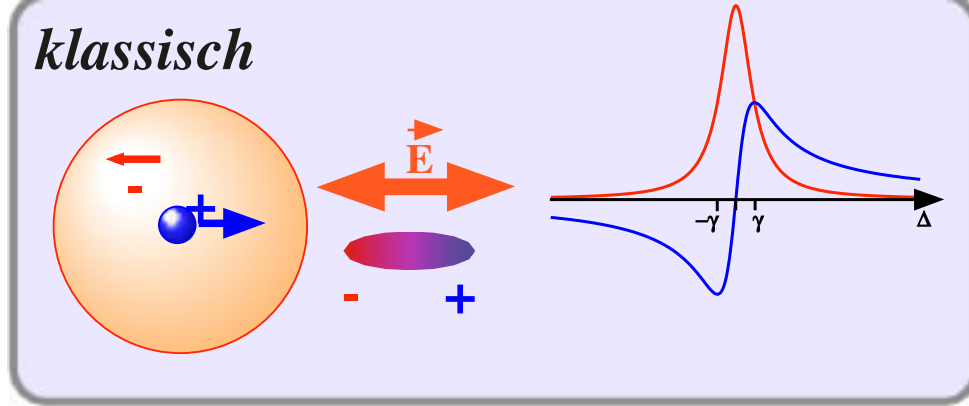


3) Licht-Materie Wechselwirkung



Inhalt



3.1 Klassische Dispersionstheorie

3.2 Das Jaynes-Cummings Modell

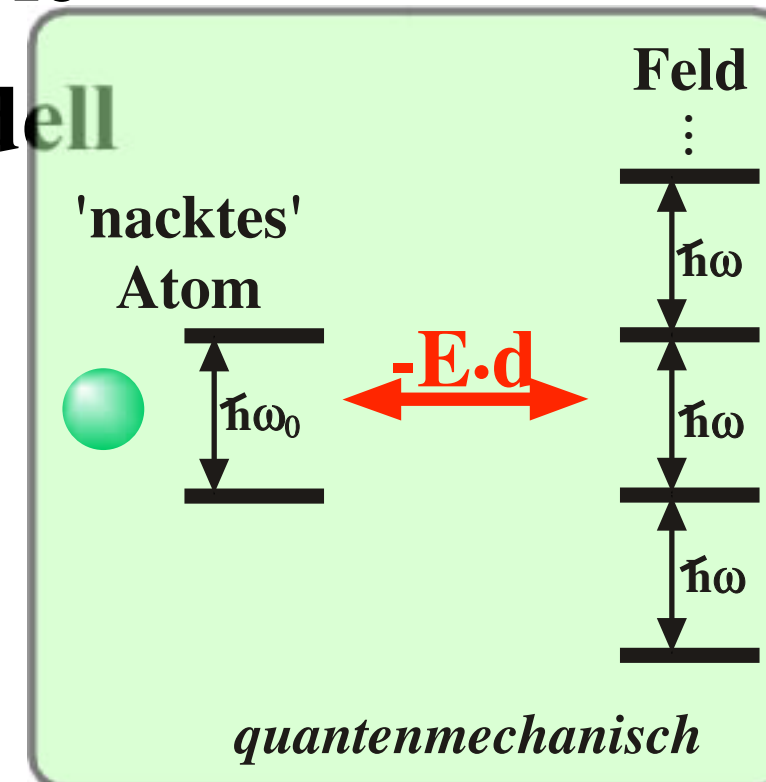
3.3 Das Zweiniveaumodell

3.4 Der Dichteoperator

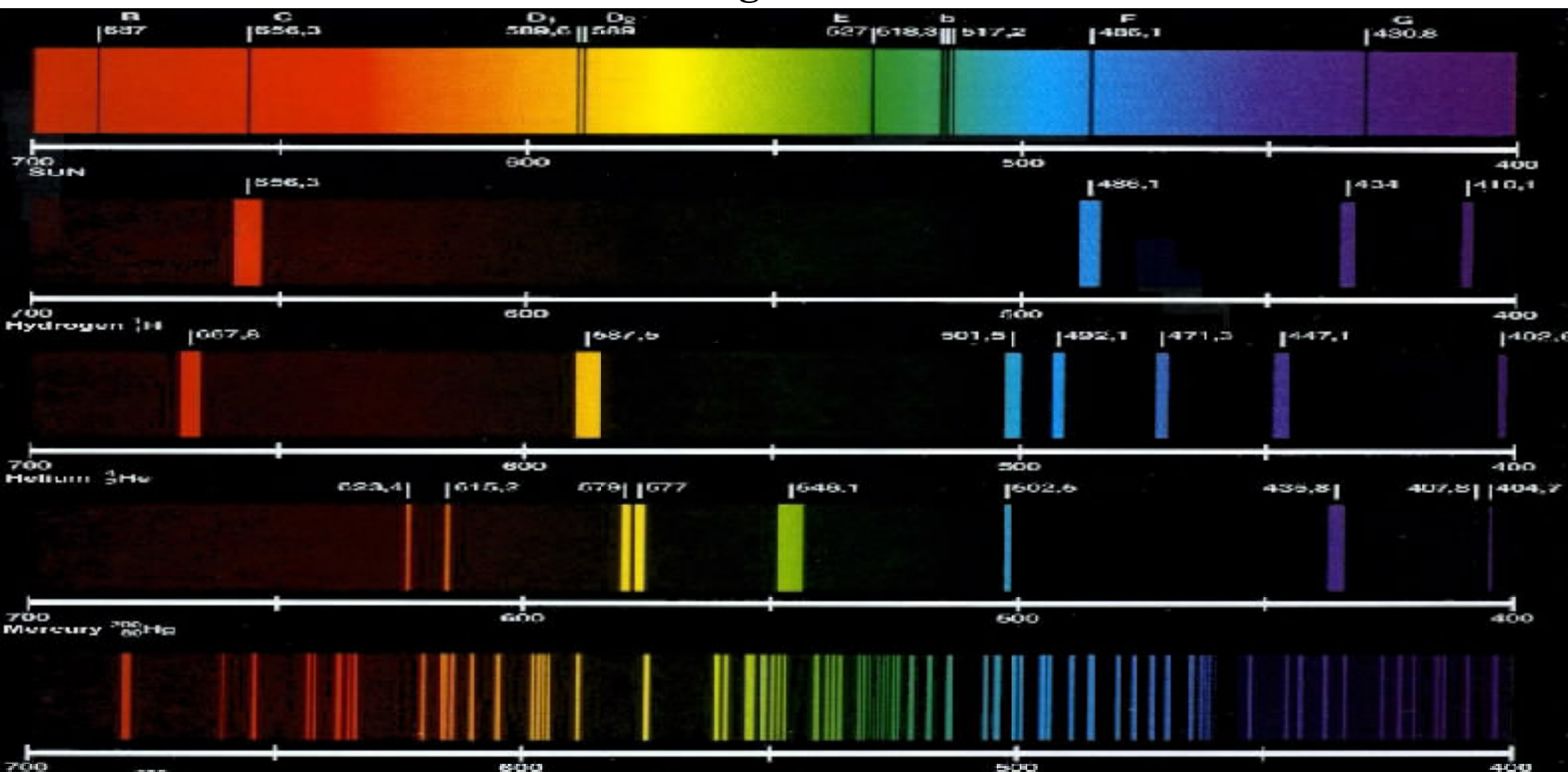
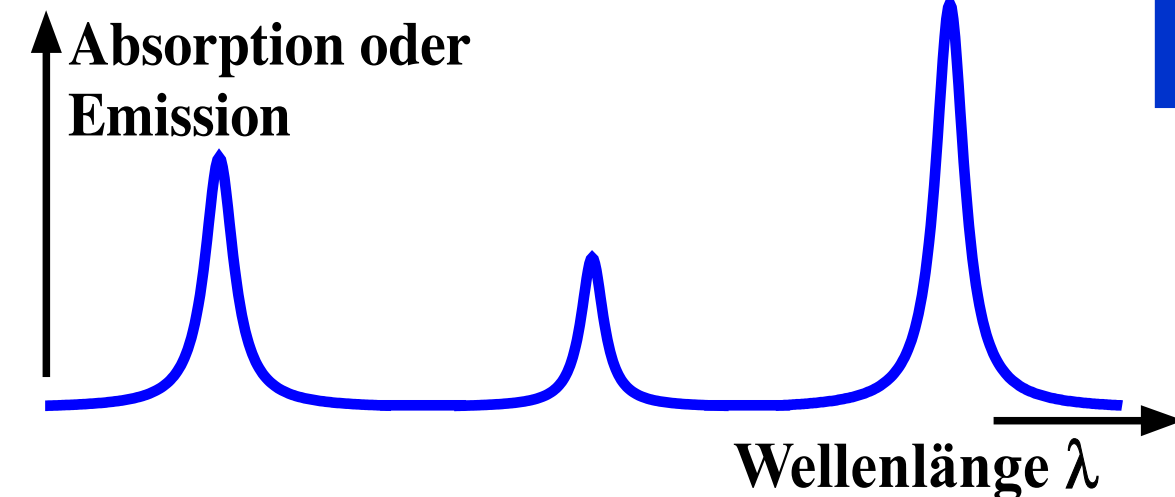
3.5 Optische Blochgleichung

3.6 Laserpulse

3.7 Stationäre Lösung

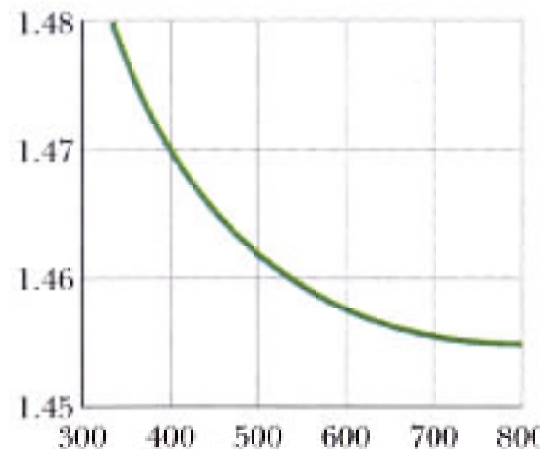


Resonanz



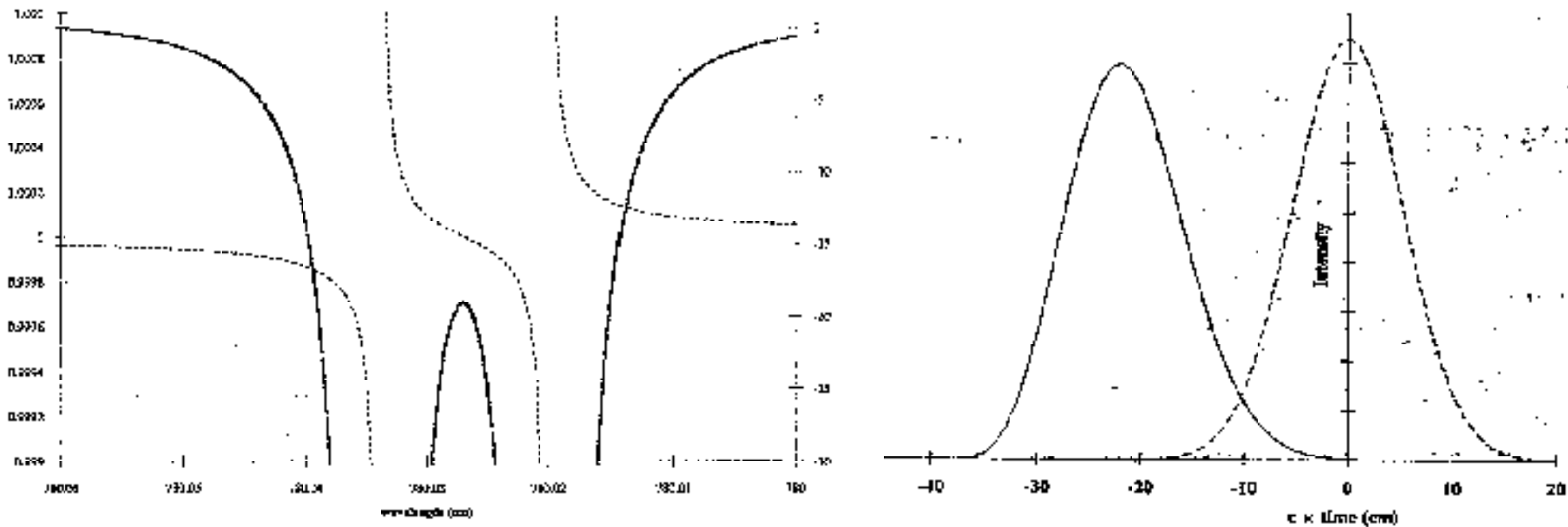
Resonante Dispersion

Brechungsindex von Quarz



Brechungsindex in Rb

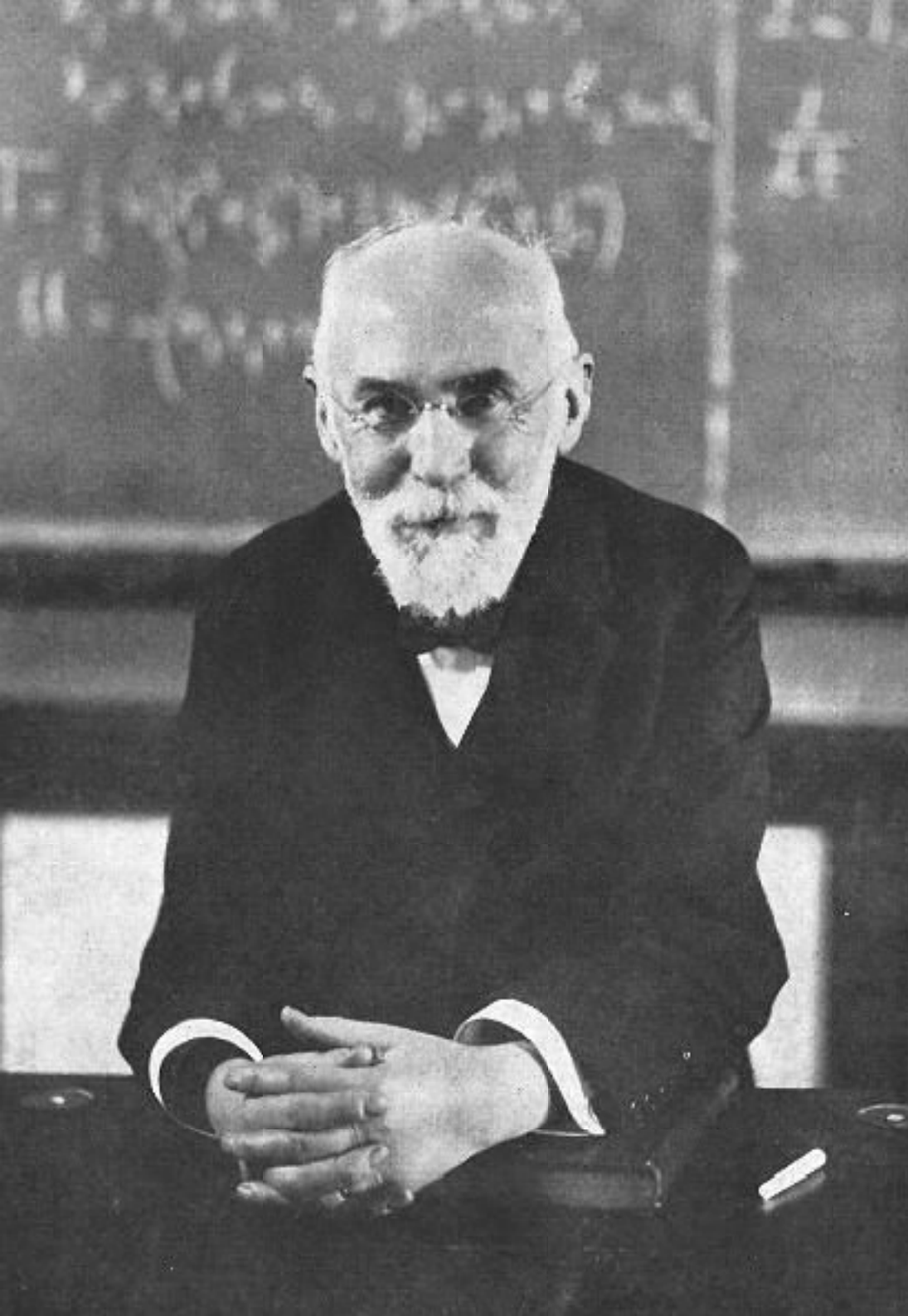
Wellenlänge / nm



Wellenlänge / nm

$c \cdot \text{Zeit} / \text{cm}$

Lorentz



Hendrik Antoon Lorentz

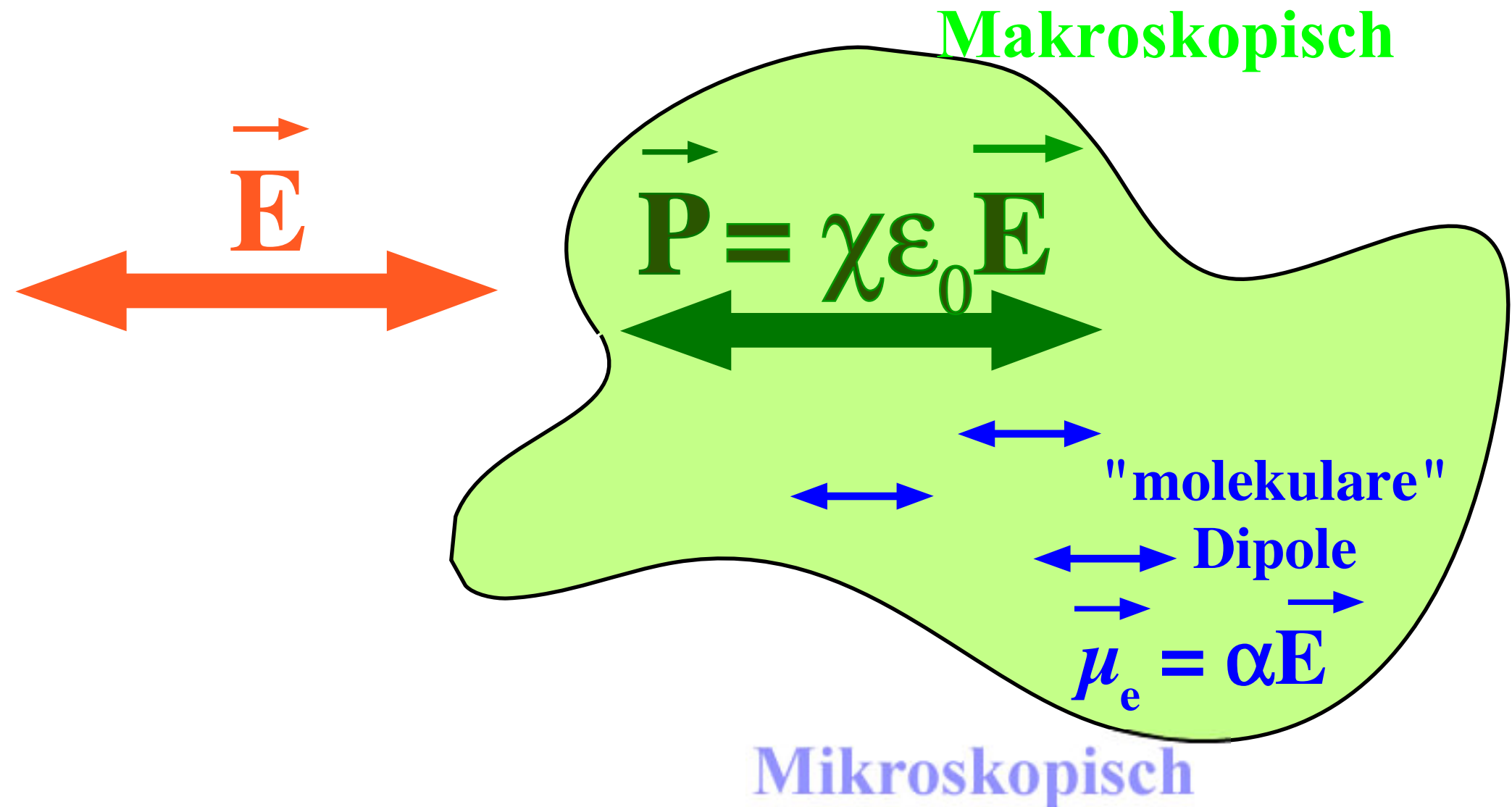
1853–1928

1902 Nobelpreis für Physik

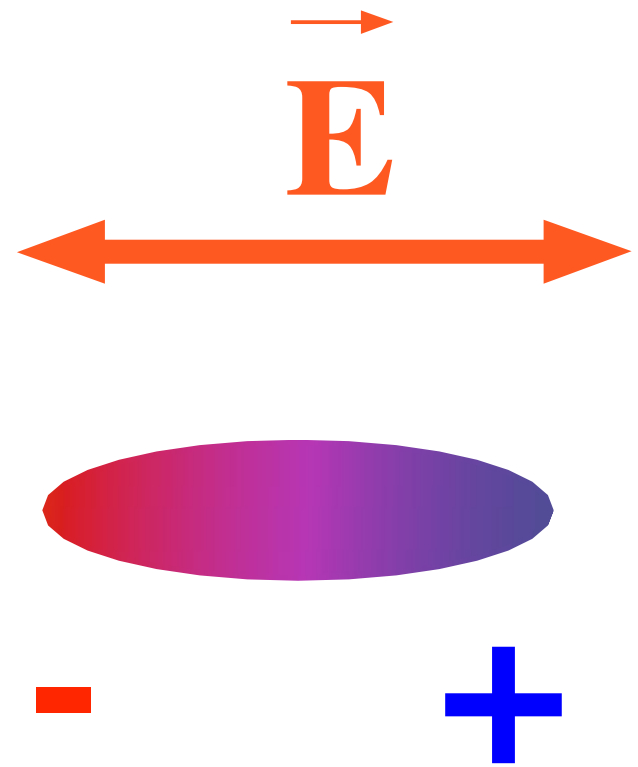
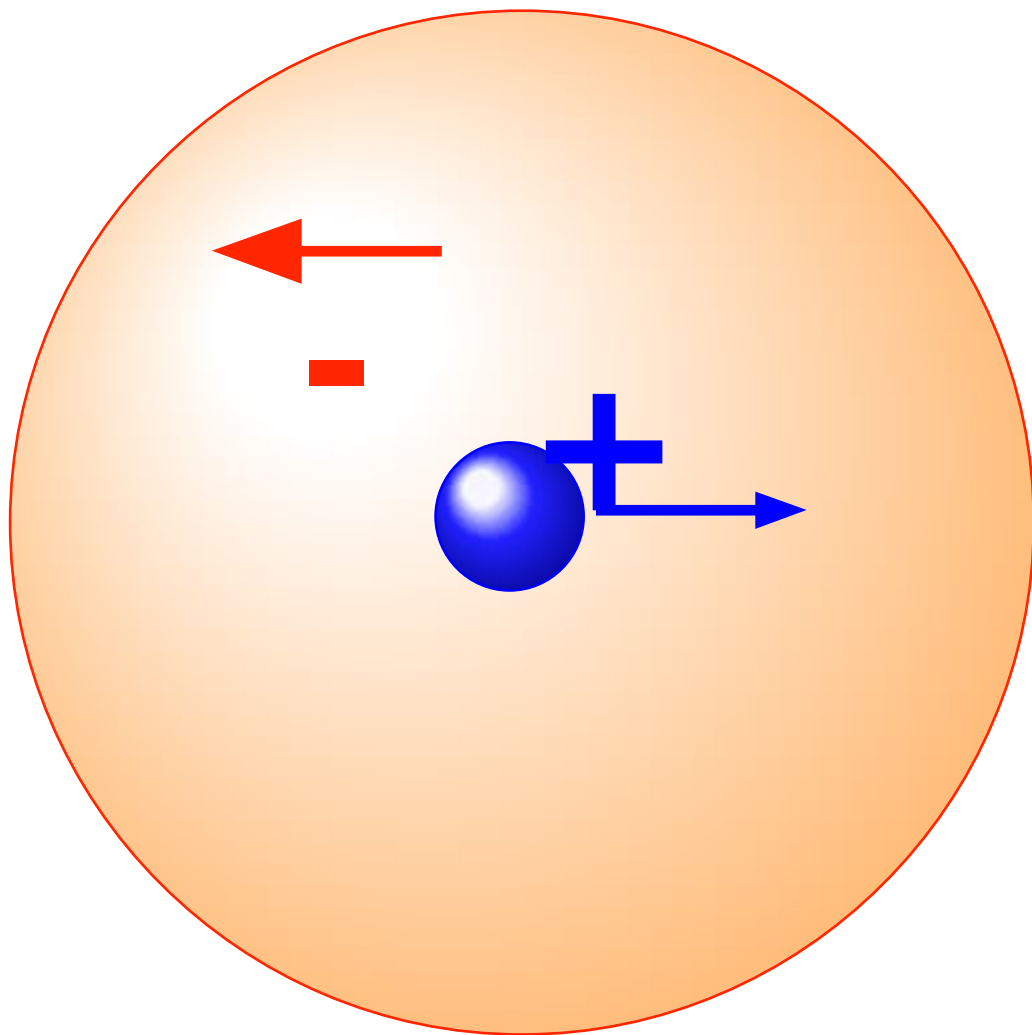
Postulierte das Elektron

Lorentz-Transformation

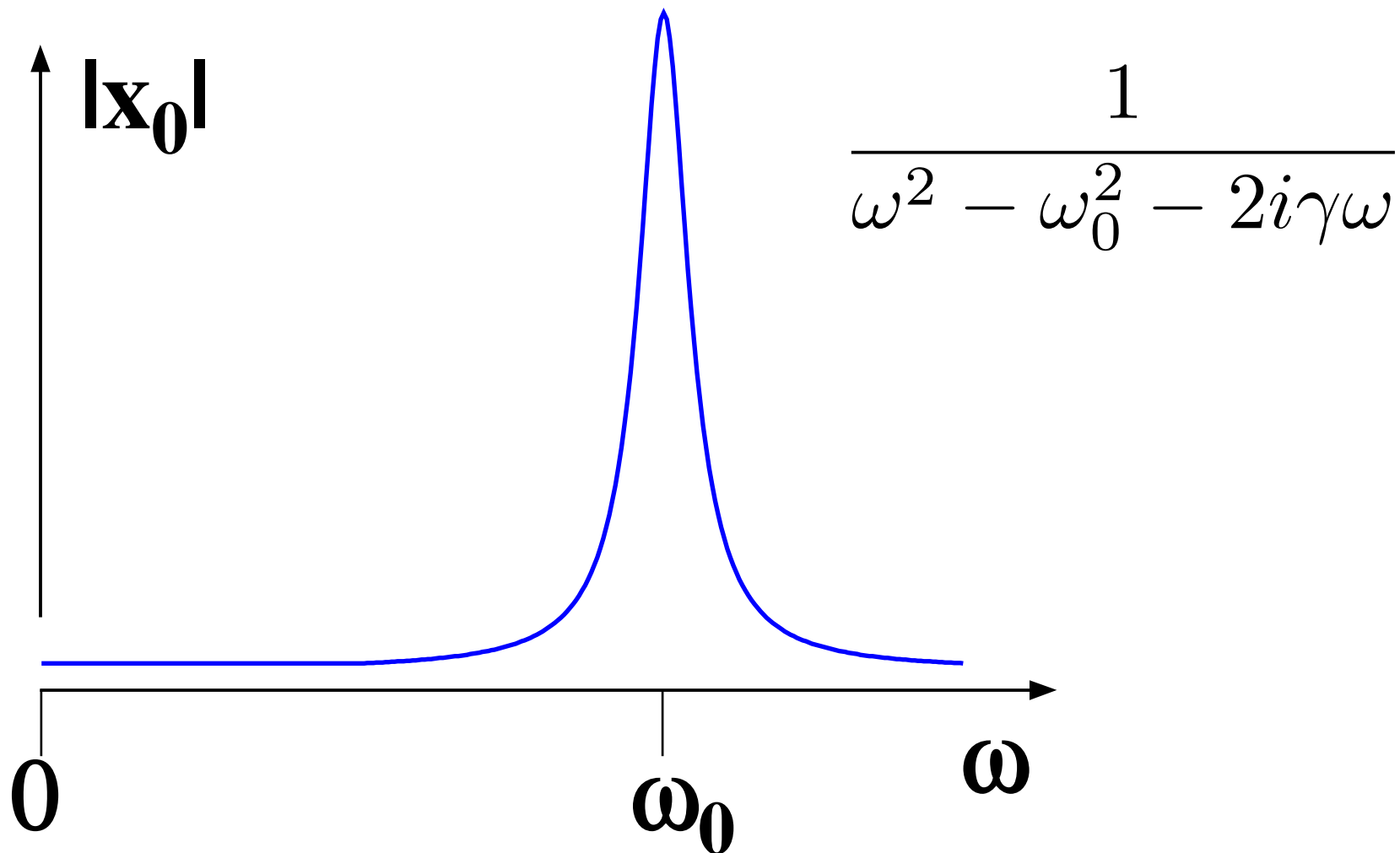
Polarisation



Dipol



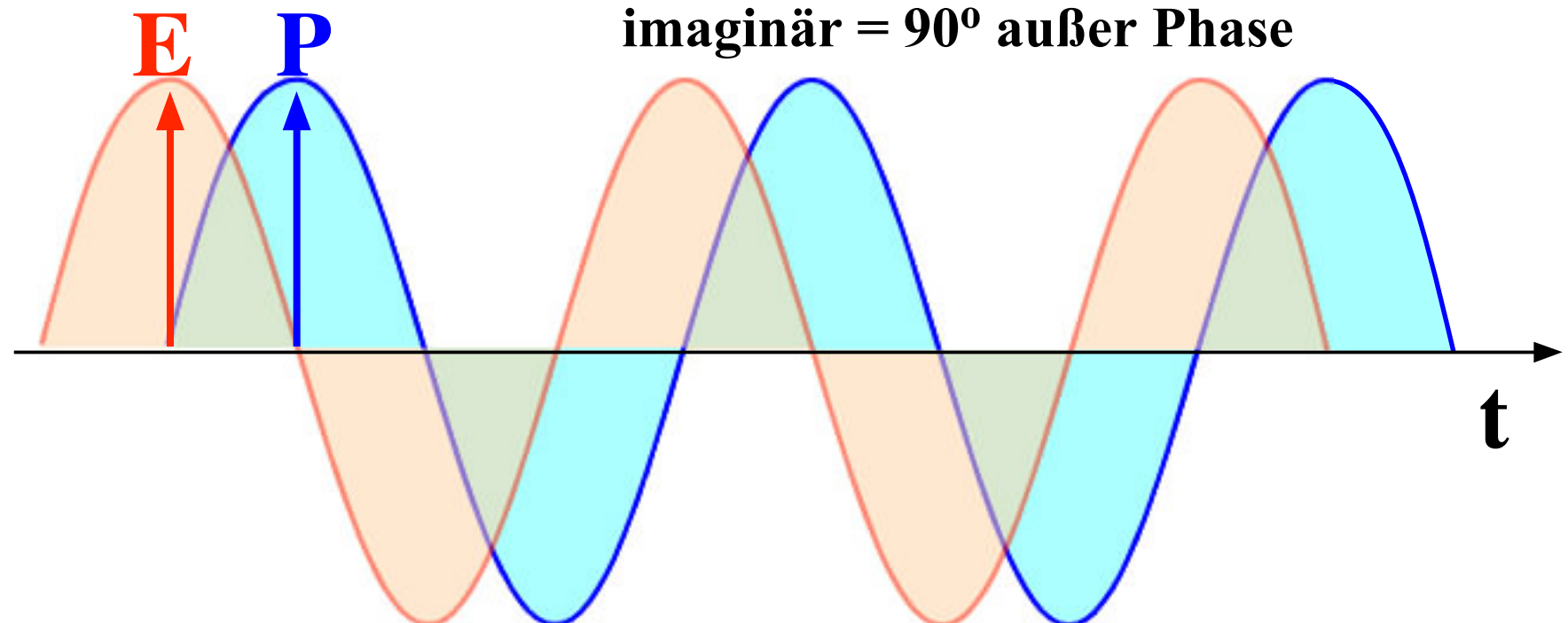
Resonanz



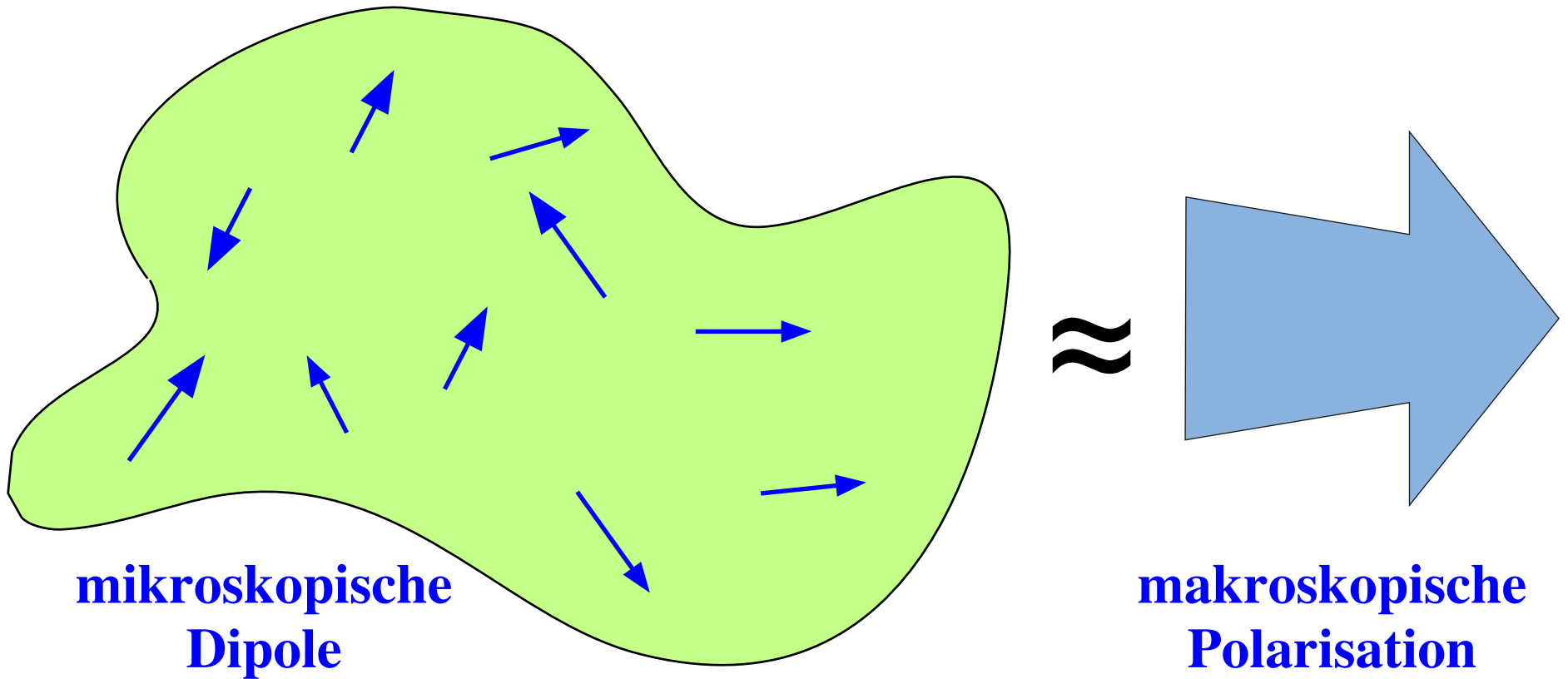
Zeitabhängige Polarisation

Amplitude: $x_0 = \frac{eE_0}{2m\omega_0} \frac{\Delta + i\gamma}{\Delta^2 + \gamma^2}$

resonante Amplitude : $x_0(\Delta = 0) = i \frac{eE_0}{2m\gamma\omega_0}$

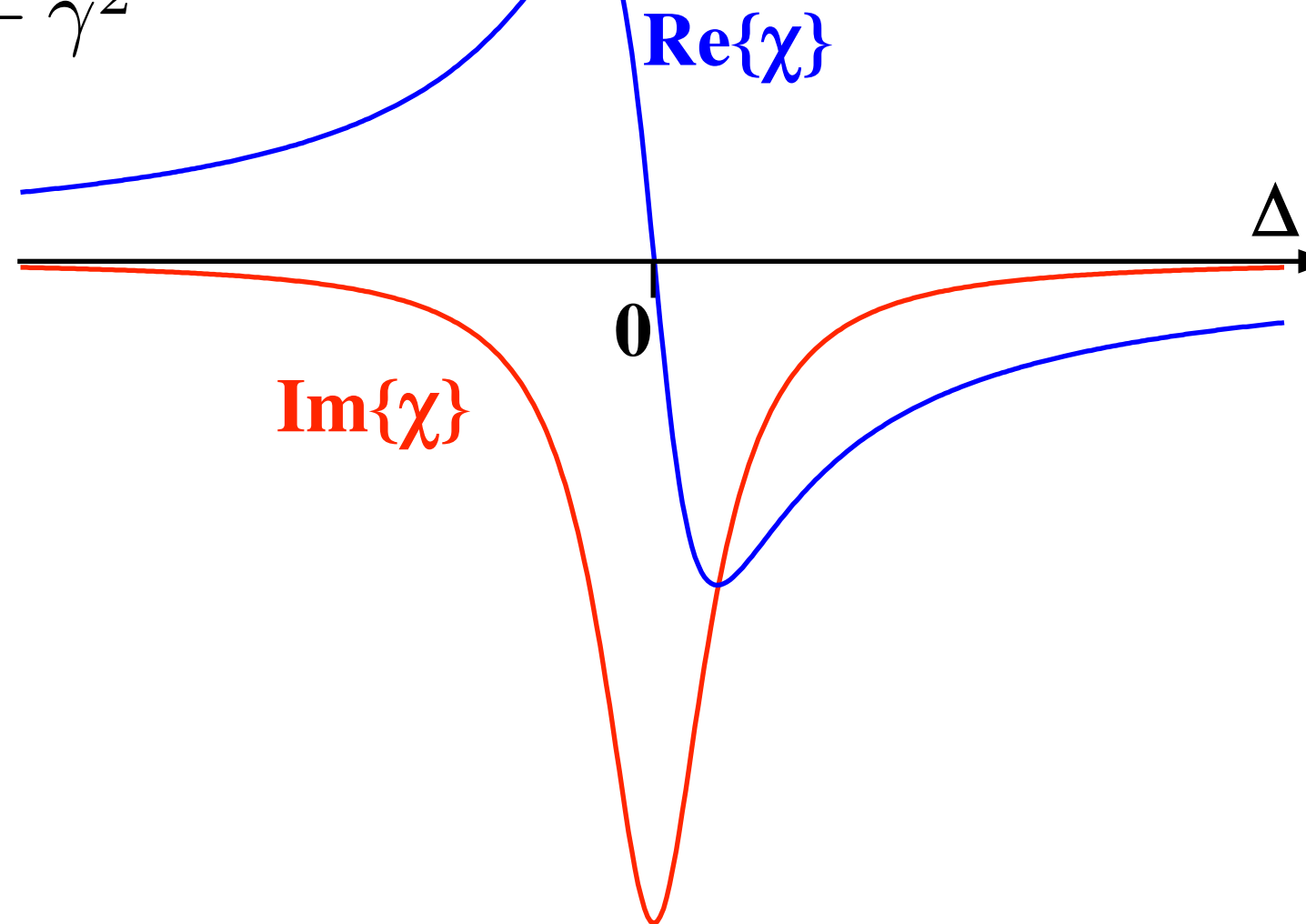


Dipole und Polarisation

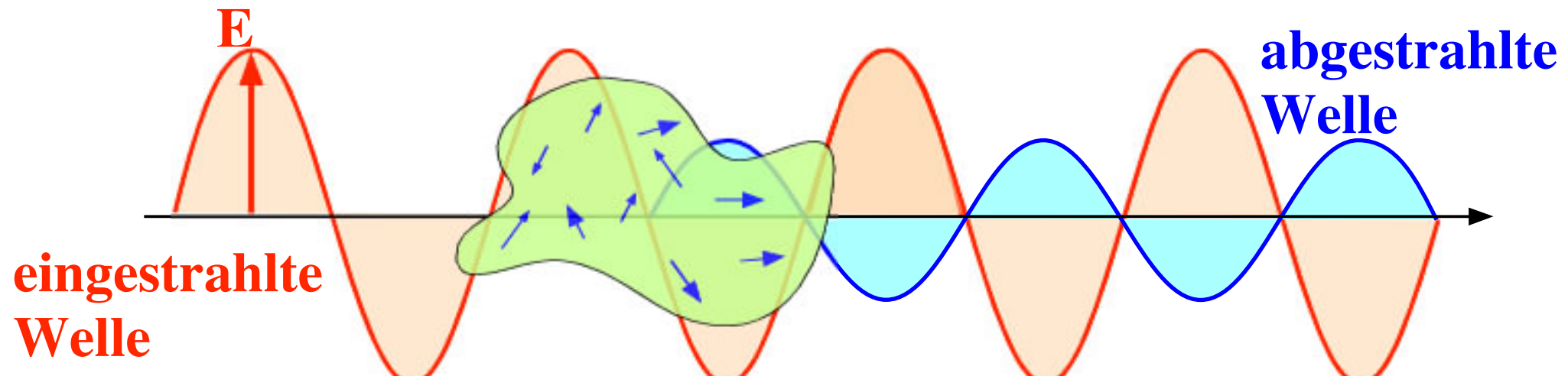


Komplexe Suszeptibilität

$$\chi \propto -\frac{\Delta + i\gamma}{\Delta^2 + \gamma^2}$$



Lichtausbreitung



Maxwellgleichungen

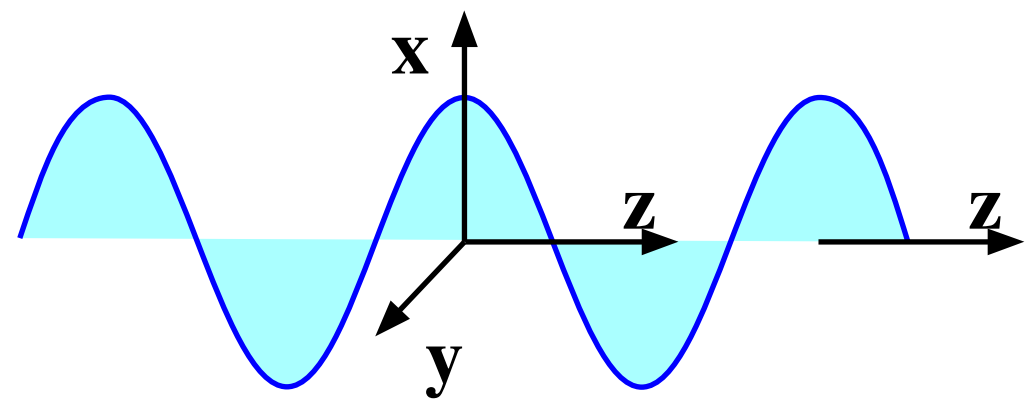
$$\vec{\nabla} \times \vec{H} = \frac{\partial}{\partial t} \vec{D}$$

$$\boxed{\vec{\nabla} \times \vec{E} = -\frac{\partial}{\partial t} \vec{B}}$$

$$\vec{\nabla} \cdot \vec{D} = \rho_e$$

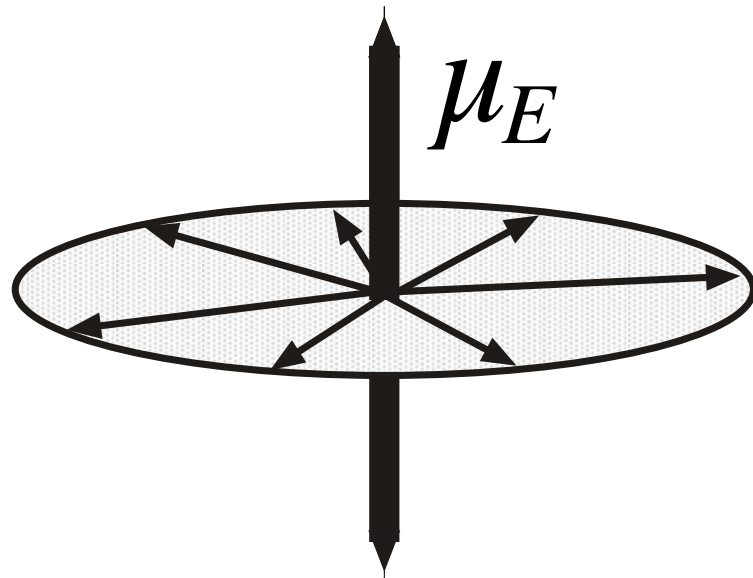
$$\vec{\nabla} \cdot \vec{B} = 0$$

Lösungsansatz : ebene Welle $\parallel z$

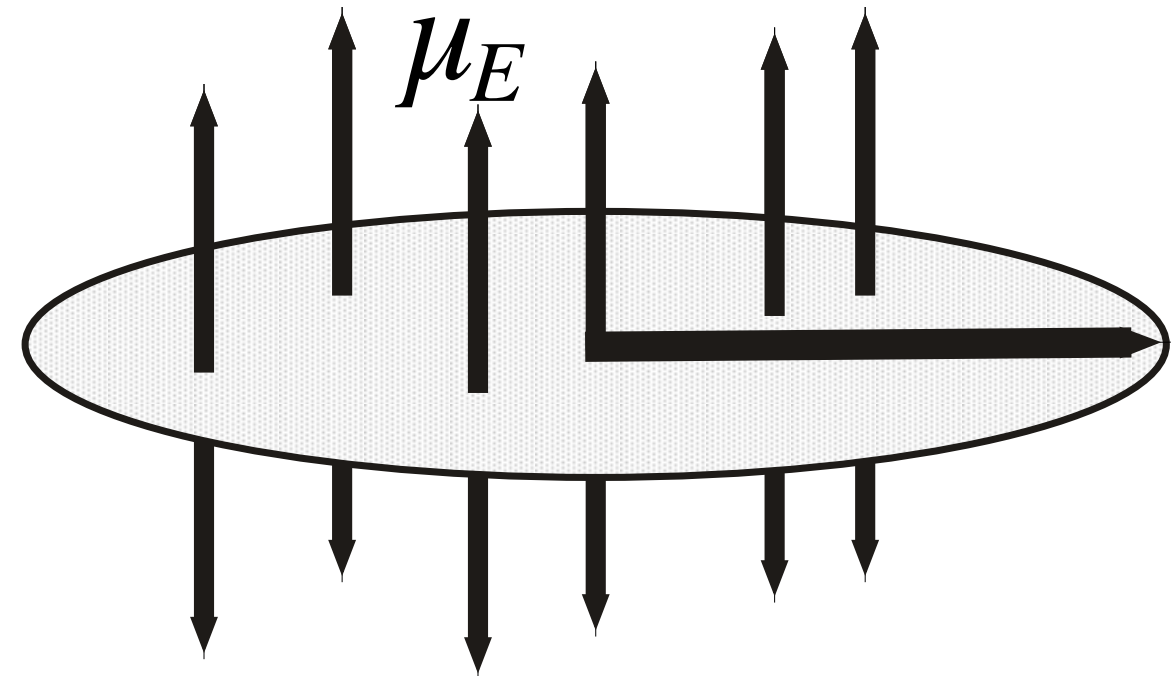


Ausbreitung

Einzelnes Atom



Ensemble



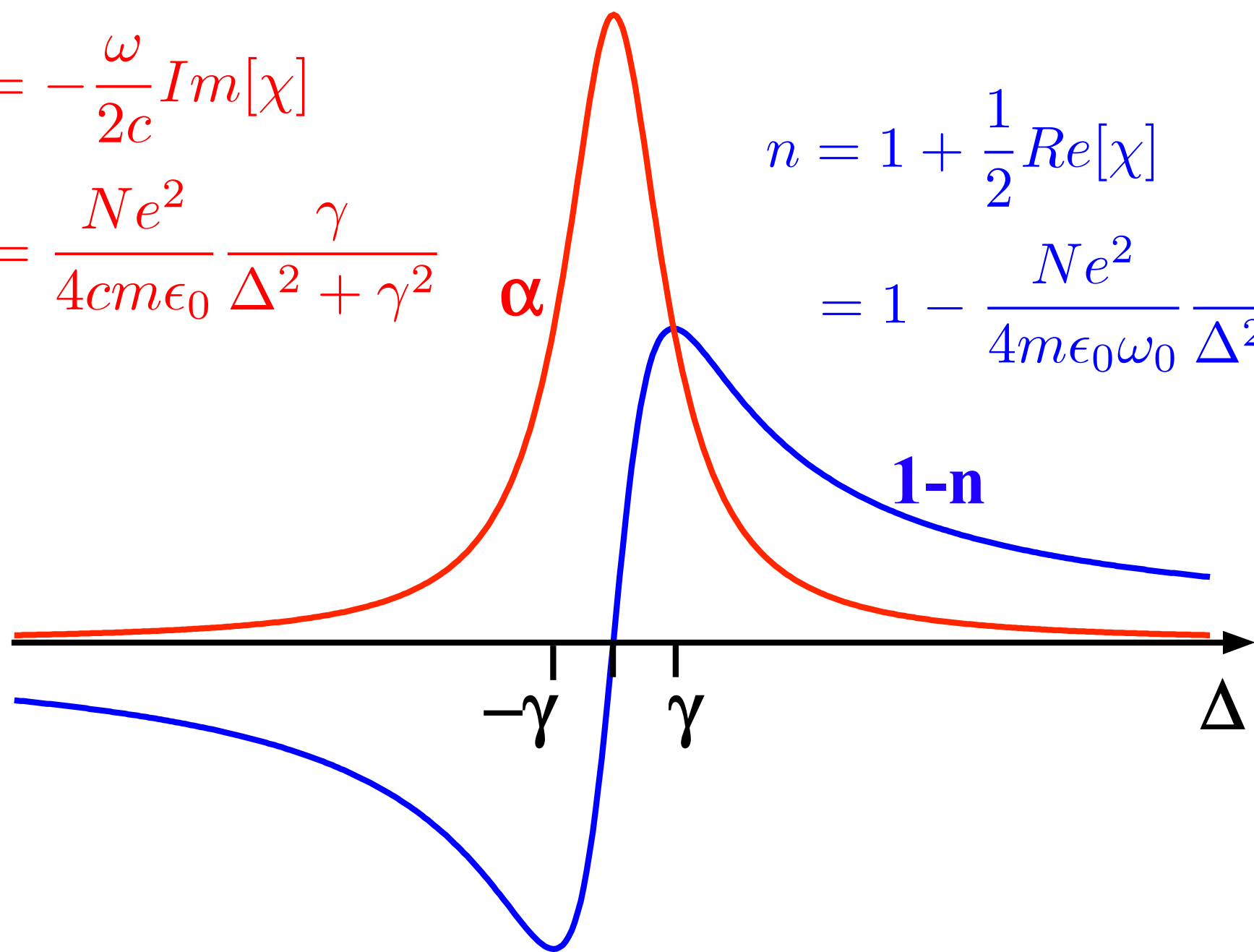
Absorption und Dispersion

$$\alpha = -\frac{\omega}{2c} \text{Im}[\chi]$$

$$= \frac{Ne^2}{4cm\epsilon_0} \frac{\gamma}{\Delta^2 + \gamma^2}$$

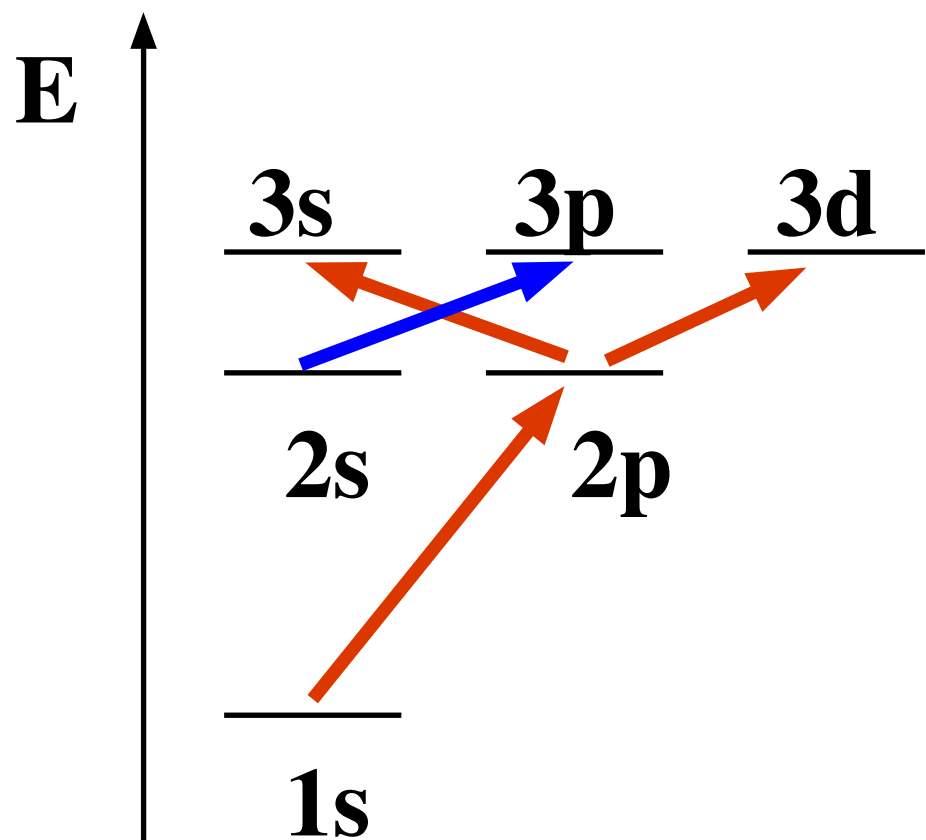
$$n = 1 + \frac{1}{2} \text{Re}[\chi]$$

$$= 1 - \frac{Ne^2}{4m\epsilon_0\omega_0} \frac{\Delta}{\Delta^2 + \gamma^2}$$

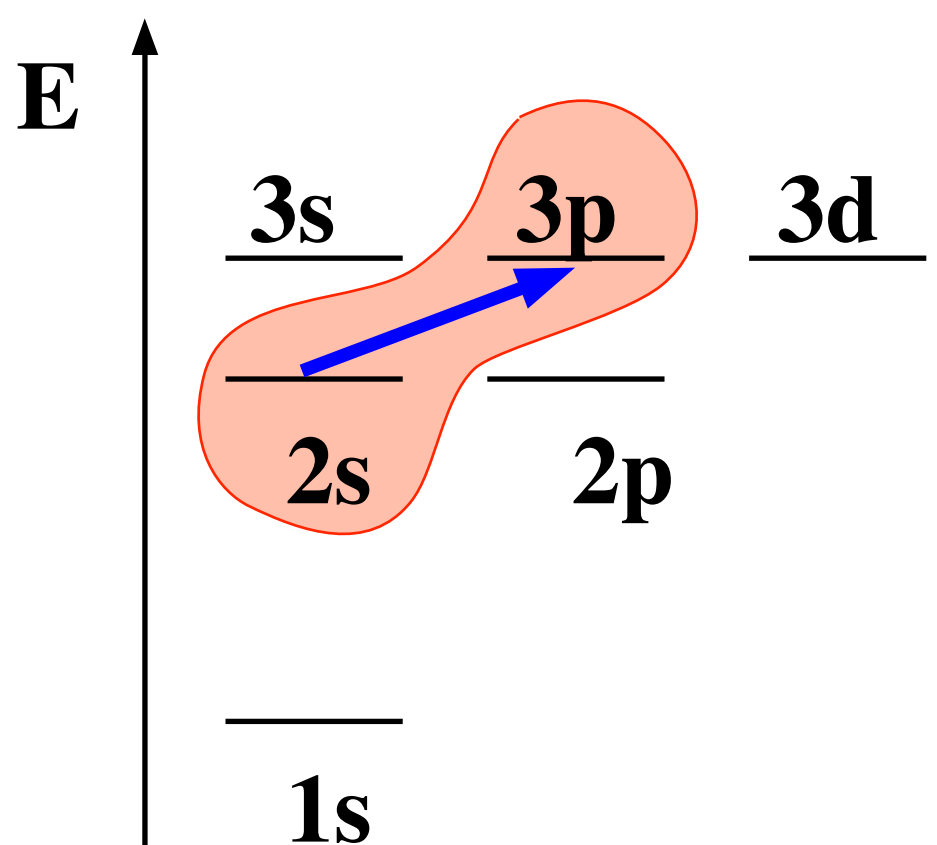


2-Niveauatome

typ. atomare Niveaustuktur

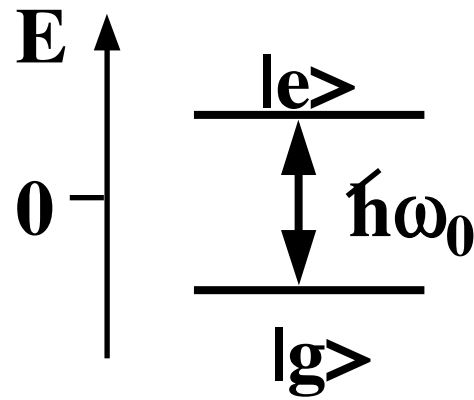


WW mit 2 Zuständen

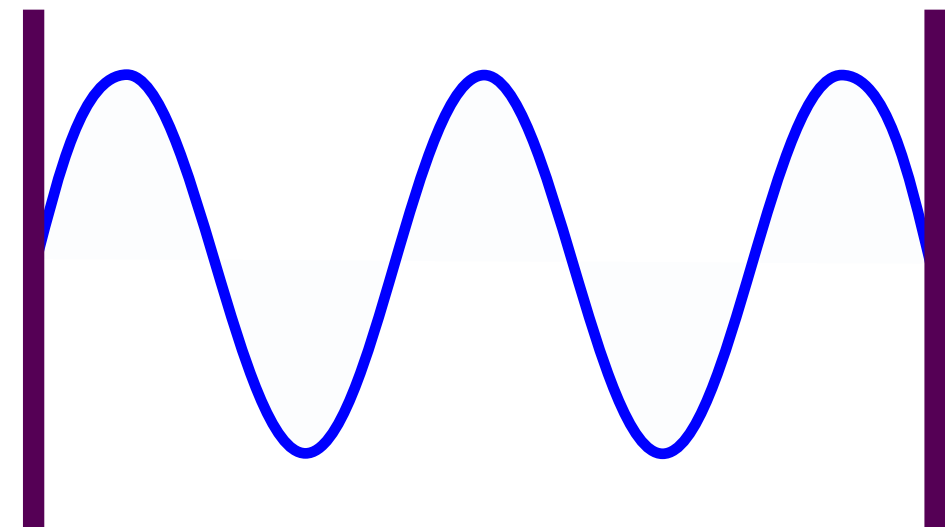


Wechselwirkung

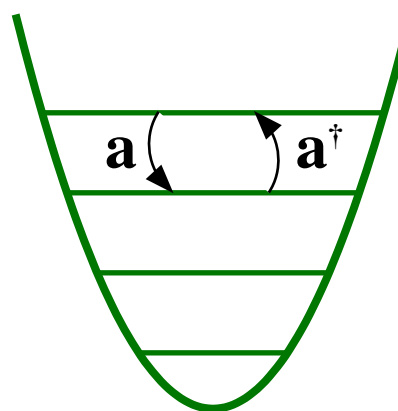
System:



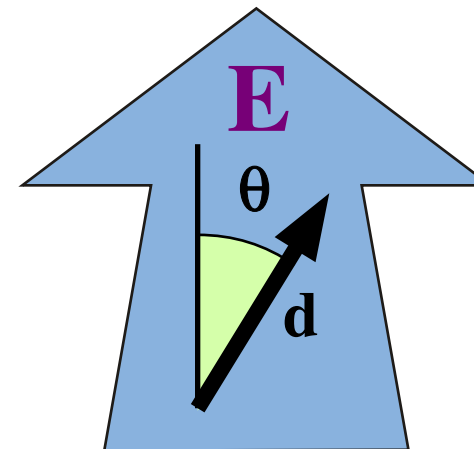
Resonatormode



harmonischer Oszillator



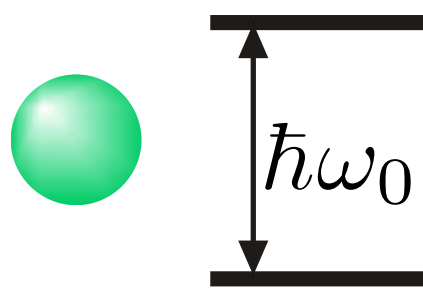
klass. Wechselwirkung



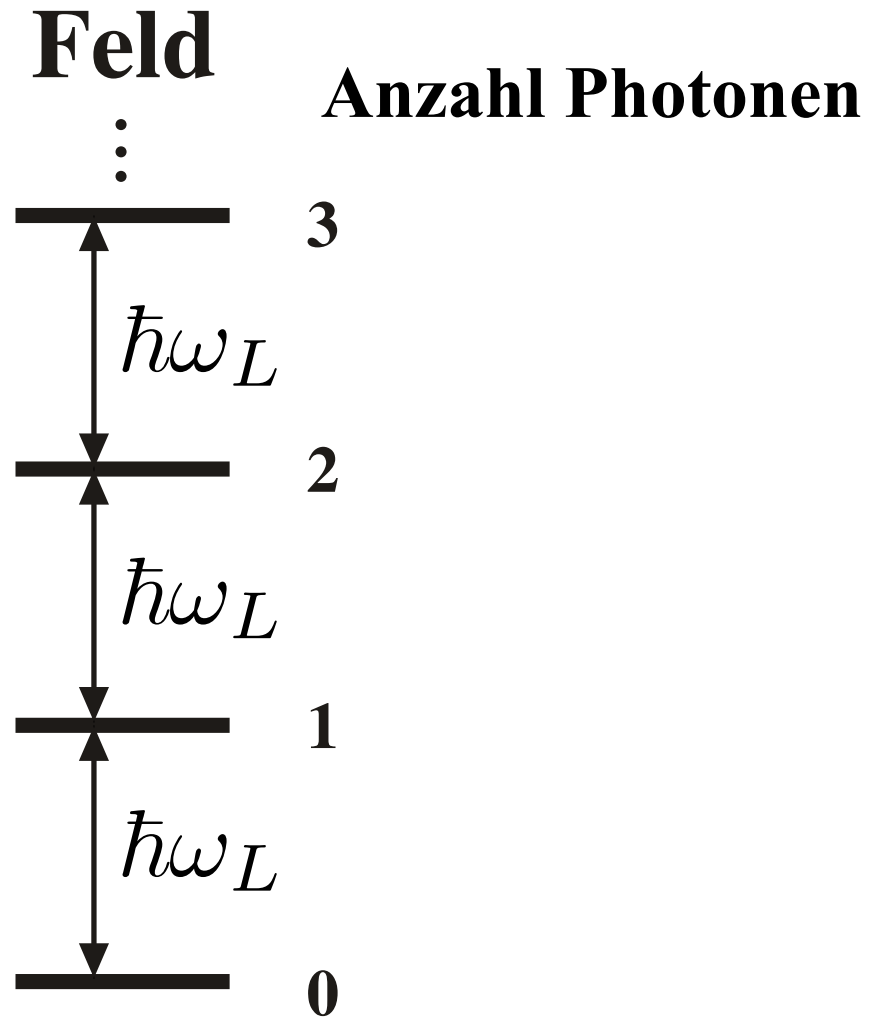
Jaynes-Cumming Modell

E.T. Jaynes and F.W. Cummings, Proc. IEEE 51, 89 (1963)

'nacktes'
Atom



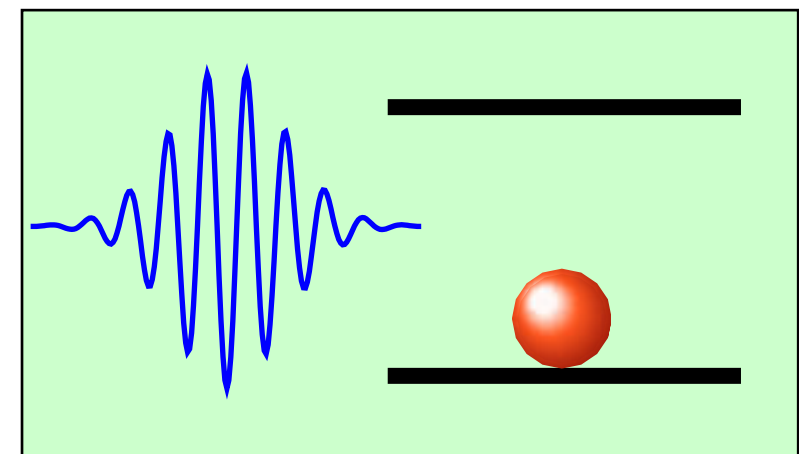
$$-\vec{E} \cdot \vec{d}$$



$$\mathcal{H}_{atom} = -\frac{\hbar}{2}\omega_0\sigma_z$$

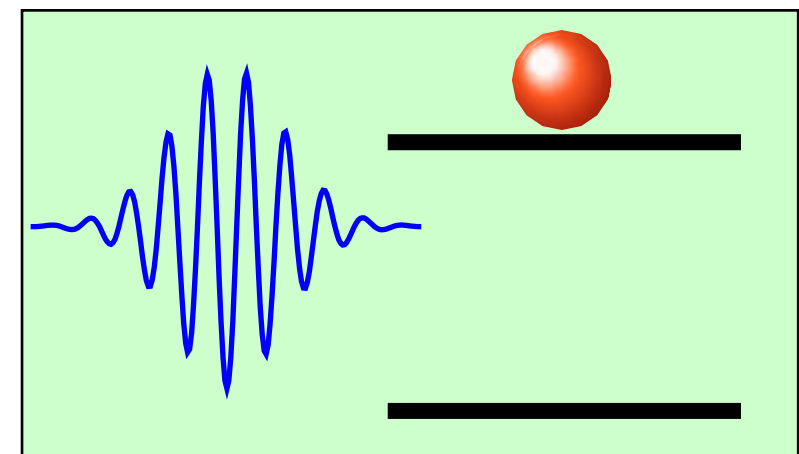
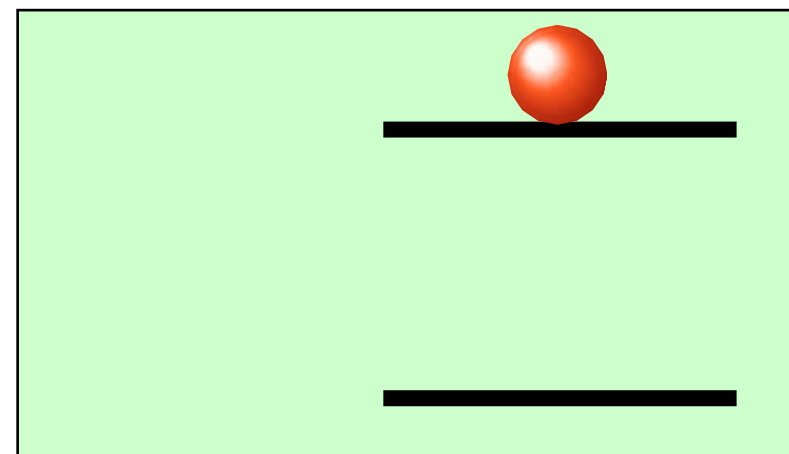
$$\mathcal{H}_{Feld} = \hbar\omega_L(a^\dagger a + \frac{1}{2})$$

WW-Prozesse



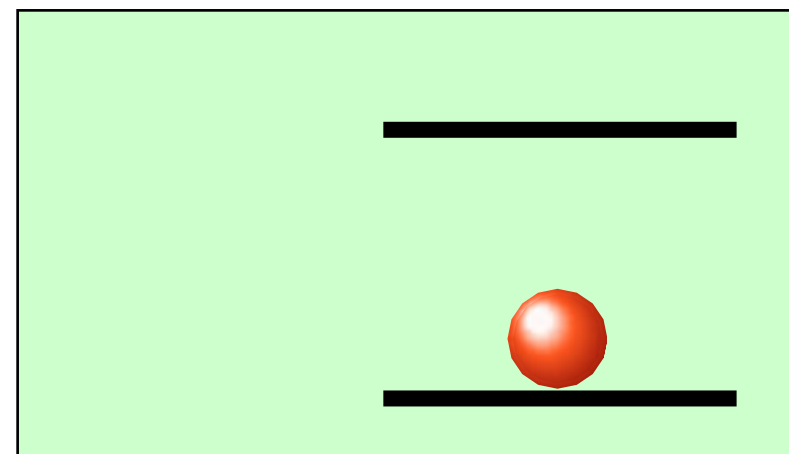
$a\sigma_+$

$a^\dagger\sigma_-$

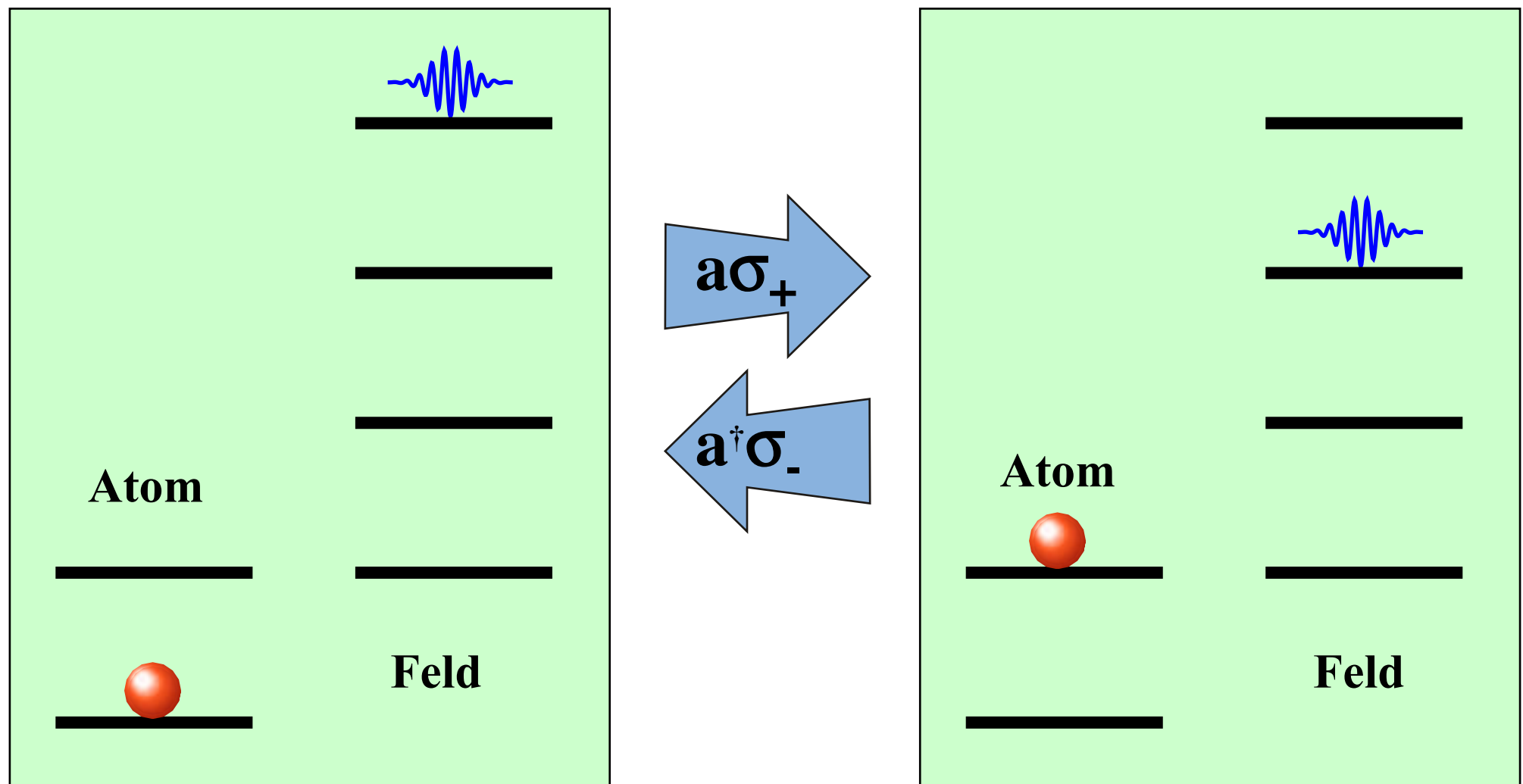


$a\sigma_-$

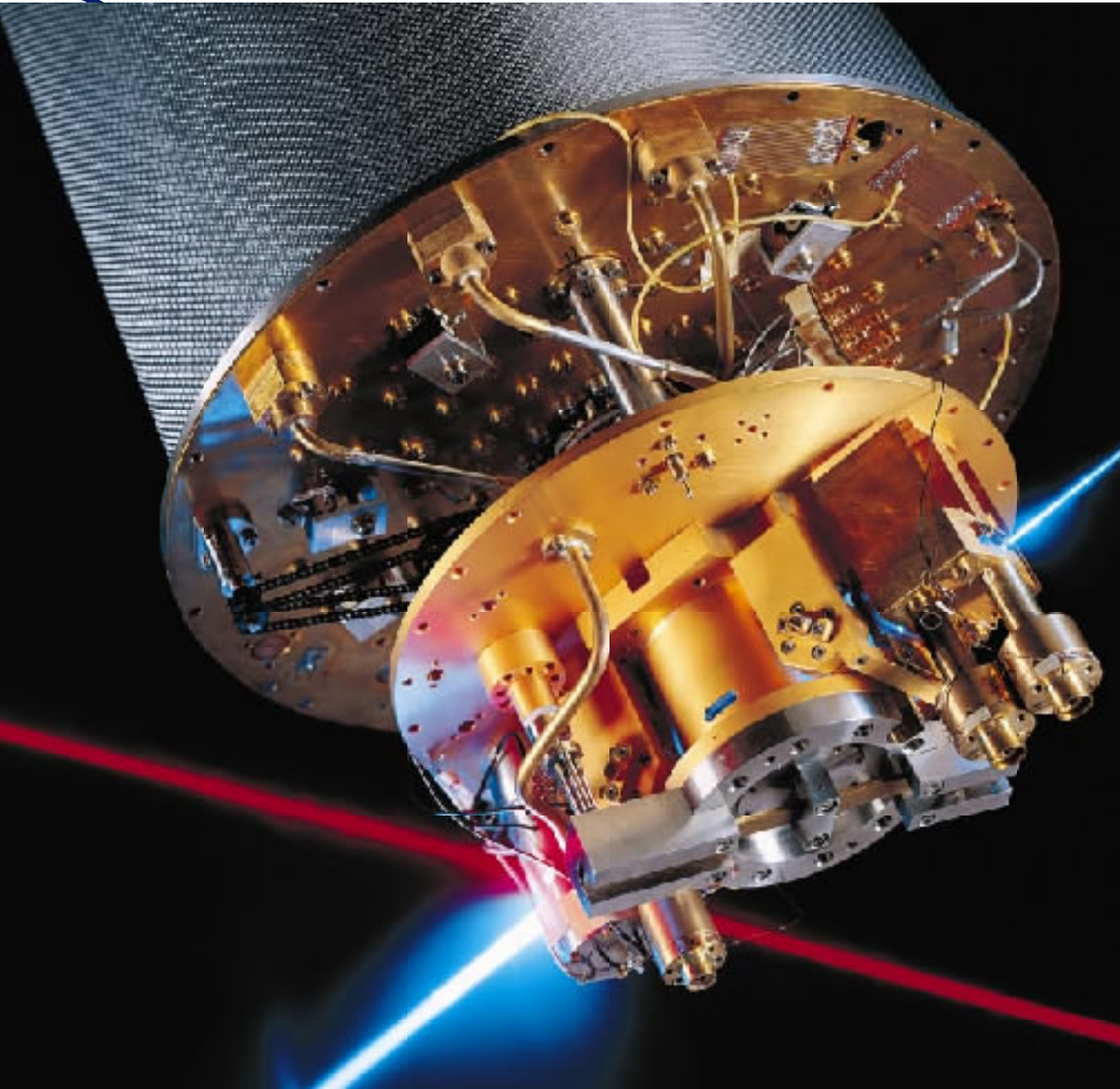
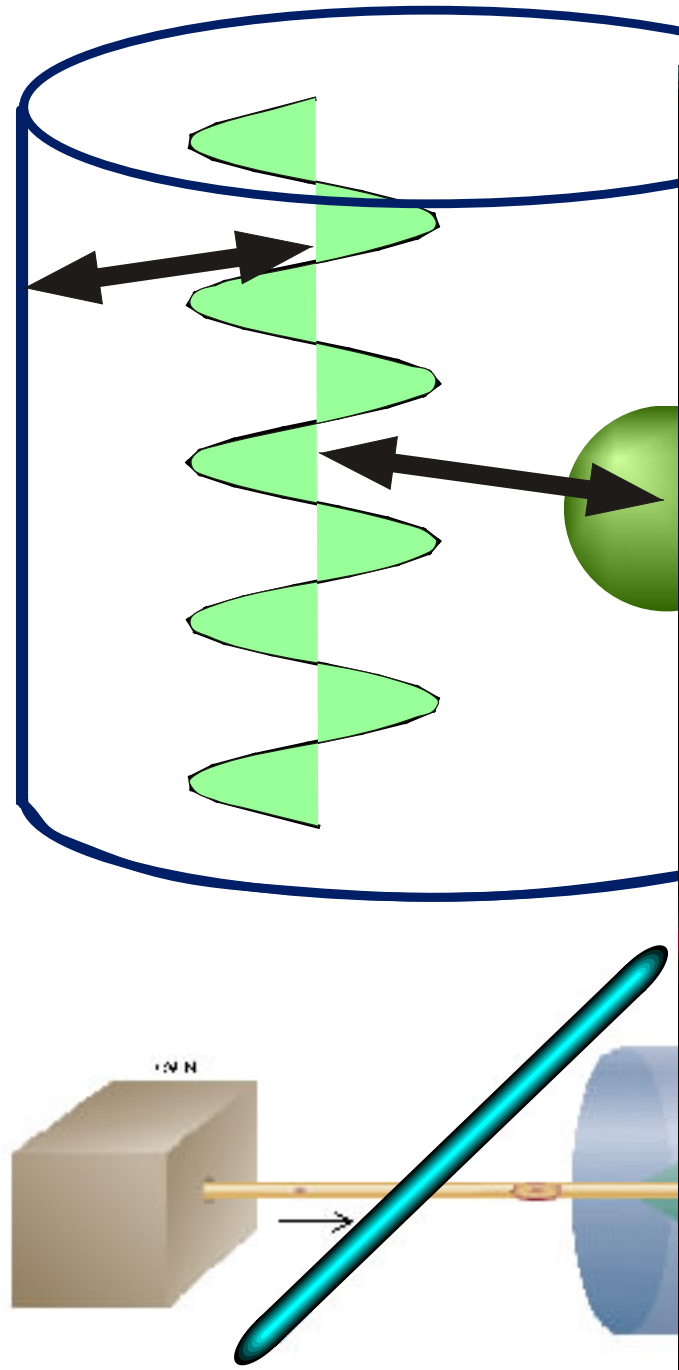
$a^\dagger\sigma_+$



WW-Prozess



Experimentelle Realisierung



Literatur

P. Goy, J.M. Raimond, M. Gross, and S. Haroche, ‘Observation of cavity-enhanced single-atom spontaneous emission’, Phys. Rev. Lett. 50, 1903-1906 (1983).

H. Walther, ‘The single atom maser and the quantum electrodynamics in a cavity’, Physica Scripta T23, 165-169 (1988).

S. Haroche and D. Kleppner, ‘Cavity quantum electrodynamics’, Physics Today January 1989, 24-30 (1989).

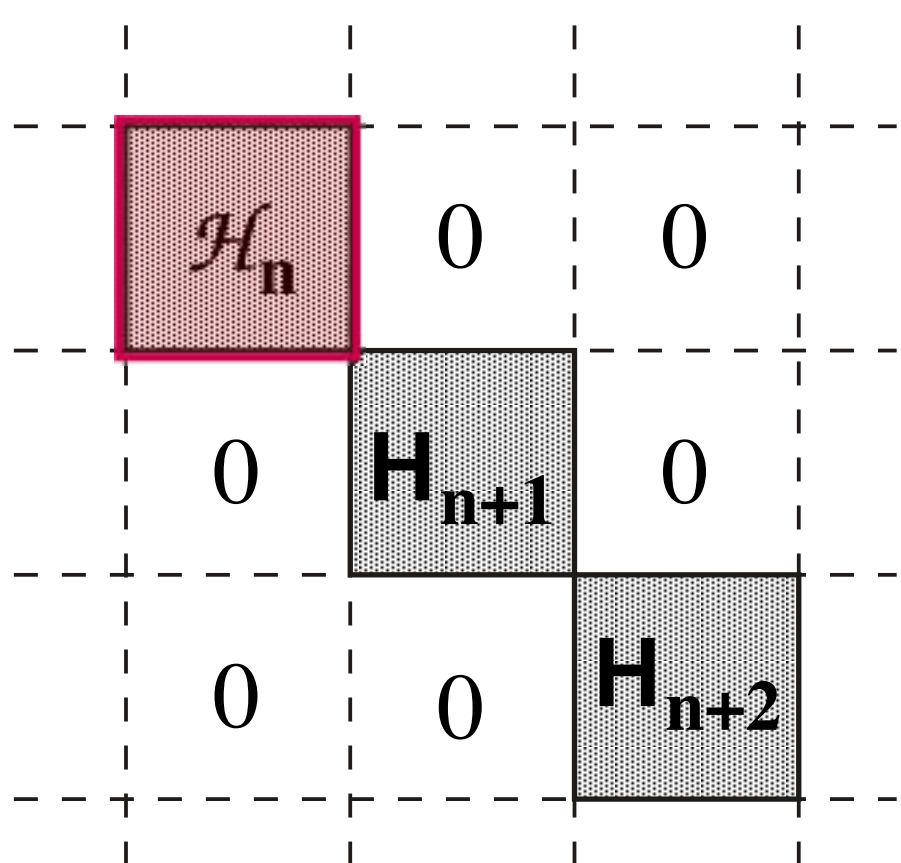
E.A. Hinds, ‘Cavity Quantum Electrodynamics’, in Adv. atomic, mol. opt. phys. 28, Editor: D. Bates, Academic Press, Boston (1991).

S. Haroche, ‘Cavity Quantum Electrodynamics’, in Fundamental Systems in Quantum Optics; Proceedings of the Les Houches summer school, Editor: J. Dalibard, J.M. Raimond, and J. Zinn-Justin, North-Holland, Amsterdam (1992).

H. Walther, ‘Experiments on cavity quantum electrodynamics’, Phys. Rep. 219, 263-281 (1992).

Hamiltonoperator

$$\mathcal{H}_n = \hbar \begin{pmatrix} (n + \frac{1}{2})\omega_L - \frac{\omega_0}{2} & \omega_1 \sqrt{n} \\ \omega_1 \sqrt{n} & (n - \frac{1}{2})\omega_L + \frac{\omega_0}{2} \end{pmatrix}$$



$|\Psi\rangle$

E_0

$|n,g\rangle$

$|n-1,e\rangle$

$|n+1,g\rangle$

$|n,e\rangle$

$|n+2,g\rangle$

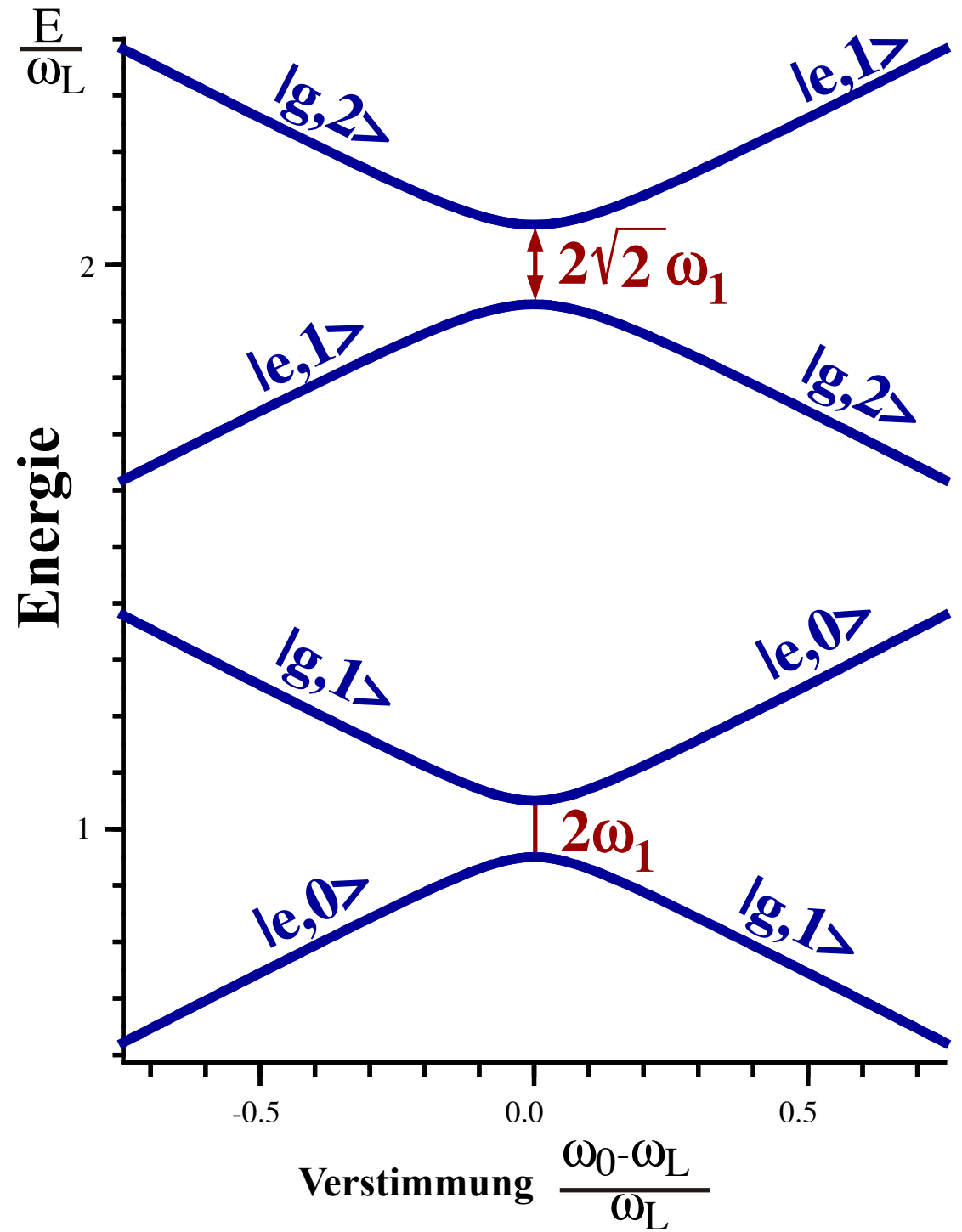
$|n+1,e\rangle$

$(n + \frac{3}{2})\omega_L - \frac{\omega_0}{2}$

$(n + \frac{1}{2})\omega_L + \frac{\omega_0}{2}$

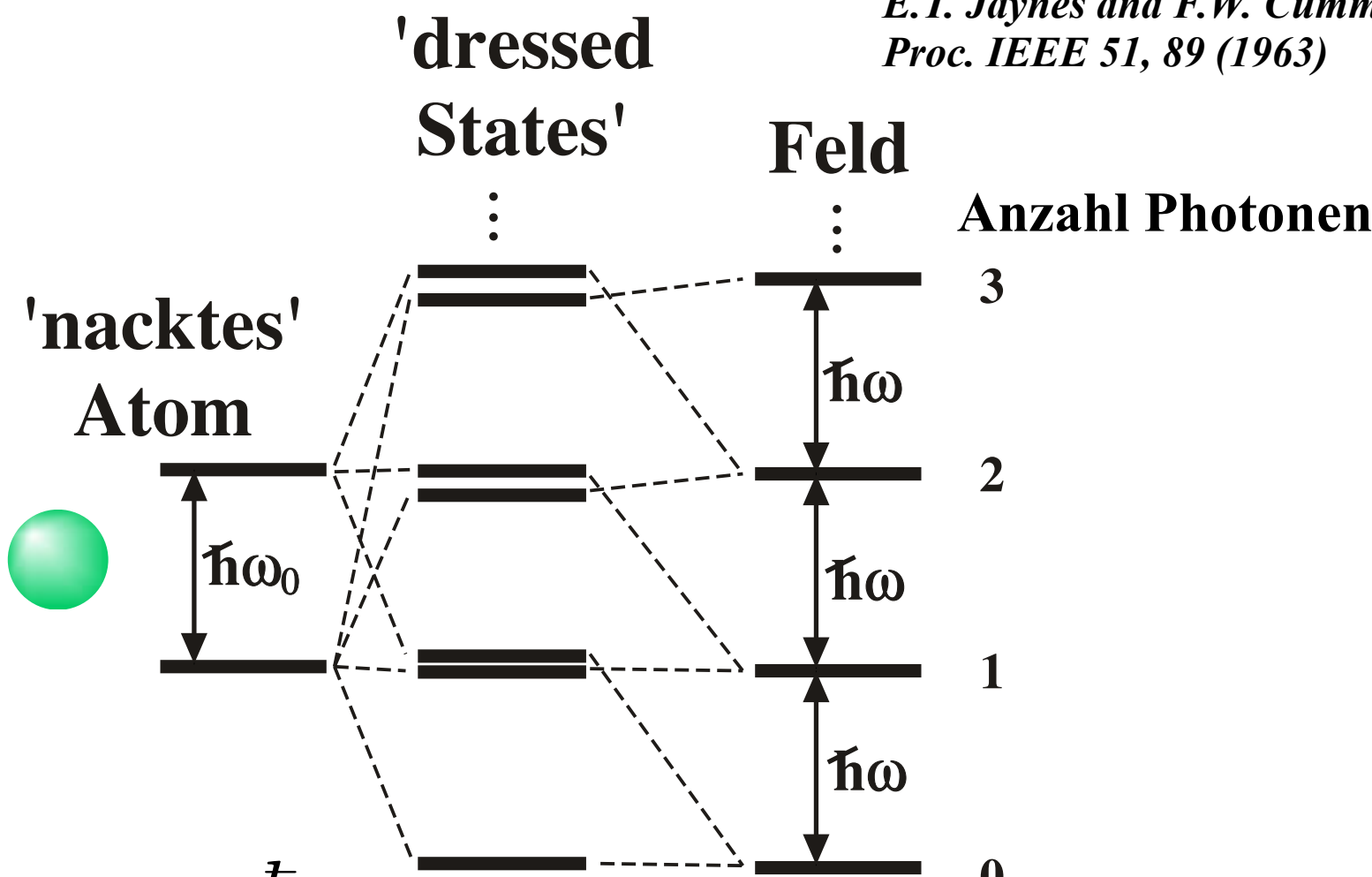
$n = 1, 2, 3, \dots$

Energien



Jaynes-Cumming Modell

E.T. Jaynes and F.W. Cummings,
Proc. IEEE 51, 89 (1963)



$$\mathcal{H}_{atom} = -\frac{\hbar}{2}\omega_0\sigma_z$$

$$\mathcal{H}_{Feld} = \hbar\omega_L(a^\dagger a + \frac{1}{2})$$

$$\mathcal{H}_{ww} \approx \hbar\omega_1(a\sigma_+ + a^\dagger\sigma_-)$$

Übung

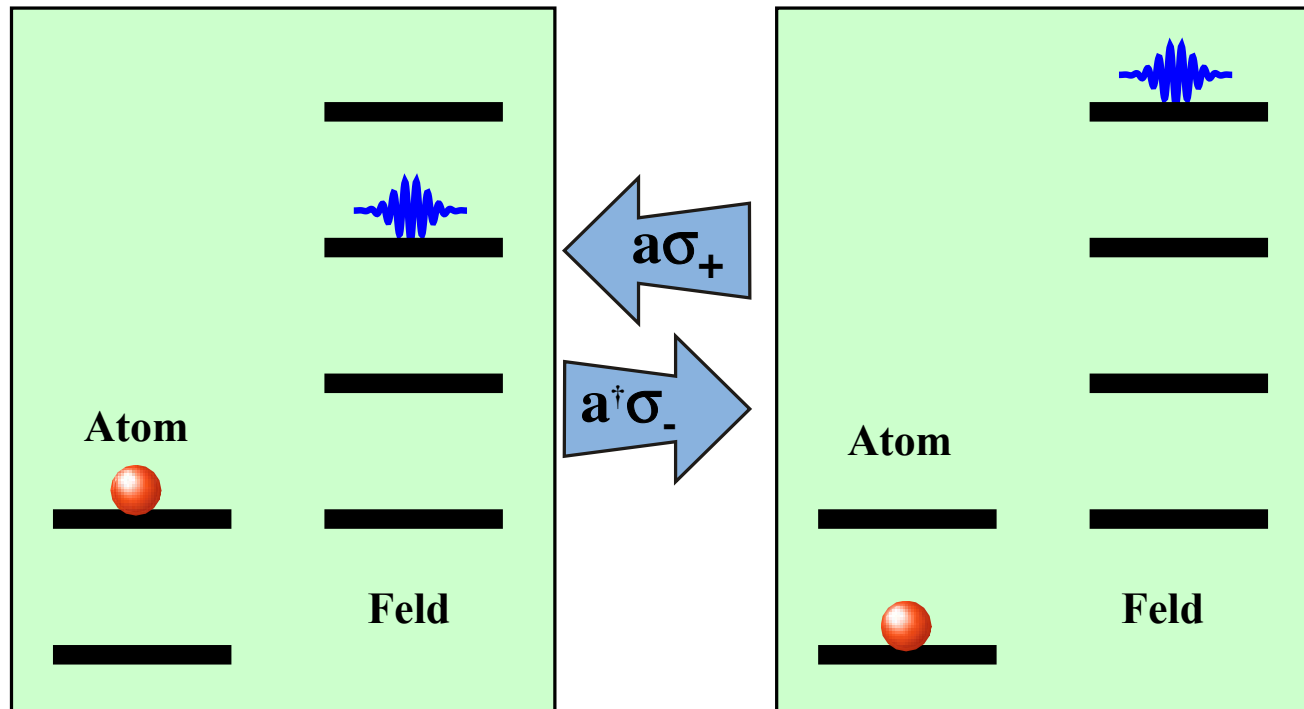
Dynamik des JC Systems

$$\omega_L = \omega_0 \quad \xrightarrow{\hspace{1cm}}$$

$$\mathcal{H}_n = \hbar \begin{pmatrix} n\omega_0 & \omega_1 \sqrt{n} \\ \omega_1 \sqrt{n} & n\omega_0 \end{pmatrix}$$

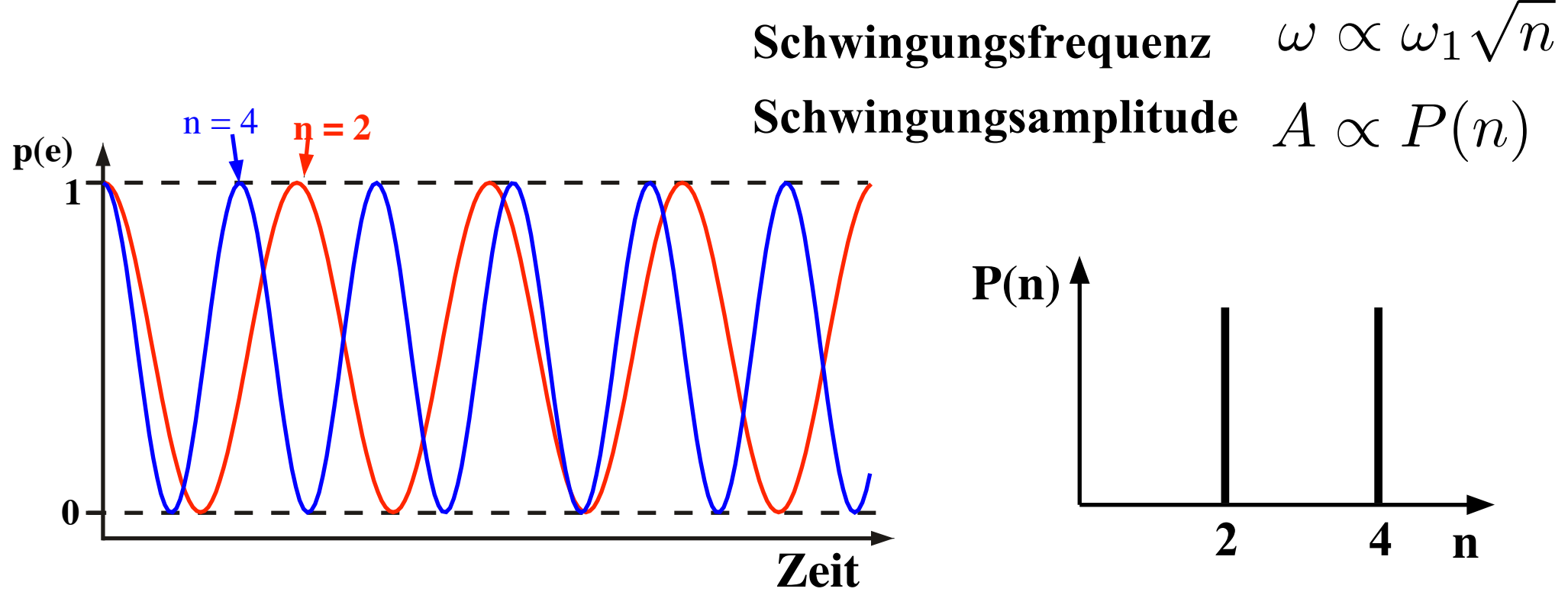
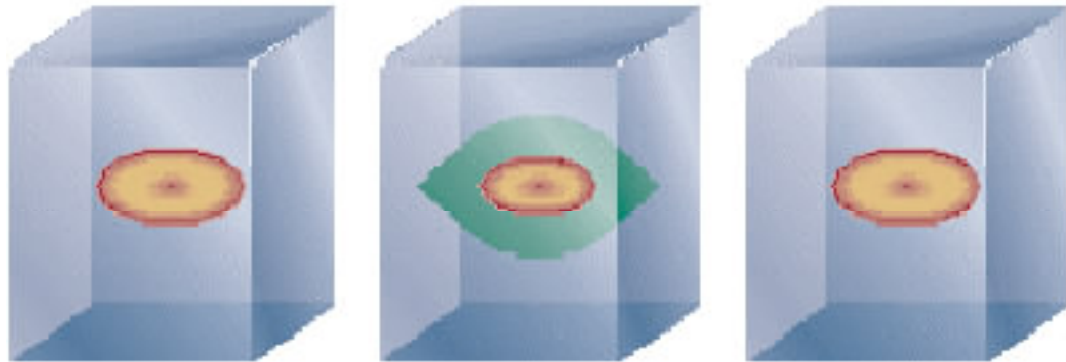
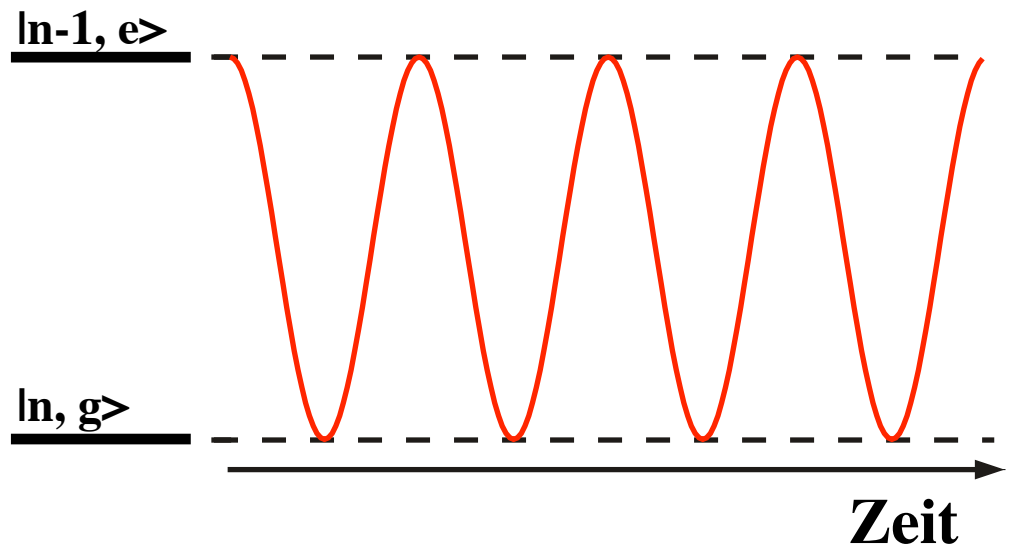
$$\psi(0) = |n, e\rangle$$

$$\psi(t) = ?$$

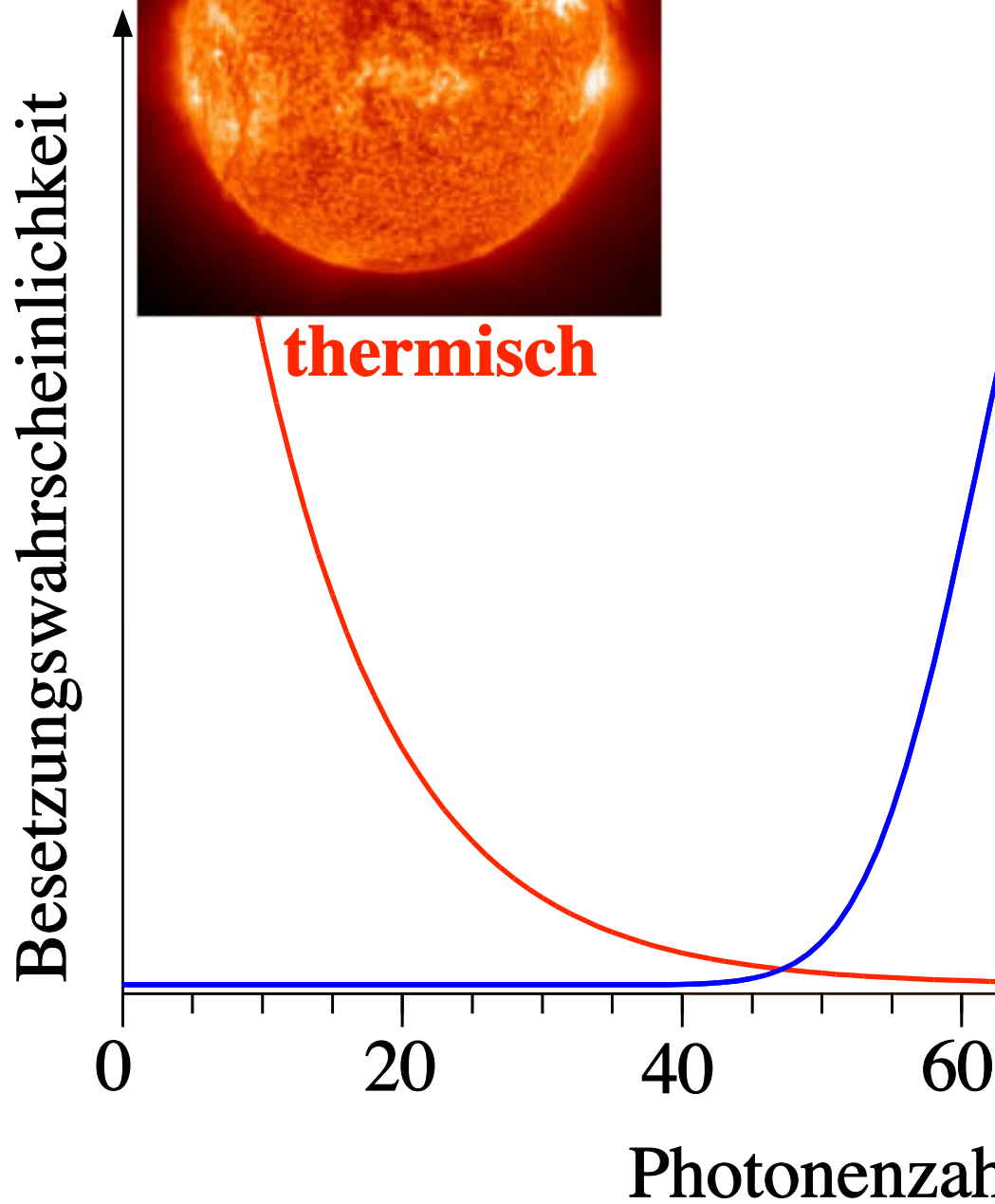


$$|\langle \psi(t) | e, n-1 \rangle|^2 = \frac{1}{2}(1 + \cos(2\omega_1 \sqrt{n}t))$$

Evolution



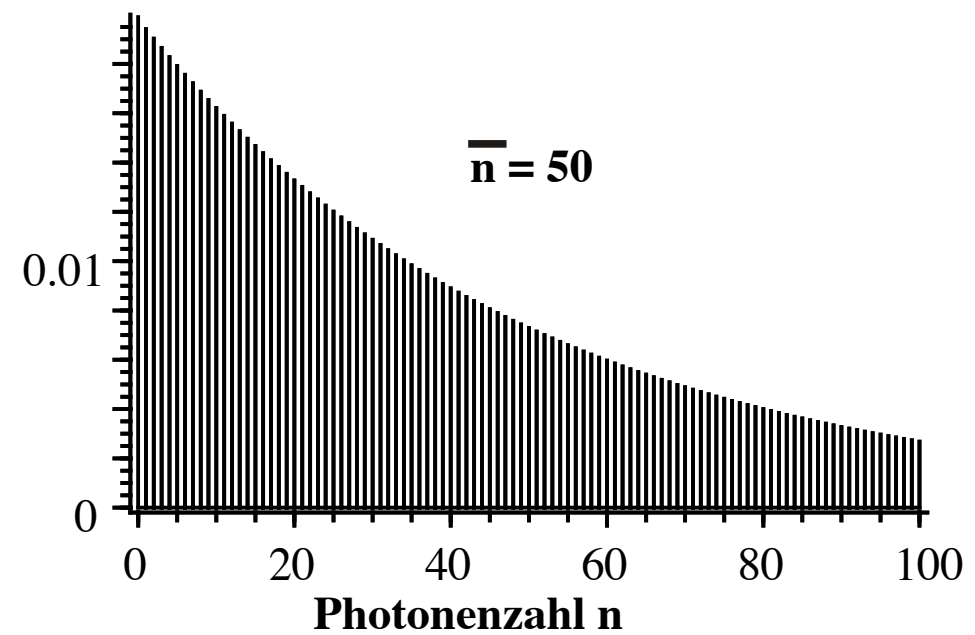
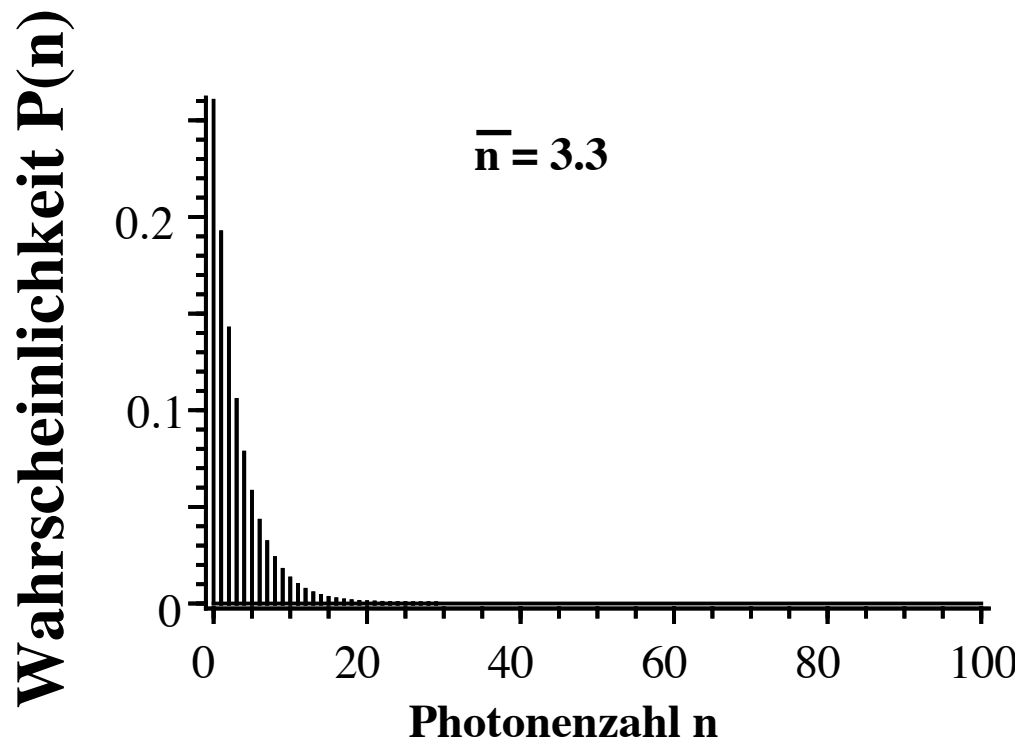
Zustände



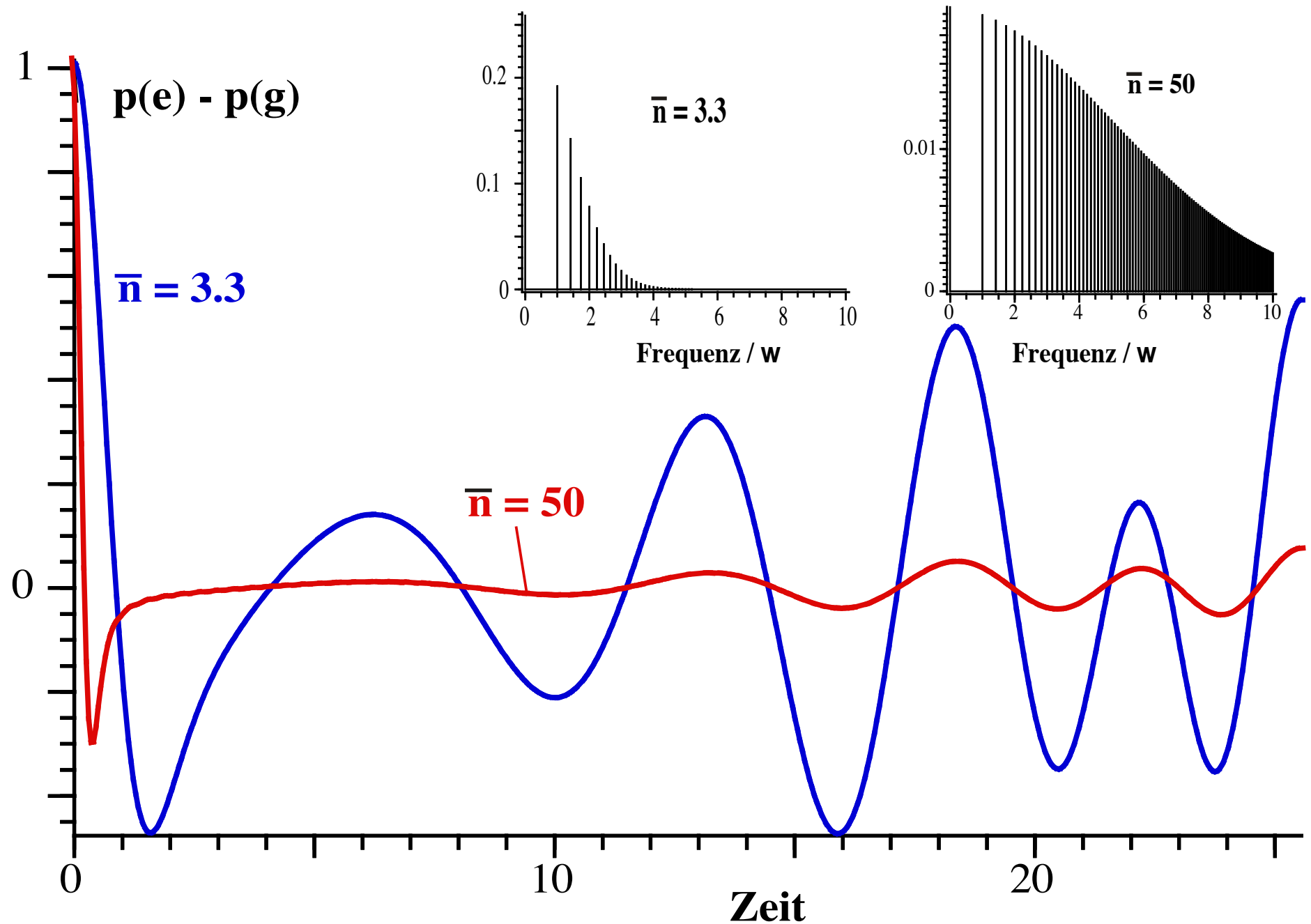
Thermische Zustände

$$P(n) = \frac{\langle n \rangle^n}{(\langle n \rangle + 1)^{n+1}}$$

$$\langle n \rangle = \frac{1}{e^{h\nu/kT} - 1}$$

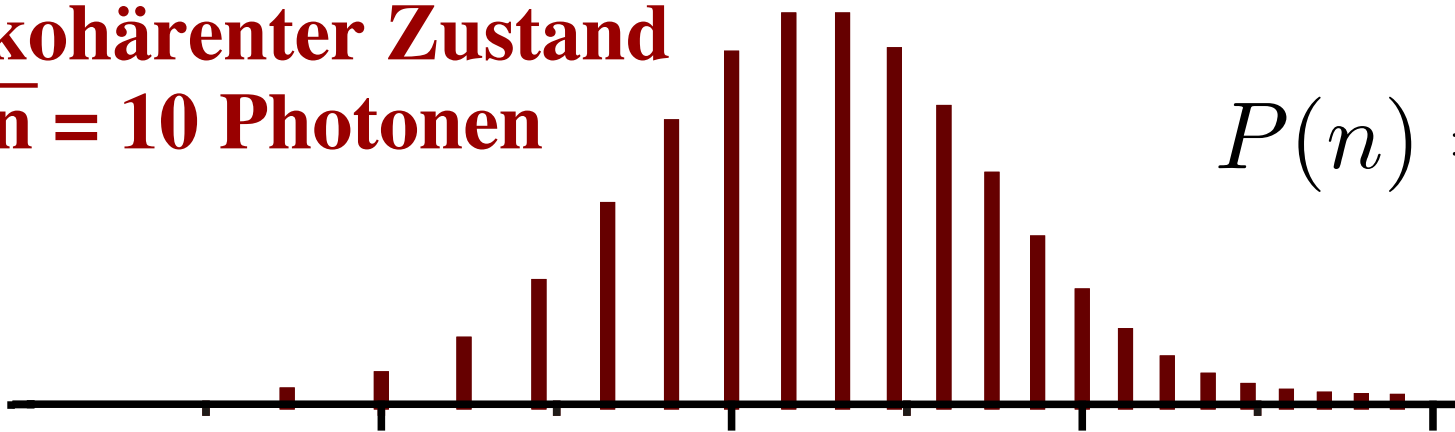


Thermischer Kollaps



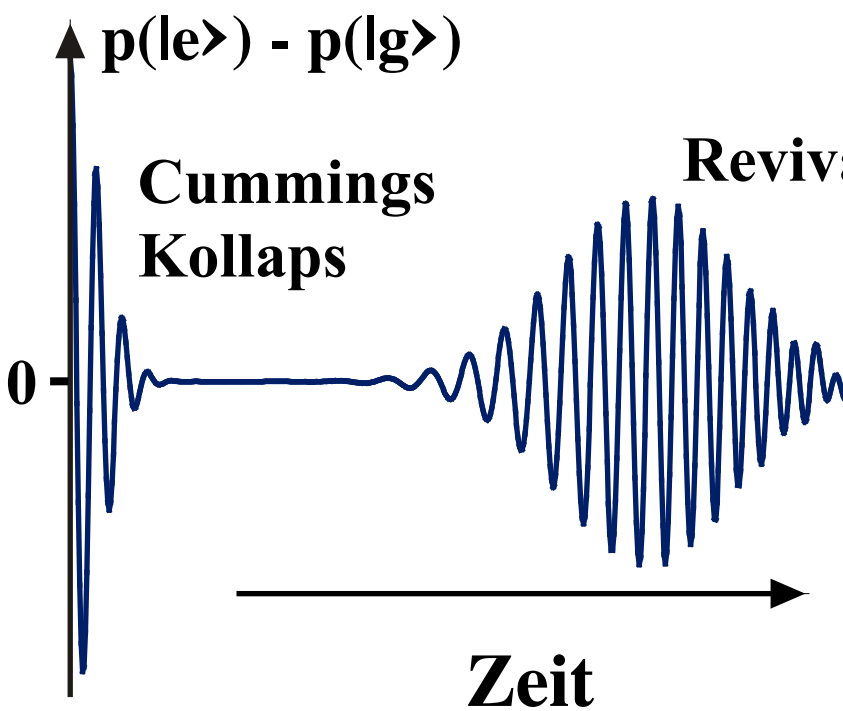
Kohärenter Zustand

kohärenter Zustand
 $\bar{n} = 10$ Photonen



$$P(n) = \frac{\langle n \rangle^n}{n!} e^{-\langle n \rangle}$$

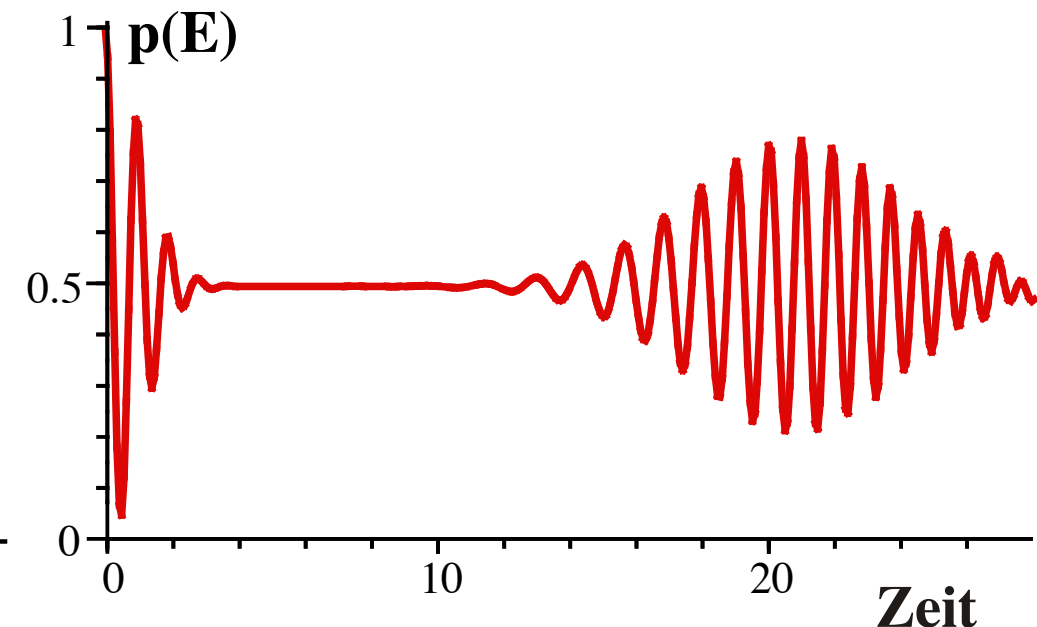
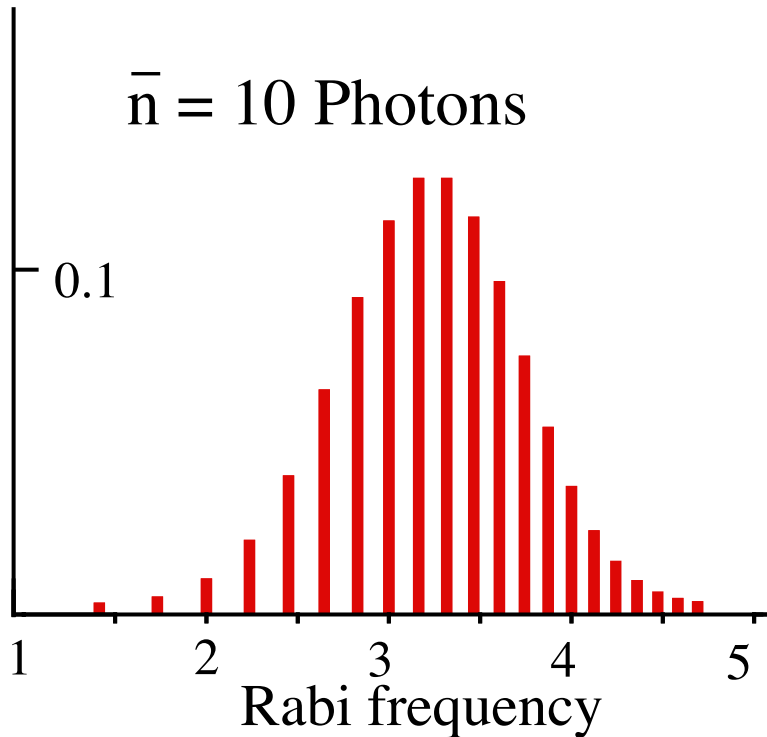
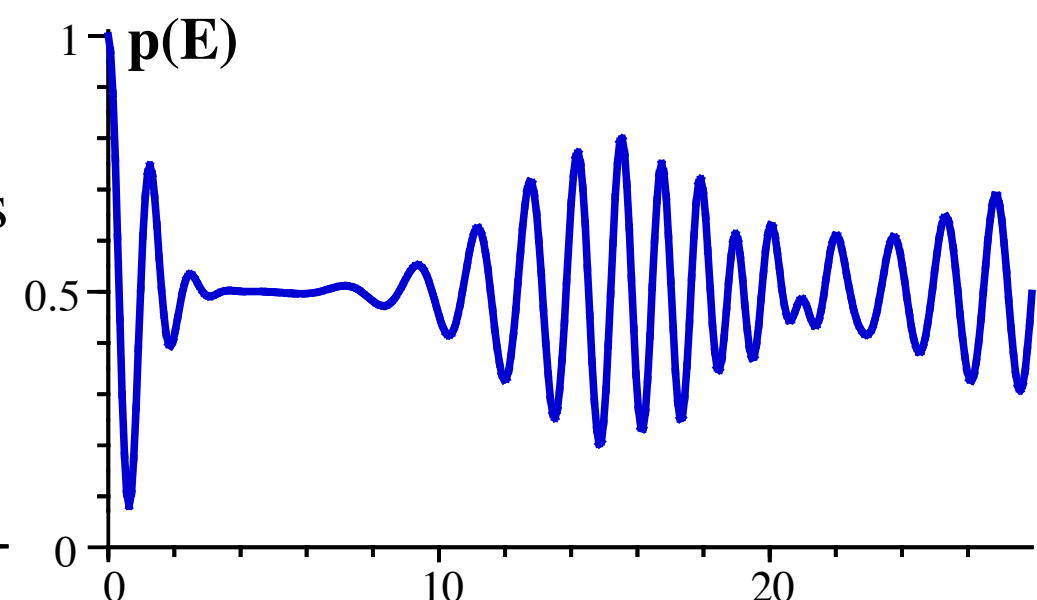
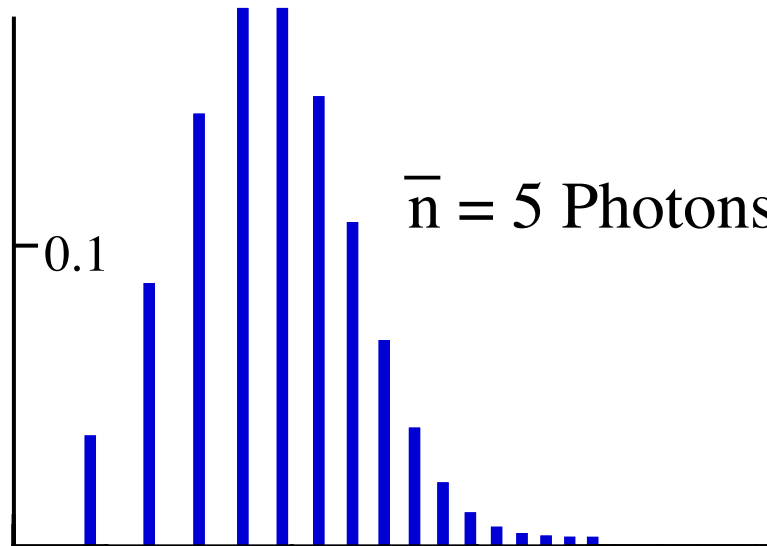
Kopplungsstärke \sim "Rabi Frequenz"



Aufgrund der Photonenstatistik 'sieht' das Atom nicht nur eine, sondern eine ganze Verteilung von Wechselwirkungen unterschiedlicher Stärke

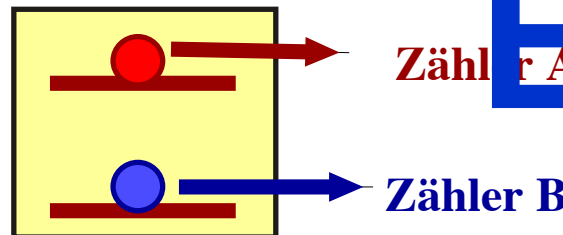
Dadurch geraten die Übergangswahrscheinlichkeiten außer Phase

Kohärente Zustände



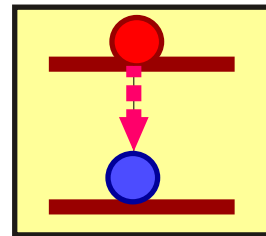
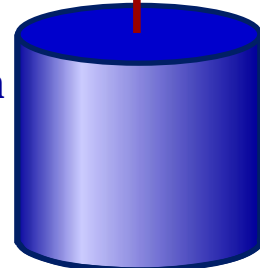
Experiment

Zustandsselektiver
Nachweis

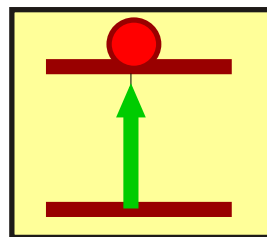


G. Rempe, H. Walther, und N. Klein, Phys. Rev. Lett. 58, 353 (1987).

Mikrowellen
Resonator
 $Q = 3 \cdot 10^8$
 $T = 2 \text{ K}$

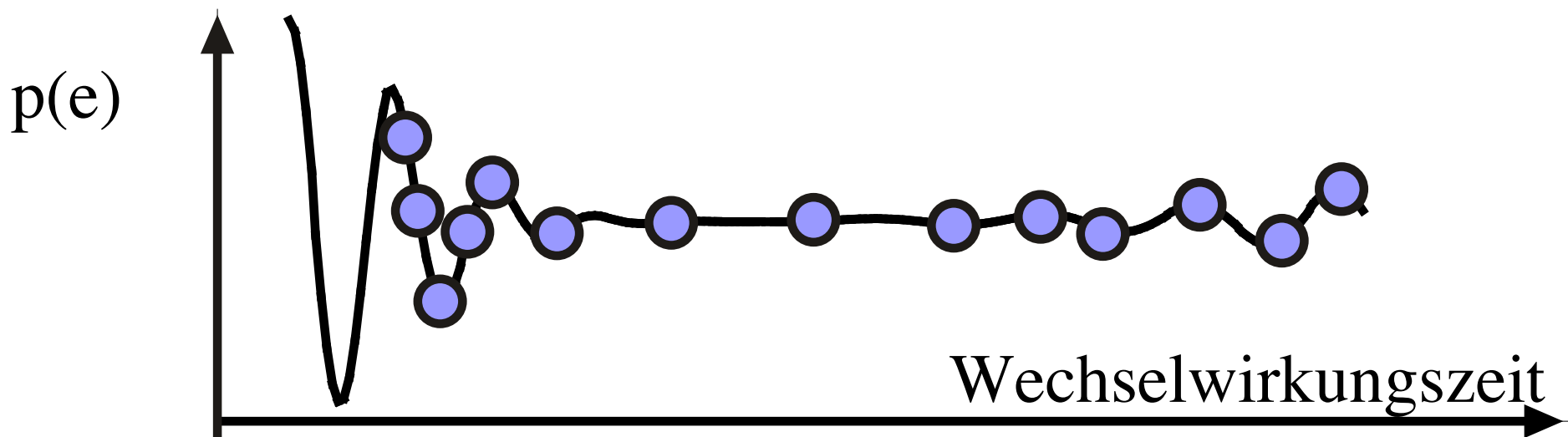


Wechsel-
wirkung mit
einzelner
Mode

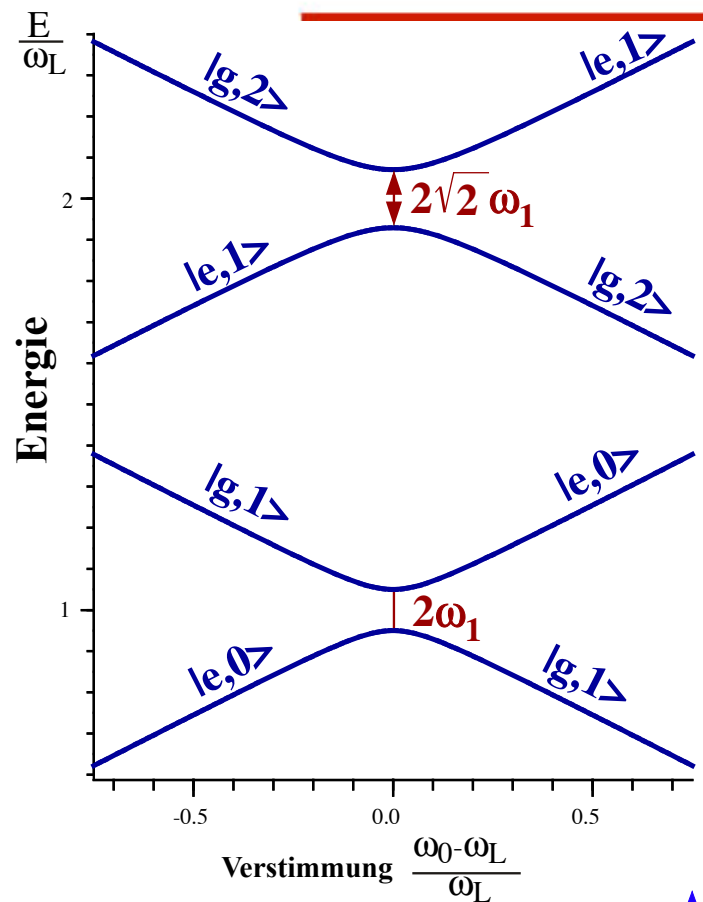


Laser
Anregung

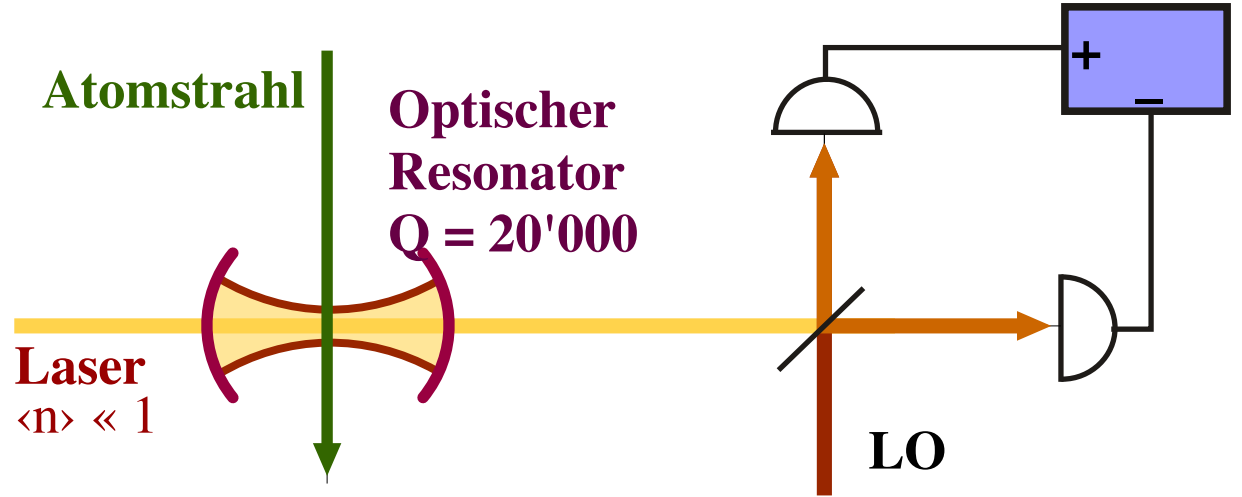
Ofen



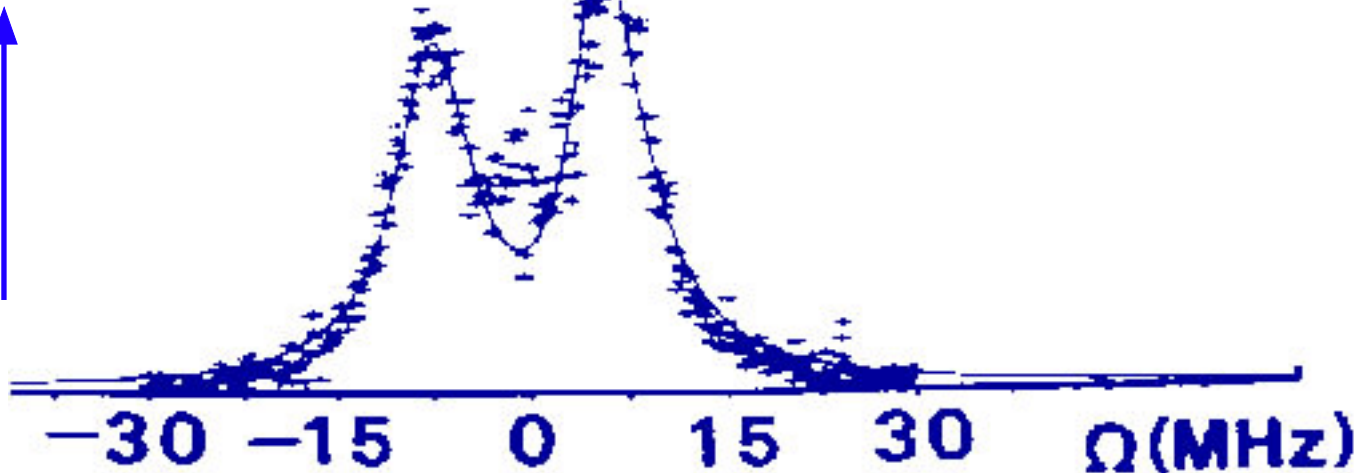
Vakuum Rabi-Aufspaltung



Experimenteller Aufbau



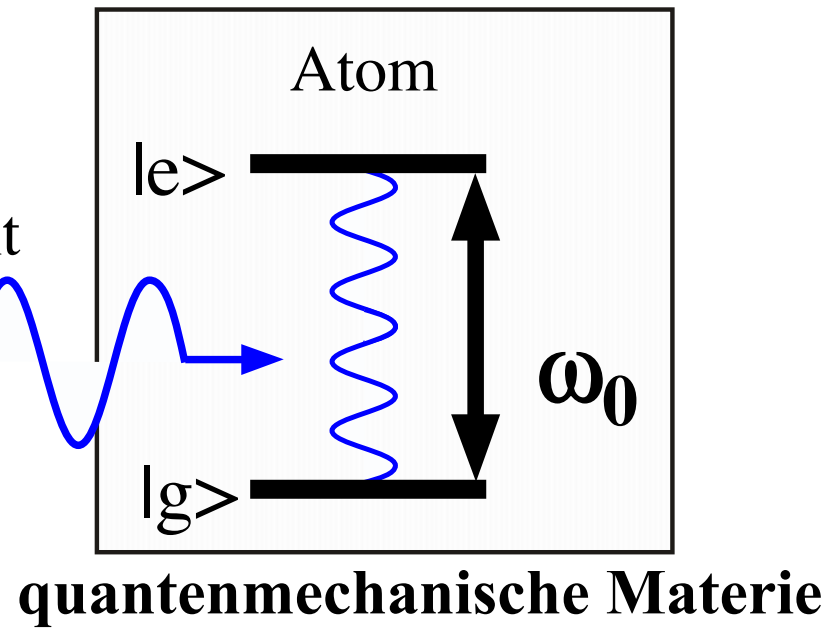
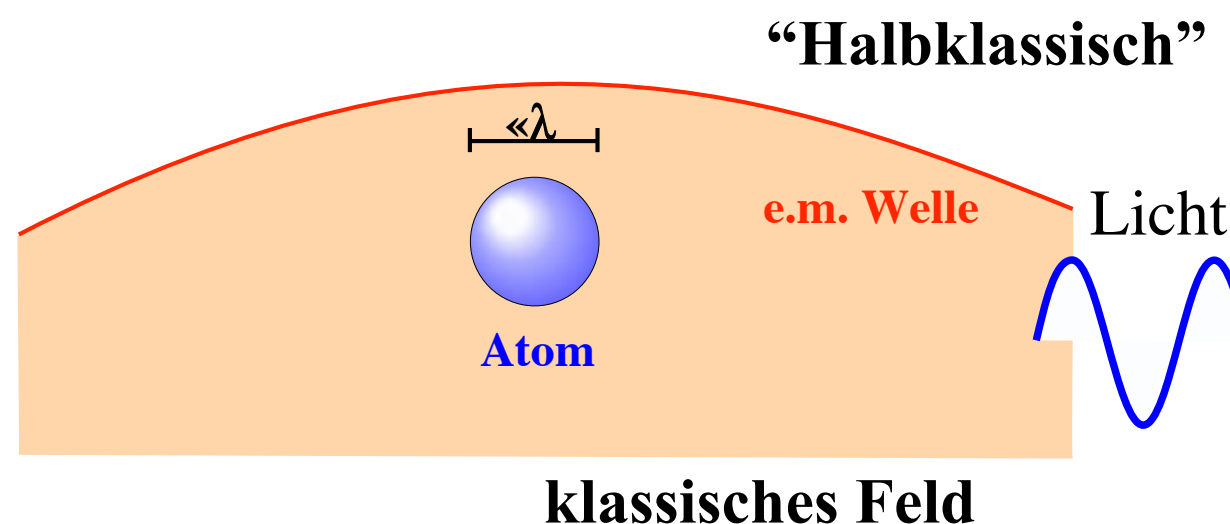
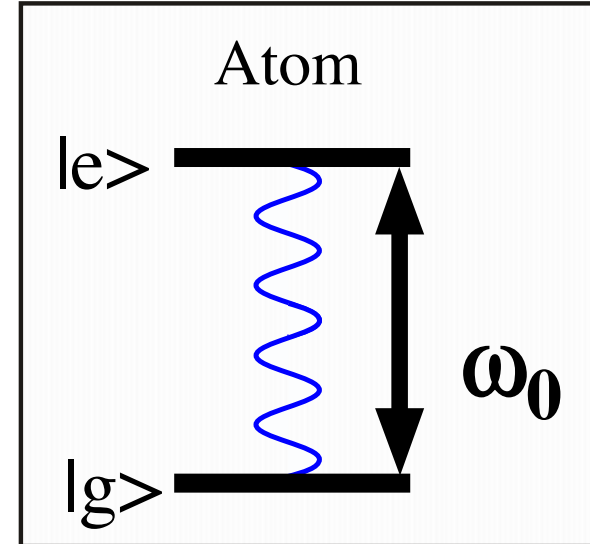
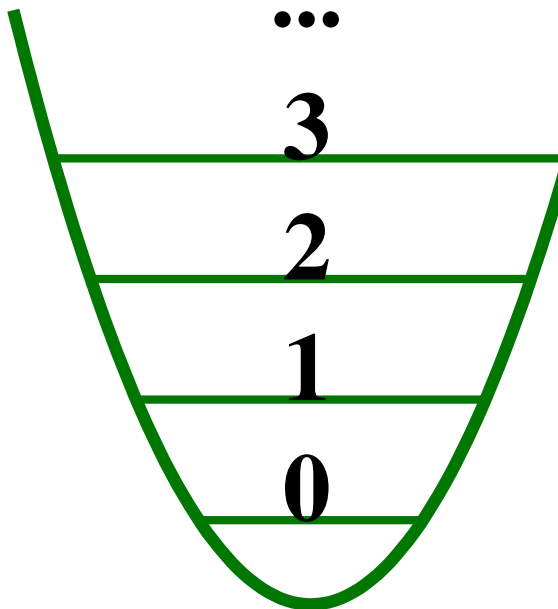
Resultate



M.G. Raizen, R.J. Thompson, R.J. Brecha,
H.J. Kimble, and H.J. Carmichael
Phys. Rev. Lett. 63, 240-243 (1989).

Halbklassisches Modell

Jaynes-Cummings Modell



3.3 Halbklassisches Modell

Literatur

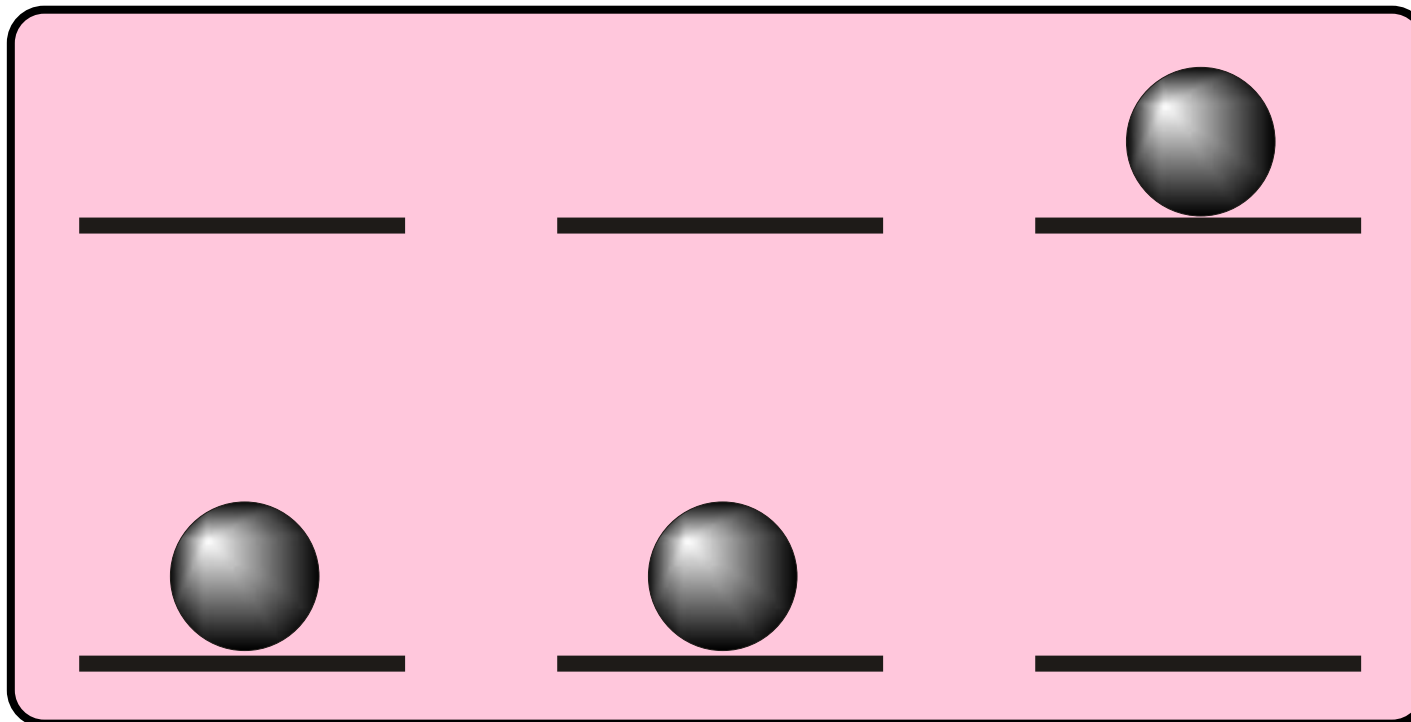
R.P. Feynman, F.L. Vernon, and R.W. Hellwarth, ‘Geometrical representation of the Schrödinger equation for solving maser problems’, J. Appl. Phys. 28, 49-52 (1957).

R.G. Brewer, Coherent optical spectroscopy, in Frontiers of Laser Spectroscopy, Editor: R. Balian, S. Haroche, and S. Liberman, North Holland (1977).

L. Allen and J.H. Eberly, ‘Optical resonance and two-level atoms’, Dover Publications, Mineola, NY (1987).

Dieter Suter, ‘The Physics of Laser-Atom Interaction’, Cambridge University Press, Cambridge (1997). Chapter 2.

Ensemble



$$\Psi_1 = |g\rangle$$

$$\begin{pmatrix} 1 \\ 0 \end{pmatrix}$$

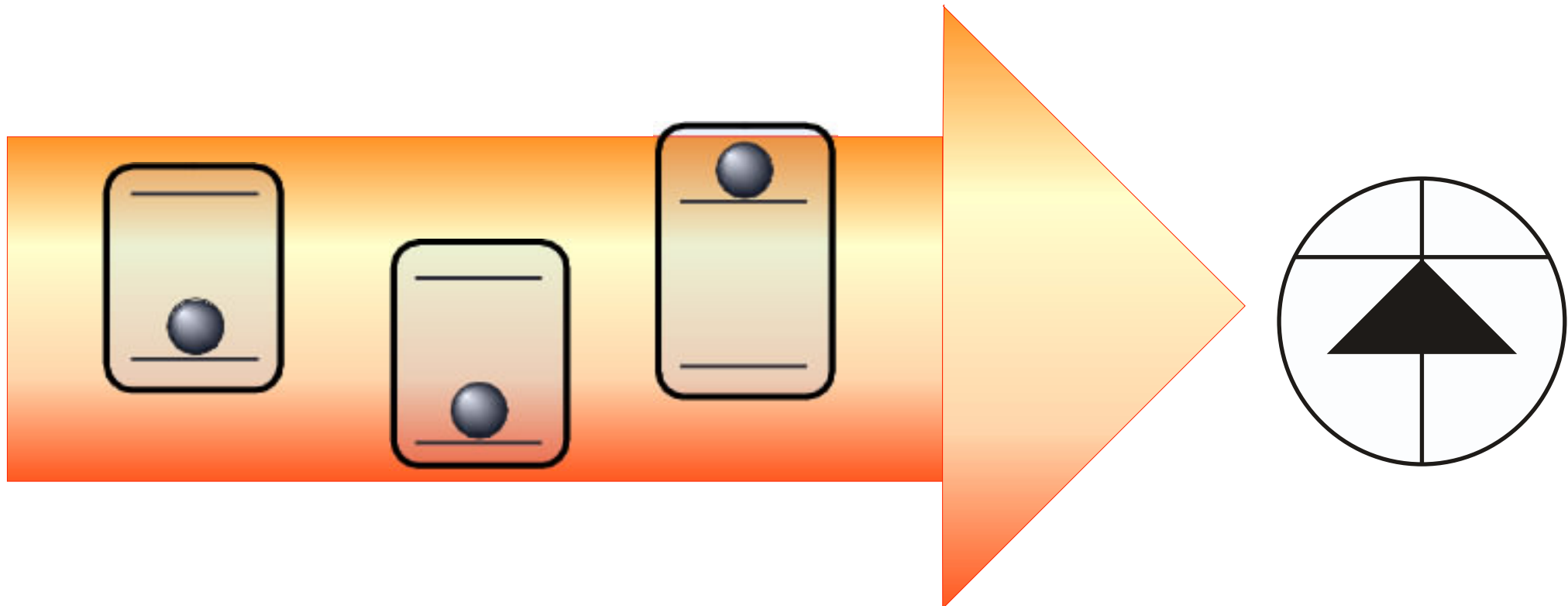
$$\Psi_2 = |g\rangle$$

$$\begin{pmatrix} 1 \\ 0 \end{pmatrix}$$

$$\Psi_3 = |e\rangle$$

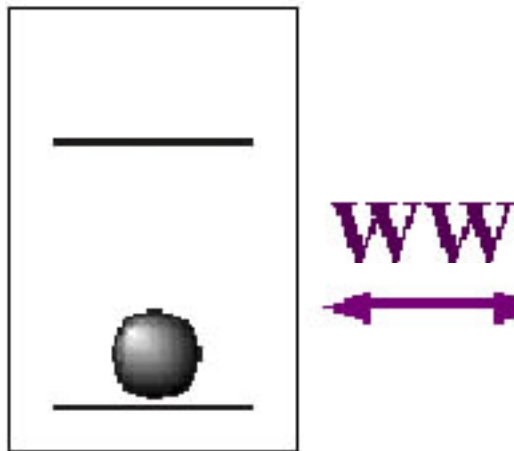
$$\begin{pmatrix} 0 \\ 1 \end{pmatrix}$$

Ensemble-Messung

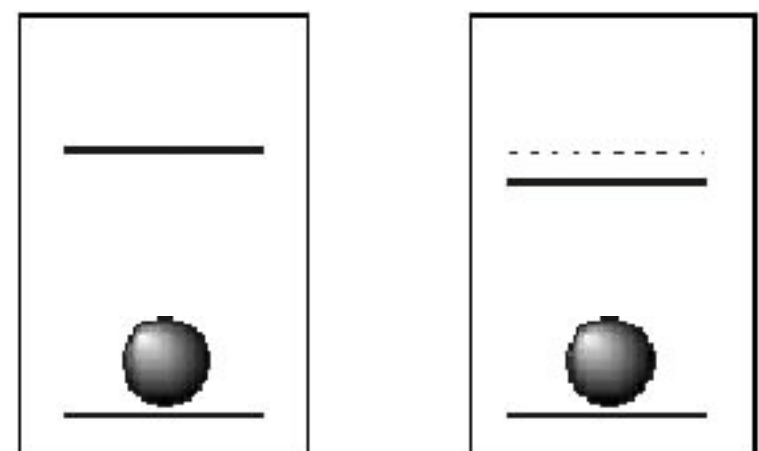


Ensemble-Messung

Wechselwirkungen

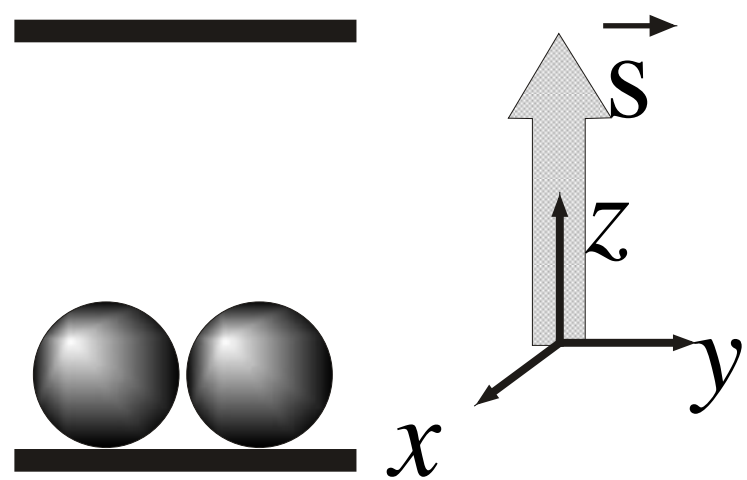


Inhomogenitäten



Dichteoperator

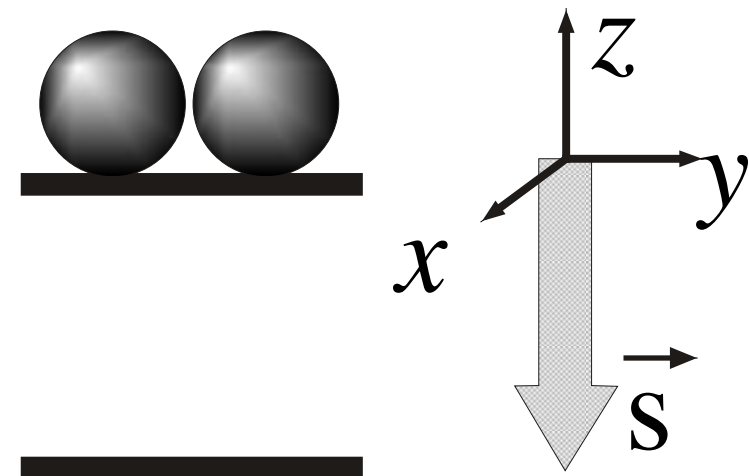
Atome im Grundzustand



$$\Psi_a = |g\rangle = \begin{pmatrix} 1 \\ 0 \end{pmatrix} \quad \rho'_a = \begin{pmatrix} 1 & 0 \\ 0 & 0 \end{pmatrix}$$

$$\rho_a = S_z = \frac{1}{2} \begin{pmatrix} 1 & 0 \\ 0 & -1 \end{pmatrix}$$

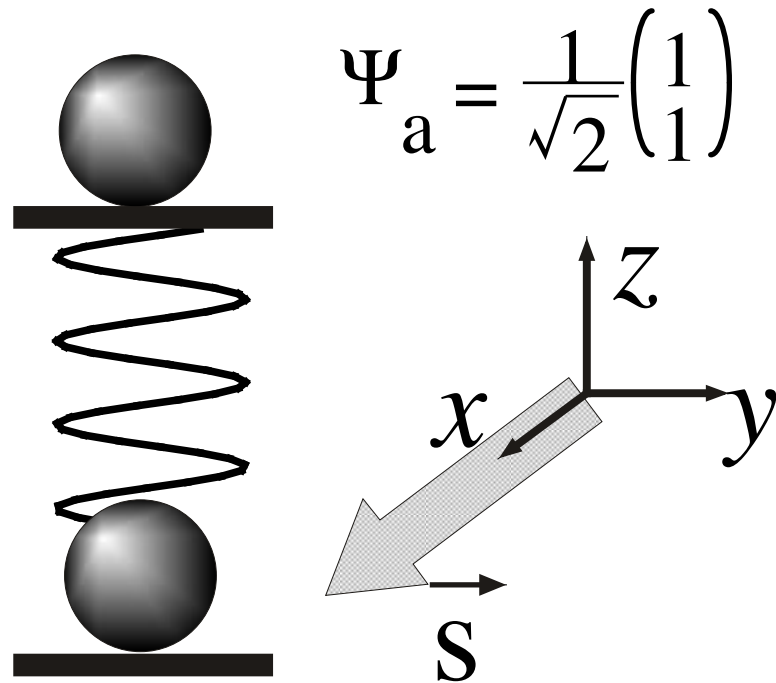
Atome im angeregten Zustand



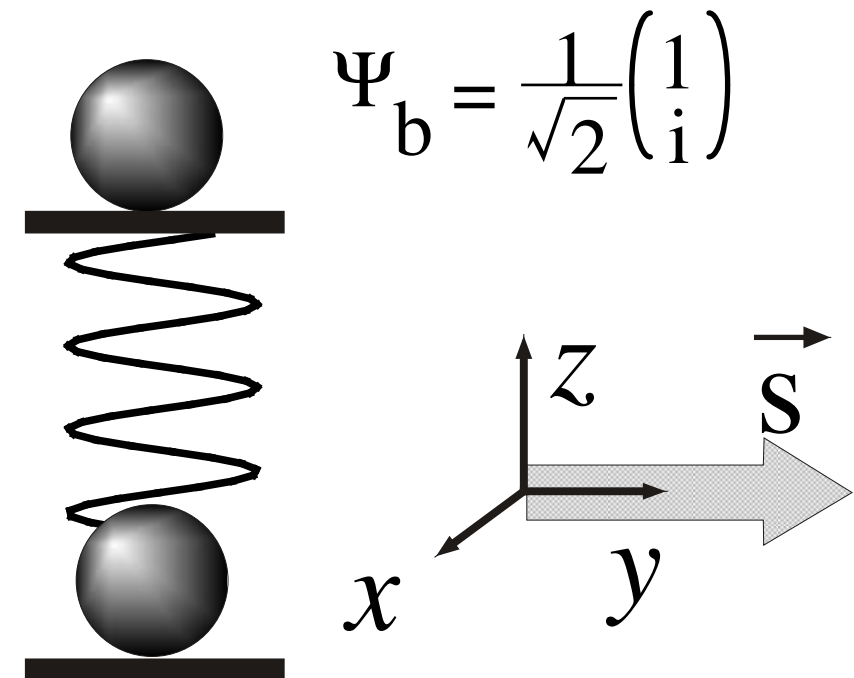
$$\Psi_b = |e\rangle = \begin{pmatrix} 0 \\ 1 \end{pmatrix} \quad \rho'_b = \begin{pmatrix} 0 & 0 \\ 0 & 1 \end{pmatrix}$$

$$\rho_b = -S_z = \frac{1}{2} \begin{pmatrix} -1 & 0 \\ 0 & 1 \end{pmatrix}$$

Elektrisches Dipolmoment



$$\Psi_a = \frac{1}{\sqrt{2}} \begin{pmatrix} 1 \\ 1 \end{pmatrix}$$

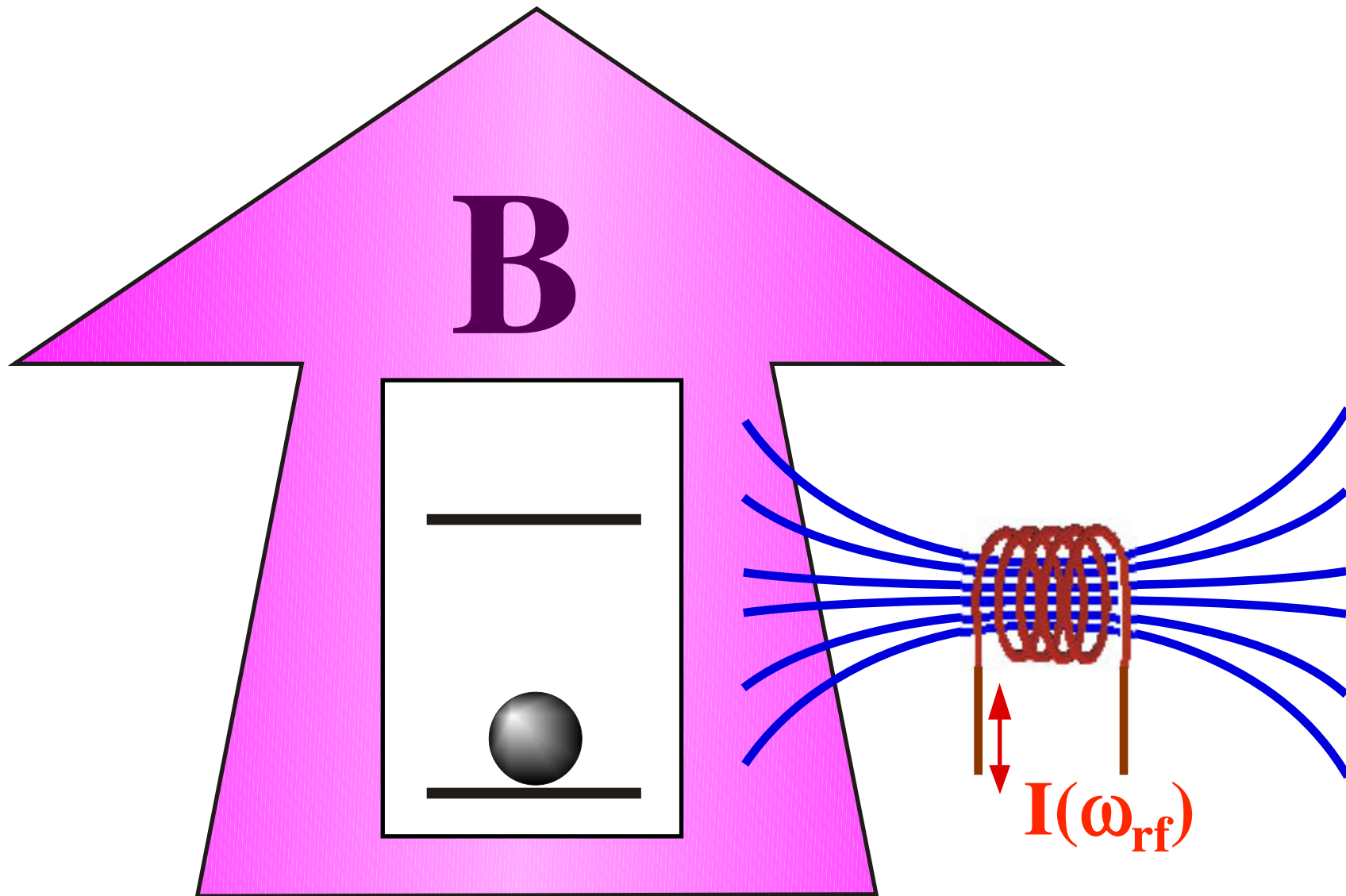


$$\Psi_b = \frac{1}{\sqrt{2}} \begin{pmatrix} 1 \\ i \end{pmatrix}$$

$$\rho_a = S_x = \frac{1}{2} \begin{pmatrix} 0 & 1 \\ 1 & 0 \end{pmatrix}$$

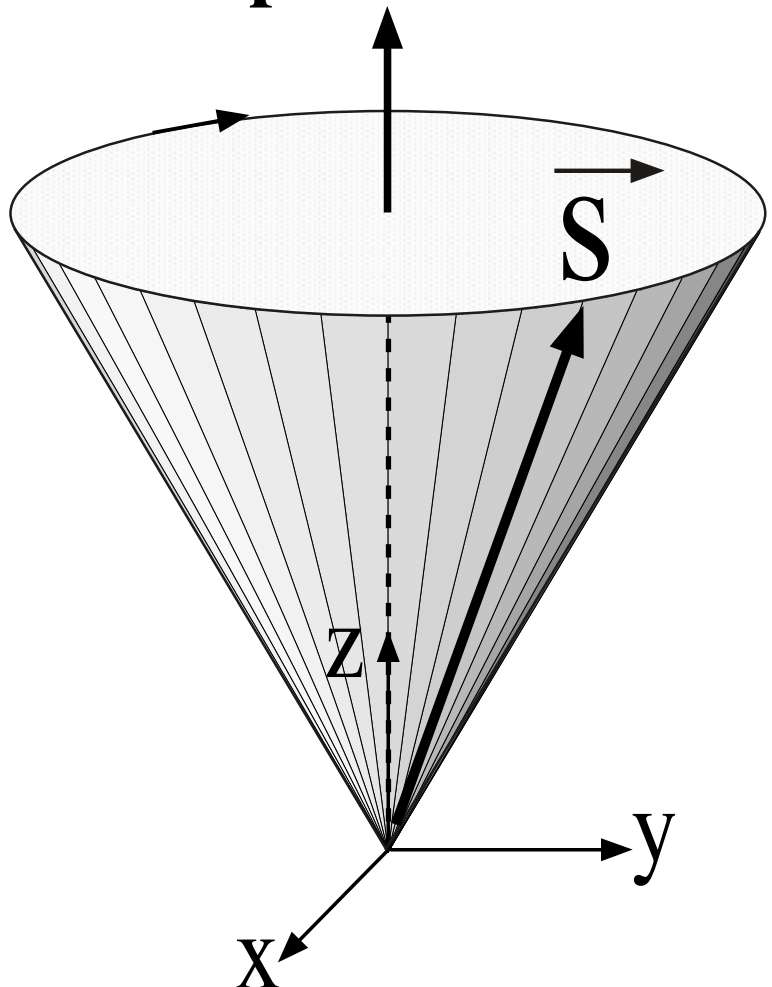
$$\rho_b = S_y = \frac{1}{2} \begin{pmatrix} 0 & -i \\ i & 0 \end{pmatrix}$$

Pesudo-Spin-WW

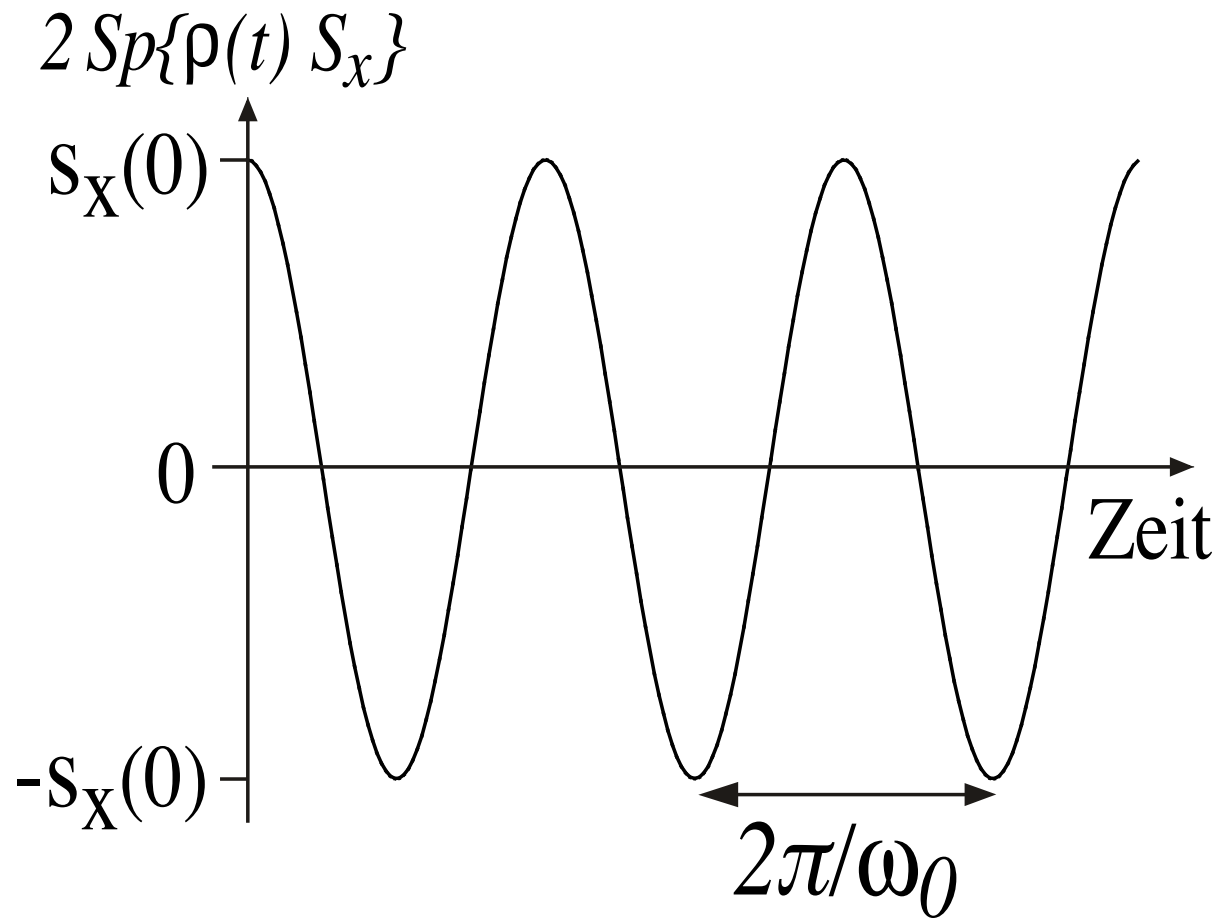


Freie Präzession

Pseudospin



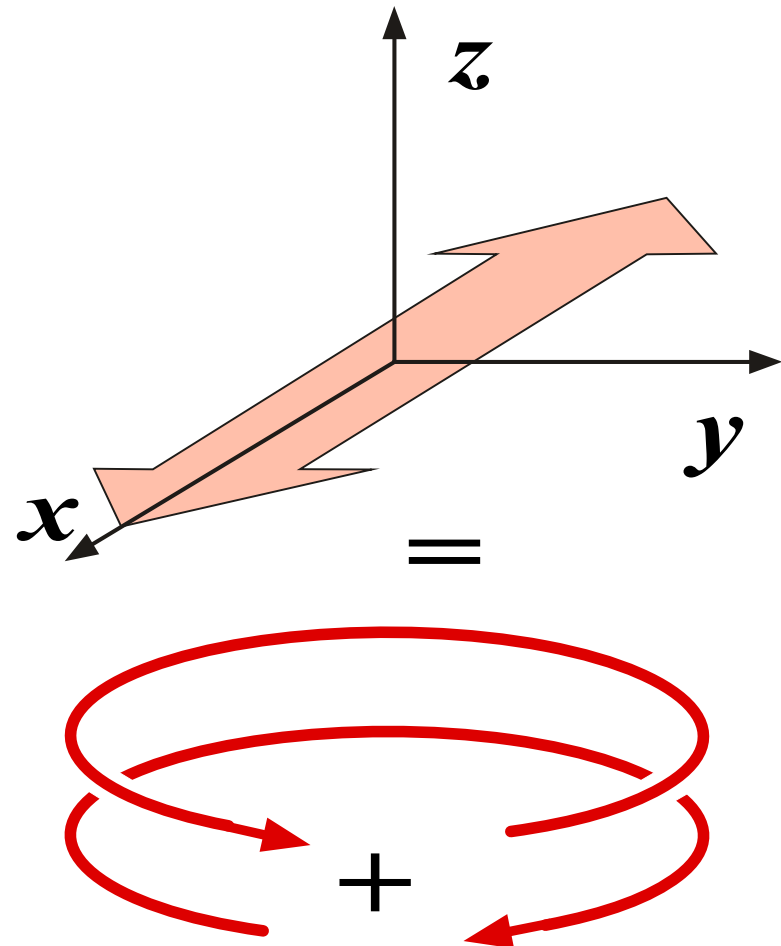
Dipolmoment



Rotierendes Koordinatensystem

Laborsystem

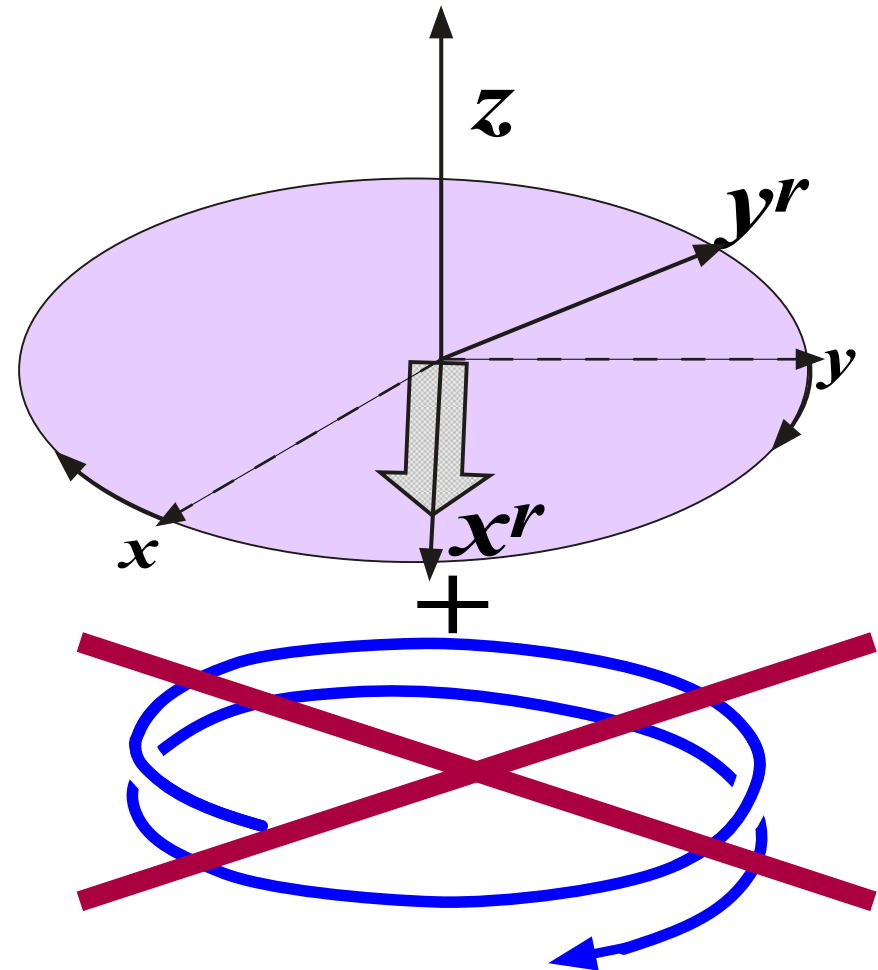
$$(\omega_x, 0, 0) 2 \cos(\omega_L t)$$



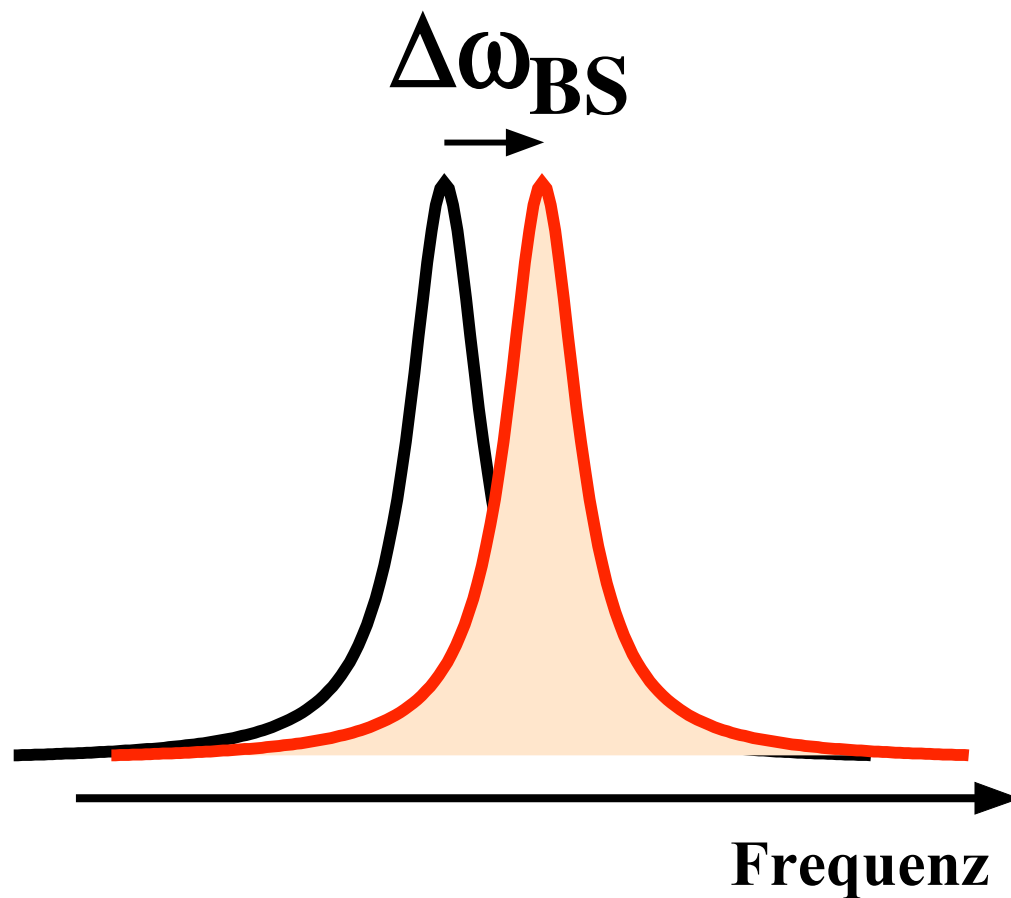
Rotierendes Koordinatensystem

$$(\omega_x, 0, 0) [1 + \cos(2\omega_L t)]$$
$$- (0, \omega_x, 0) \sin(2\omega_L t)$$

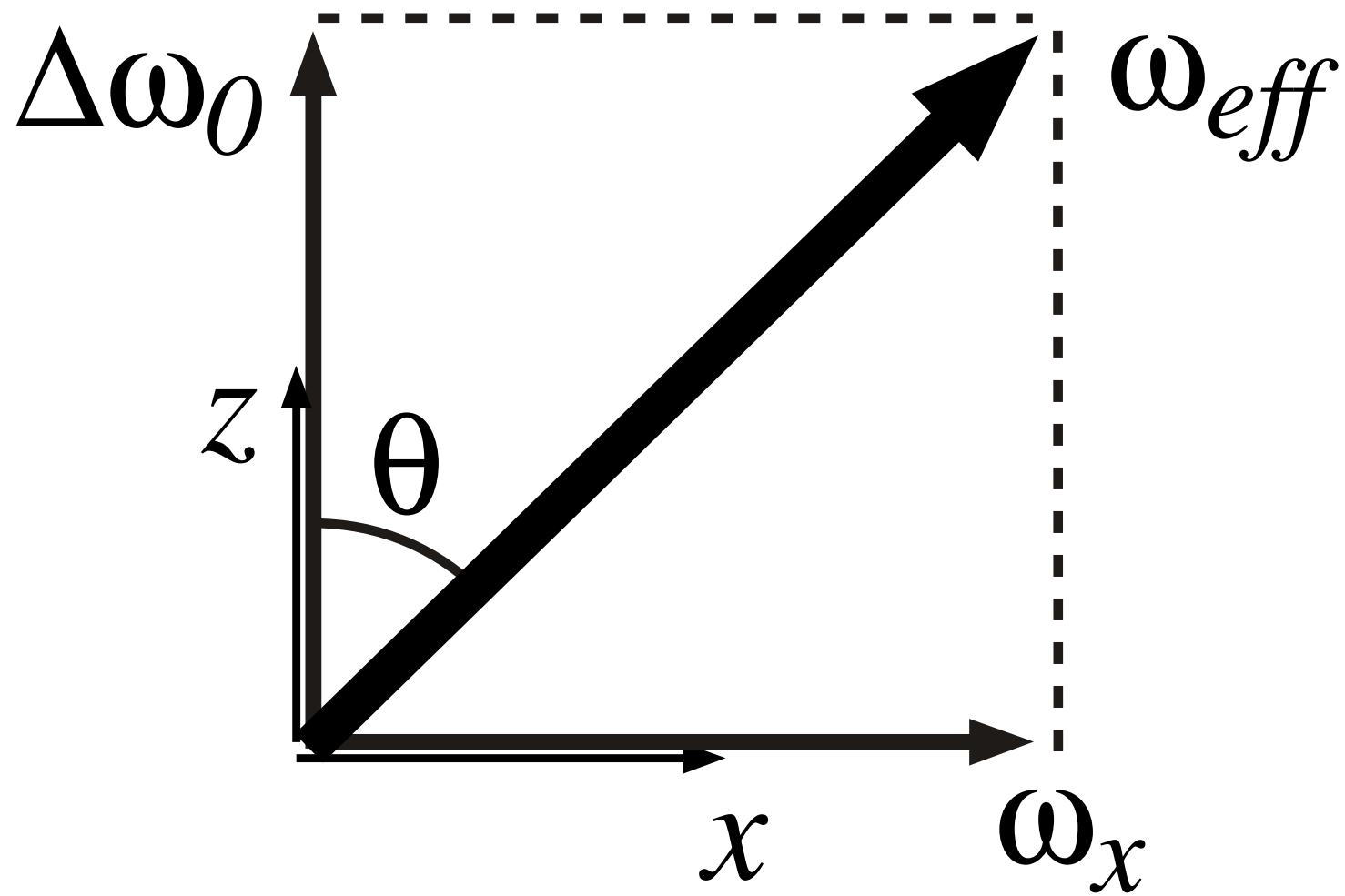
nichtresonante Teile vernachlässigen



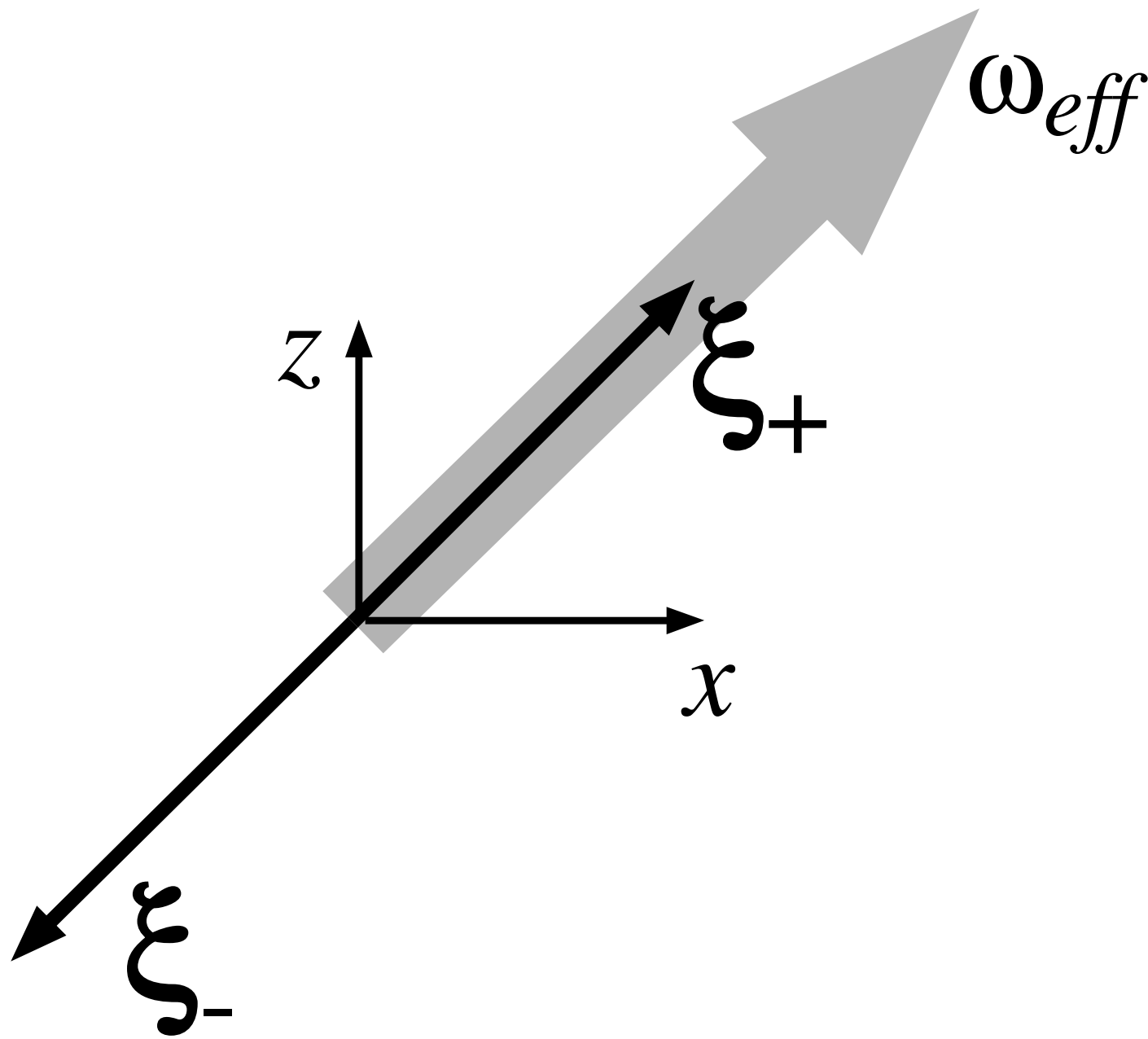
Bloch-Siegert Shift



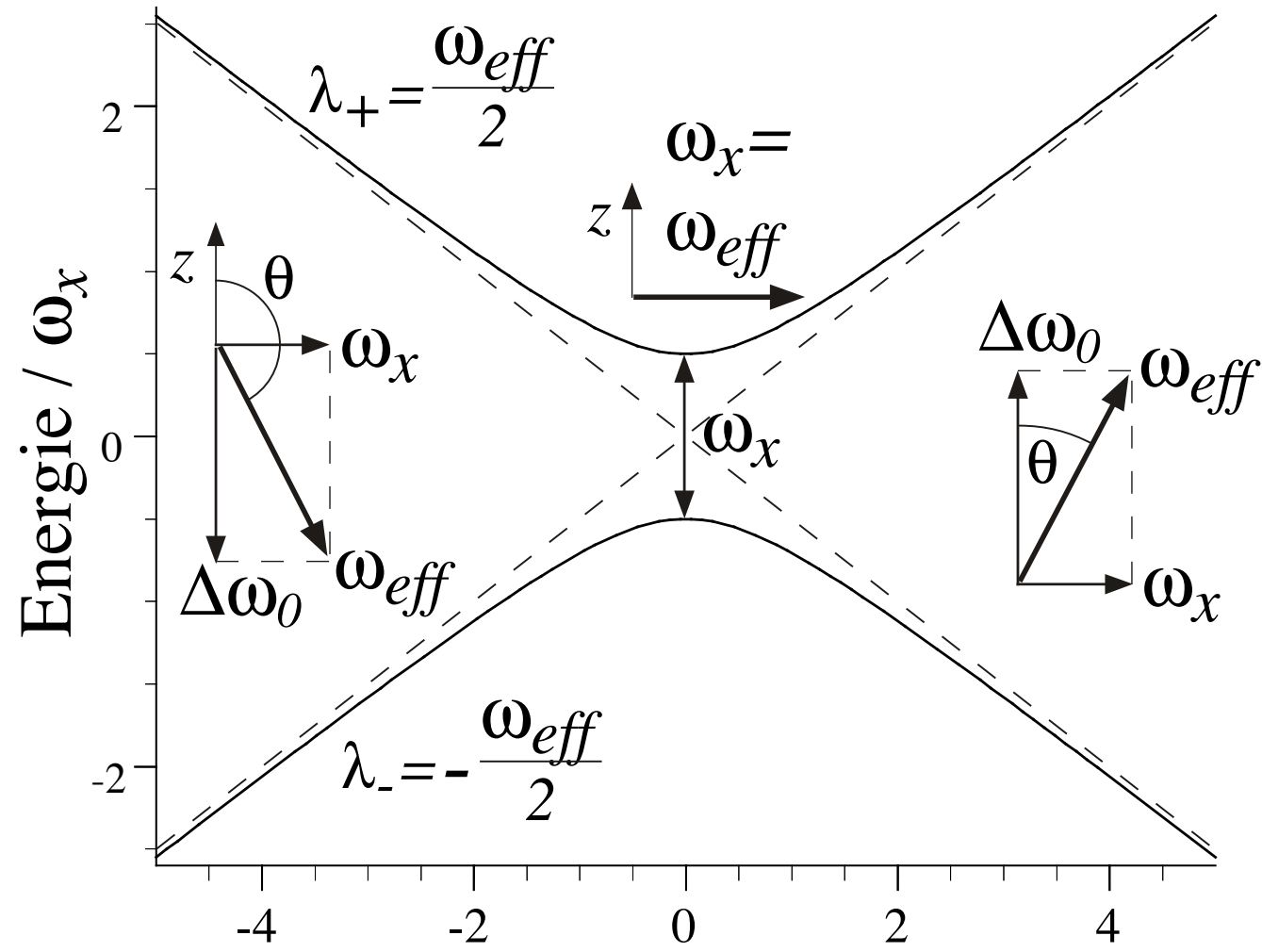
Geometrische Lösung



Eigenbasis



Energien und Zustände

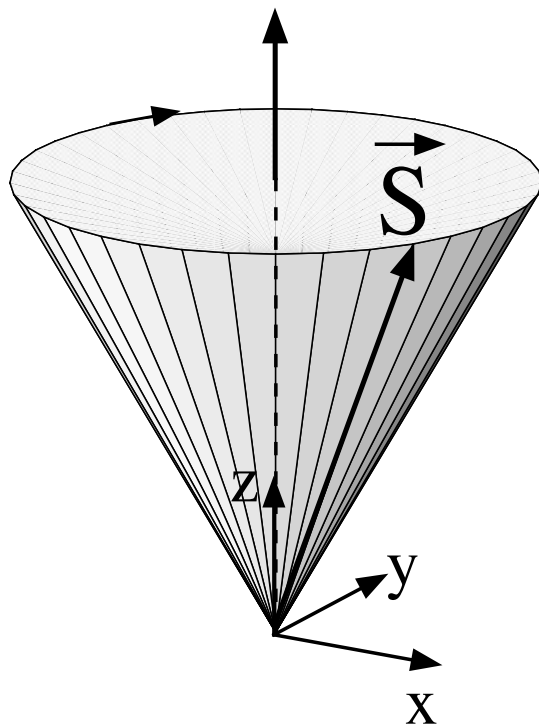


Laserverstimmung $\Delta\omega_0/\omega_x$

Präzession

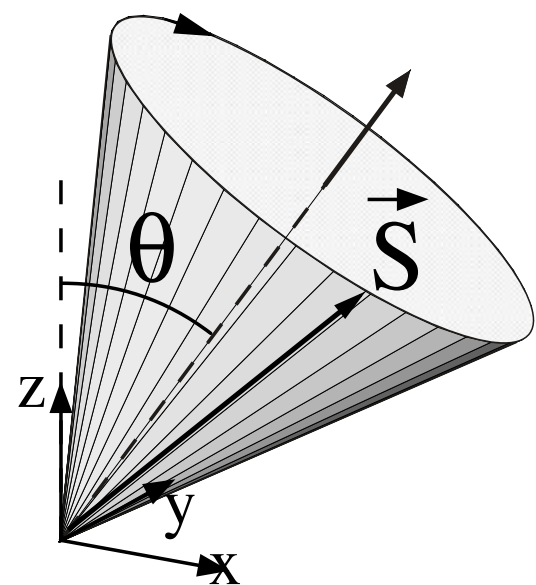
a) $\Delta\omega_0 \neq 0$

$$\omega_x = 0$$



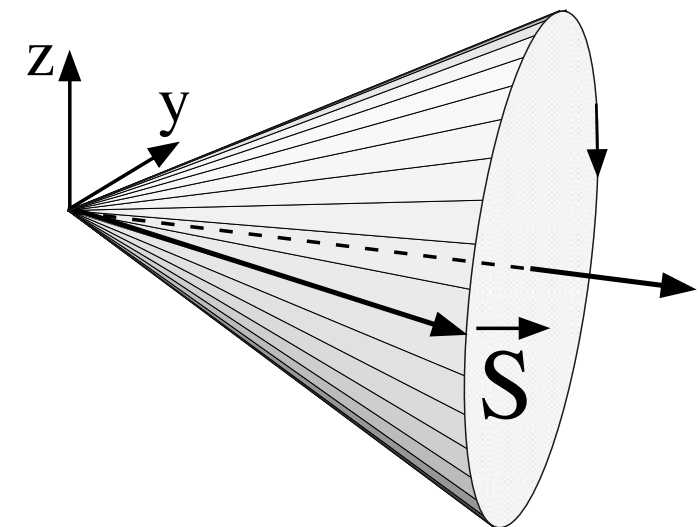
b) $\Delta\omega_0 \neq 0$

$$\omega_x \neq 0$$

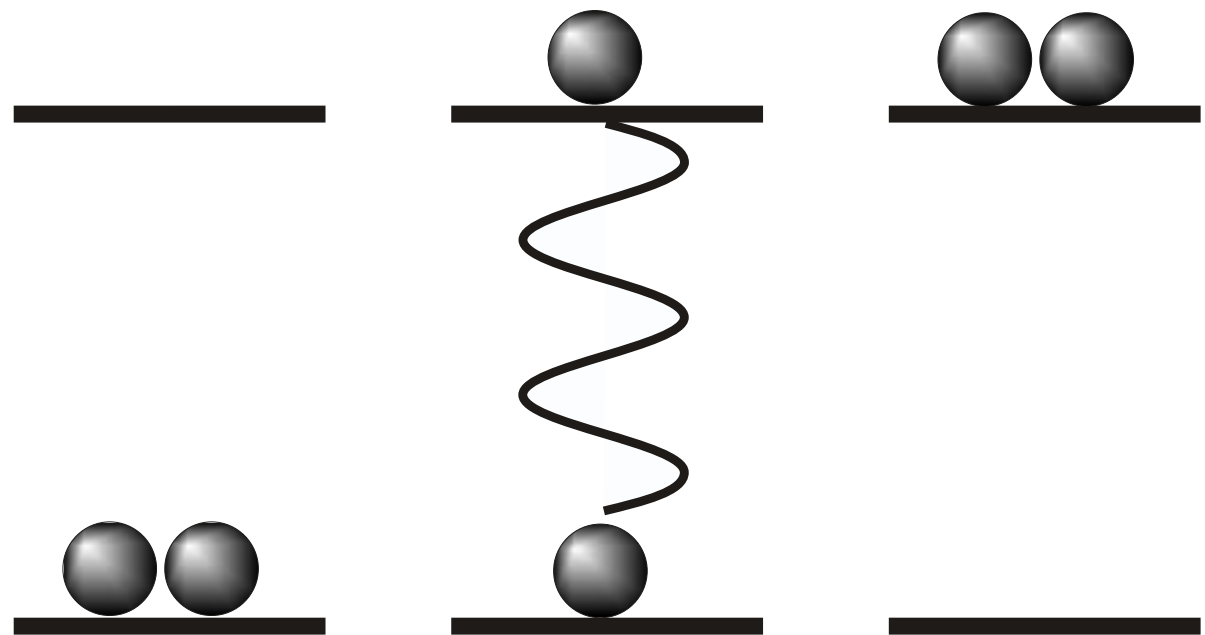
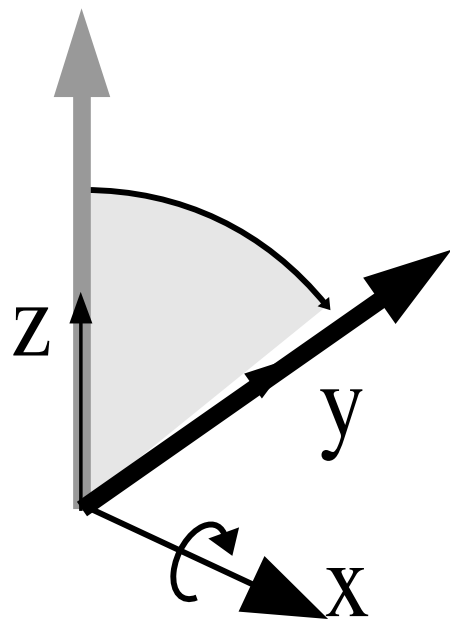


c) $\Delta\omega_0 = 0$

$$\omega_x \neq 0$$



Laserpuls

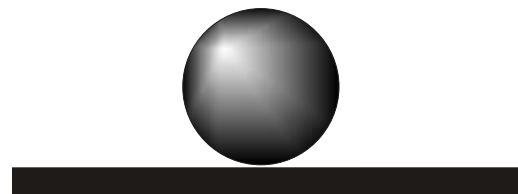


Boltzmann-Temperatur

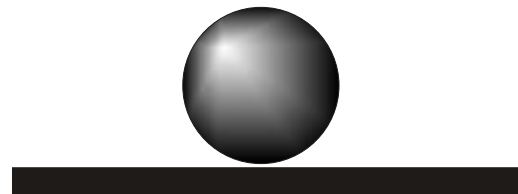
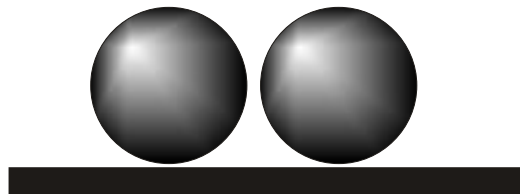
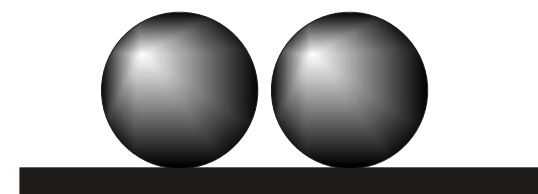
$T = 0$



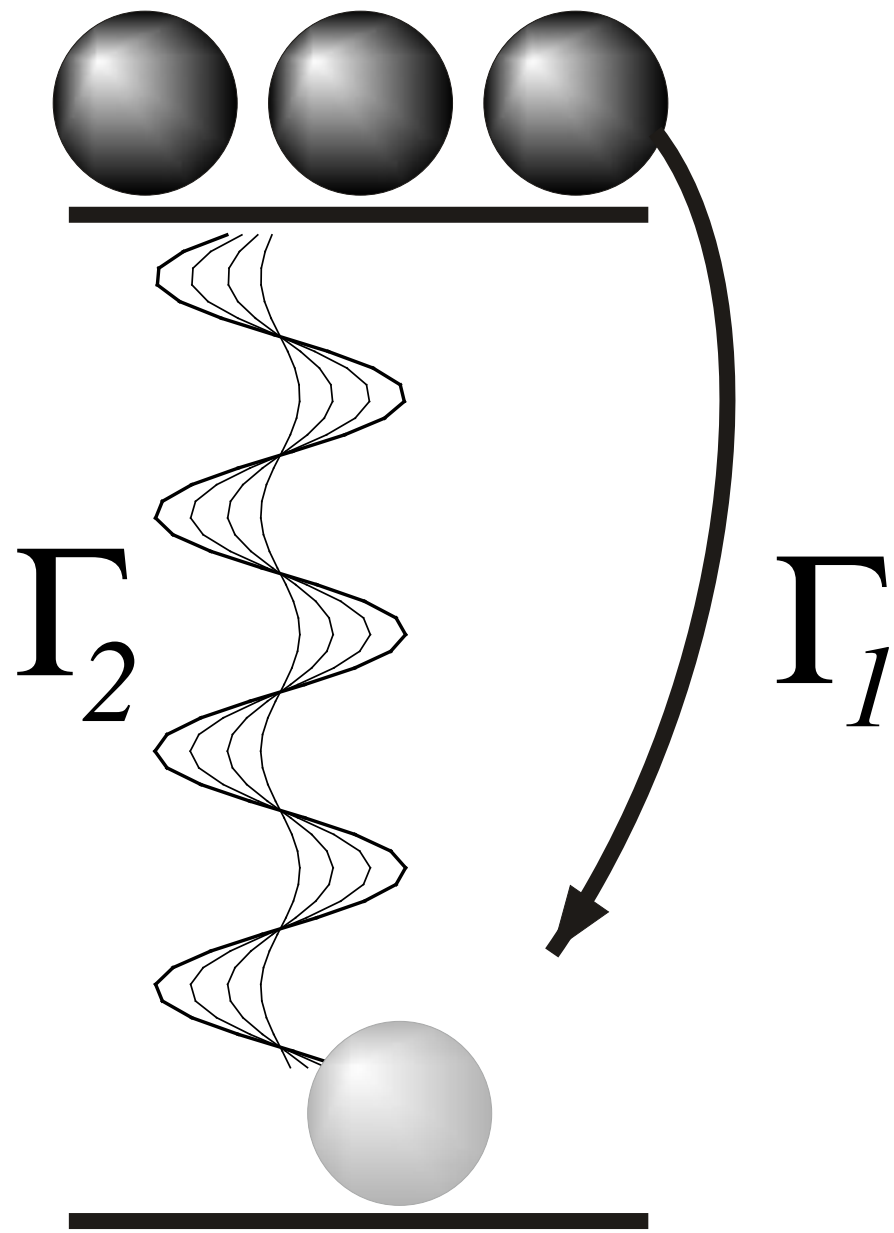
$T = \infty$



$T < 0$



Relaxation



Optische Blochgleichung

$$\begin{aligned}\dot{s}_x &= \Delta\omega_0 s_y - \Gamma_2 s_x \\ \dot{s}_y &= -\Delta\omega_0 s_x + \omega_x s_z - \Gamma_2 s_y \\ \dot{s}_z &= -\omega_x s_y + \Gamma_1 (1 - s_z)\end{aligned}$$

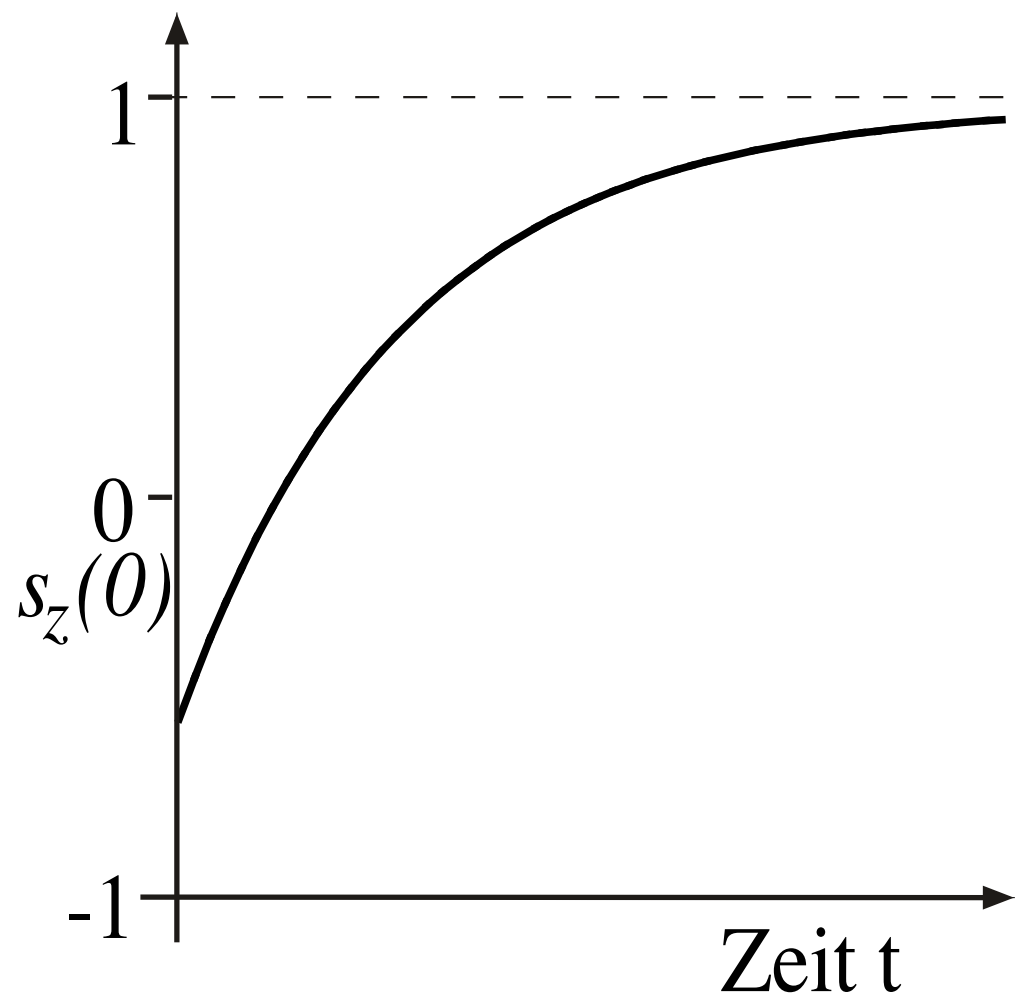
F. Bloch, ‘Nuclear induction’, Phys. Rev. 70, 460-485 (1946).

**R.P. Feynman, F.L. Vernon, and R.W. Hellwarth,
‘Geometrical representation of the Schrödinger equation for solving
maser problems’, J. Appl. Phys. 28, 49-52 (1957).**

Relaxation

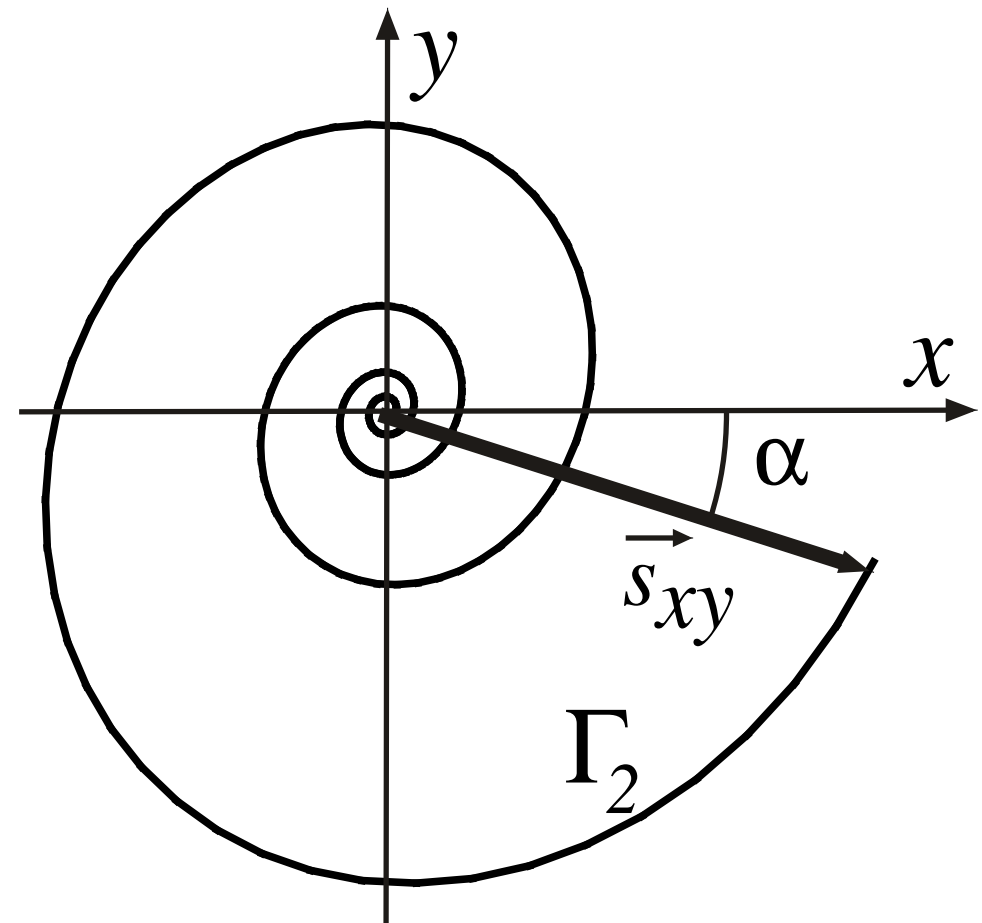
Populationen

$$s_z \quad s_z(t) = 1 - (1 - s_z(0))e^{-\Gamma_1 t}$$

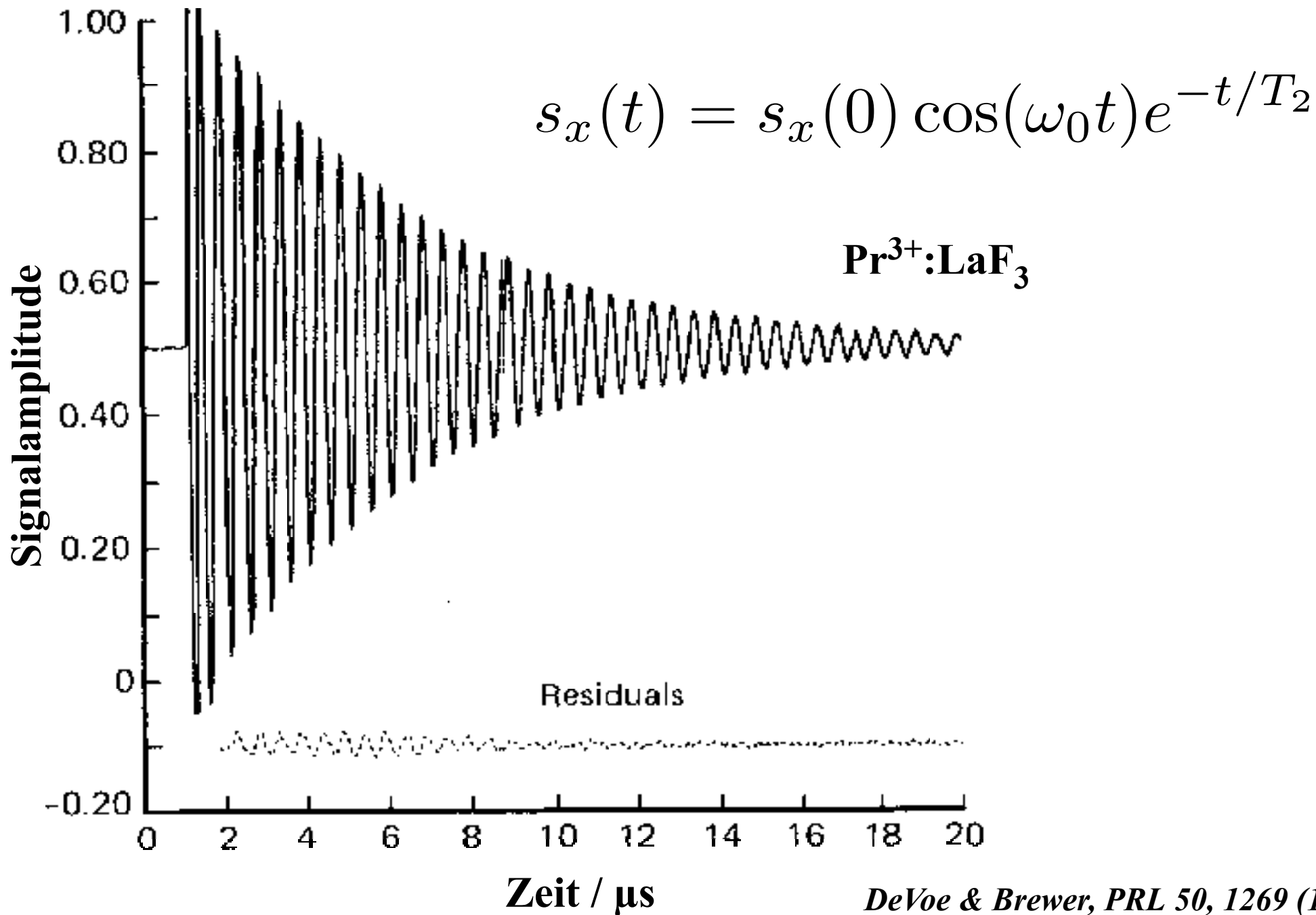


Kohärenz

$$s_x(t) = (s_x(0)\cos(\omega_0 t) + s_y(0)\sin(\omega_0 t))e^{-\Gamma_2 t}$$
$$s_y(t) = (s_y(0)\cos(\omega_0 t) - s_x(0)\sin(\omega_0 t))e^{-\Gamma_2 t}$$



Freie Präzession

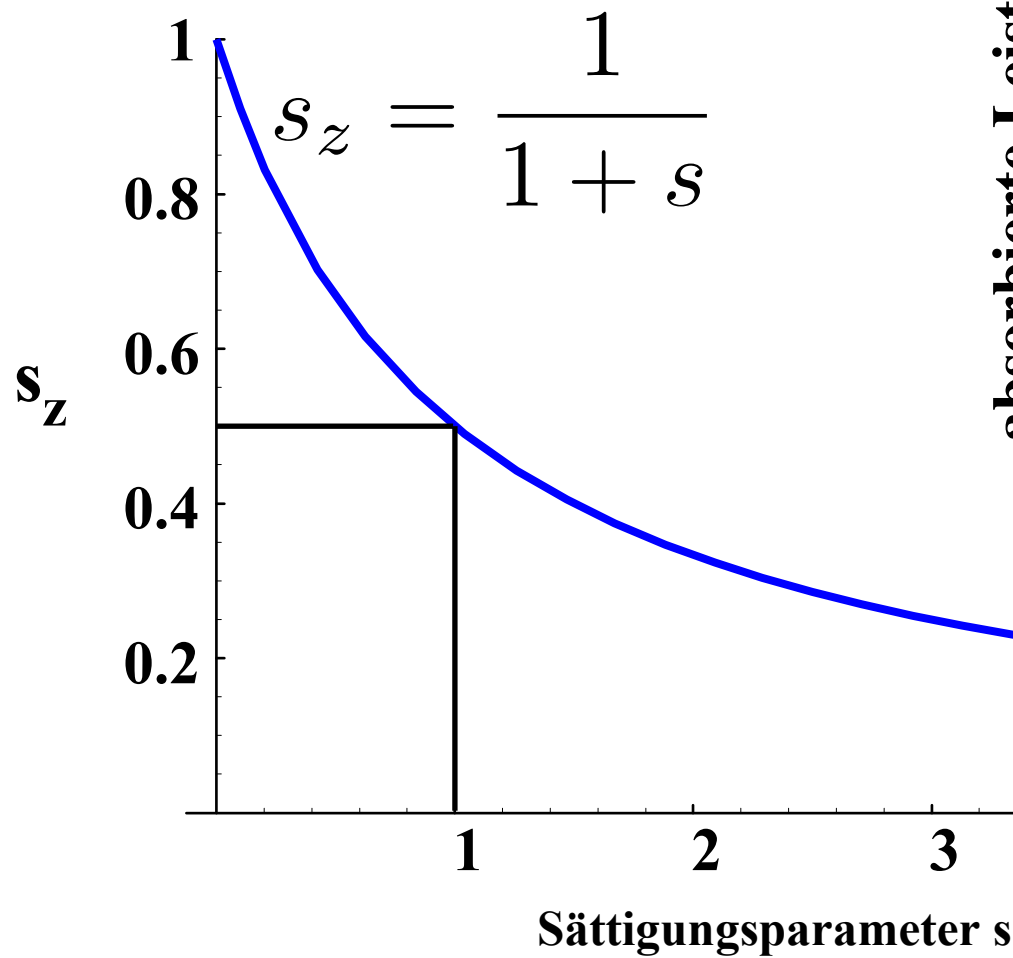


Stationäre Lösung

$$\begin{pmatrix} s_x \\ s_y \\ s_z \end{pmatrix}_{\infty} = \frac{1}{\Gamma_2^2 + \Delta\omega_0^2 + \omega_x^2 \frac{\Gamma_2}{\Gamma_1}} \begin{pmatrix} \Delta\omega_0 \omega_x \\ \omega_x \Gamma_2 \\ \Gamma_2^2 + \Delta\omega_0^2 \end{pmatrix}$$

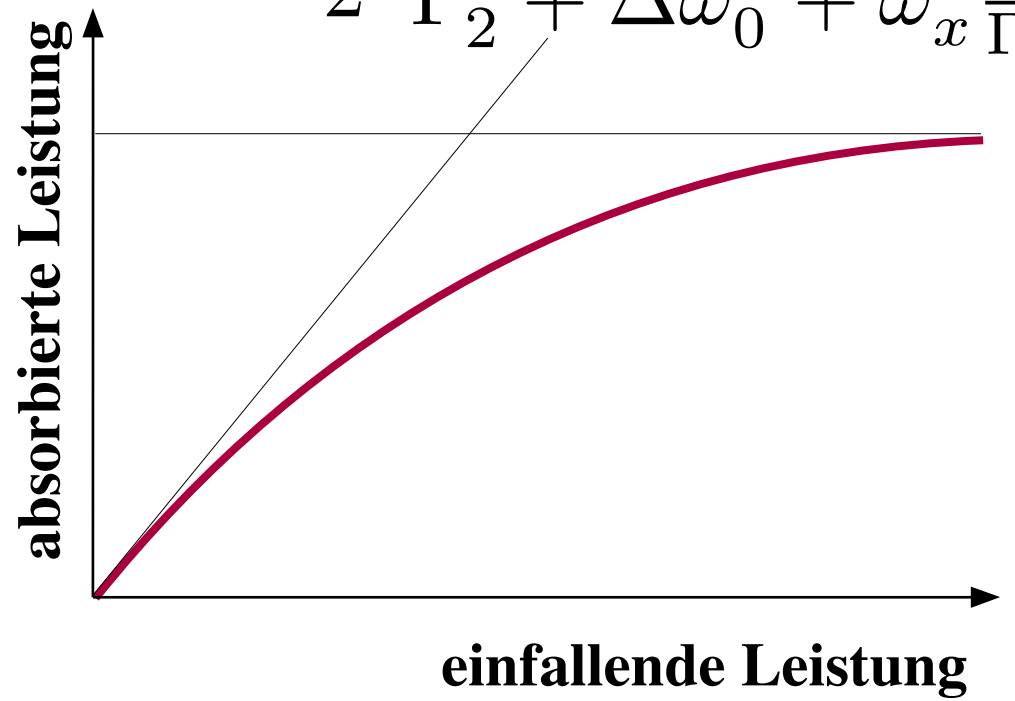
Sättigungsparameter

$$s = \frac{2\omega_x^2}{\Gamma_1^2 + 4\Delta\omega_0^2}$$

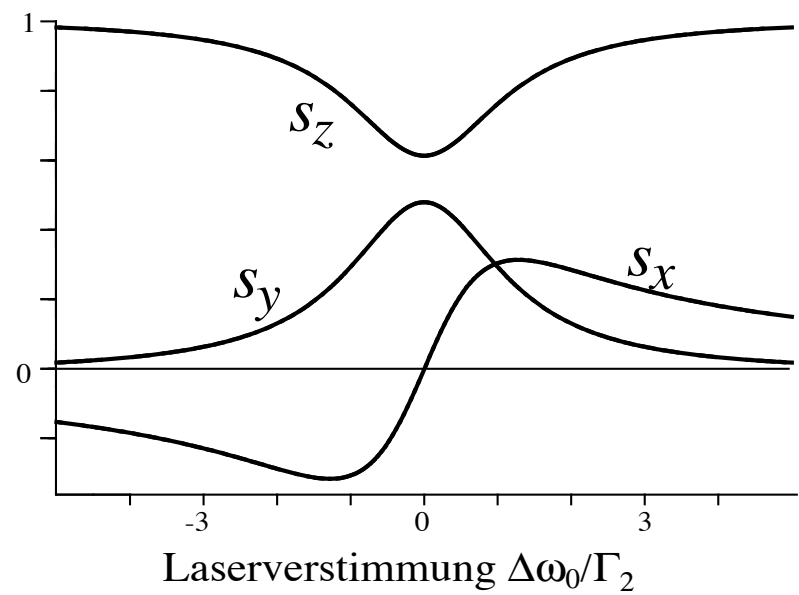
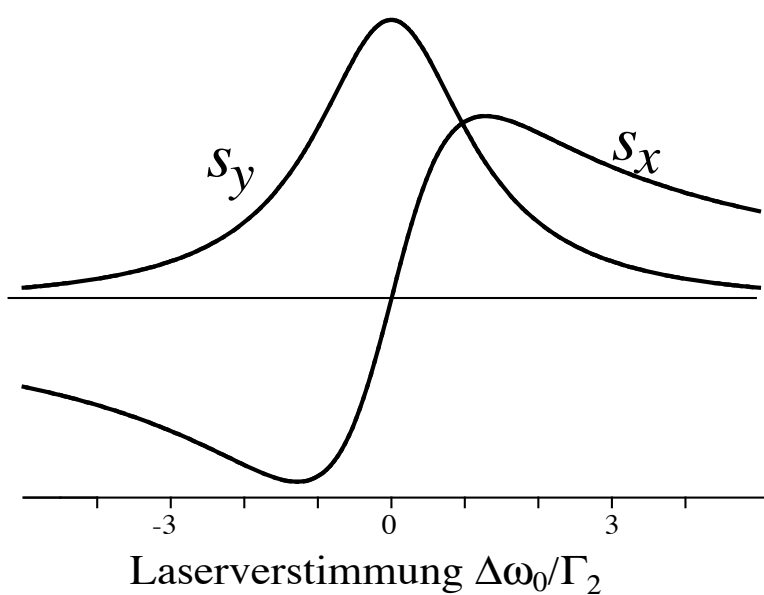
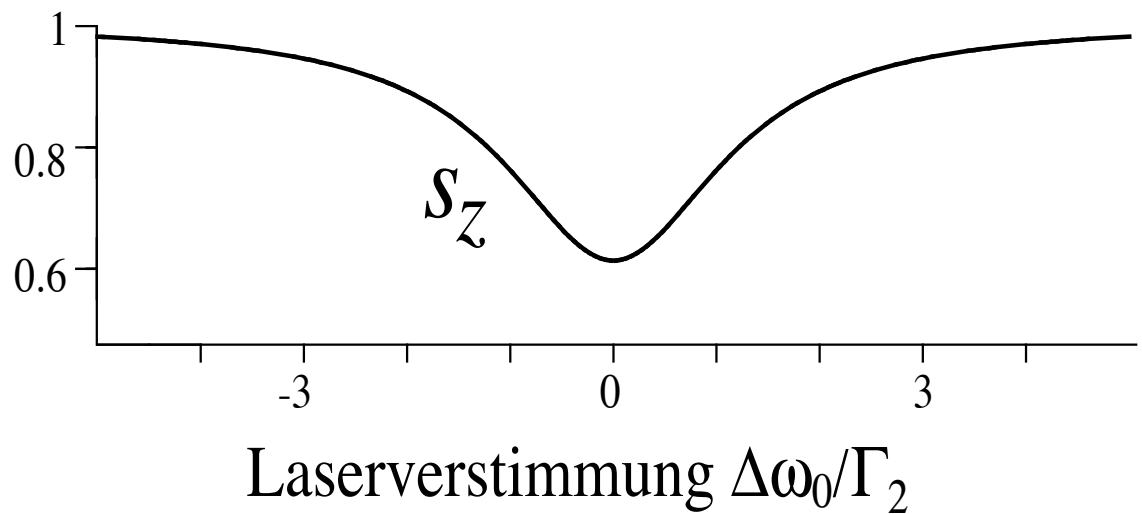
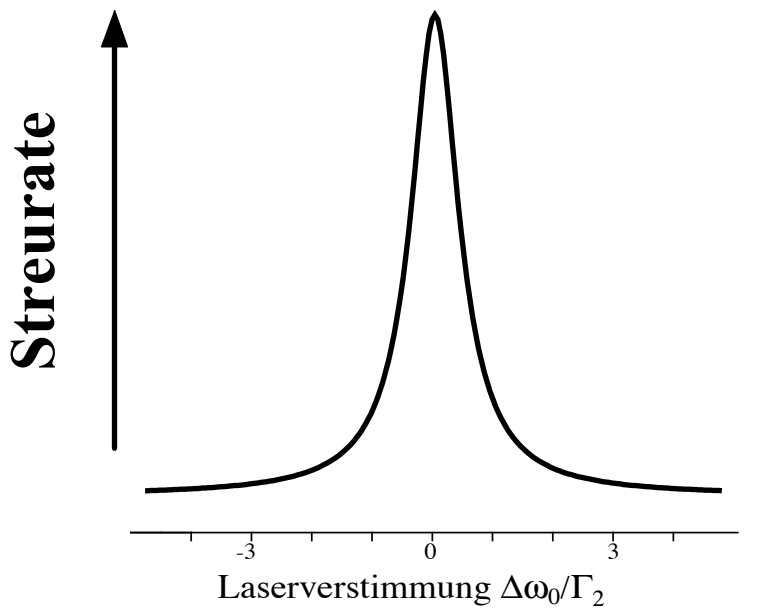


Sättigung

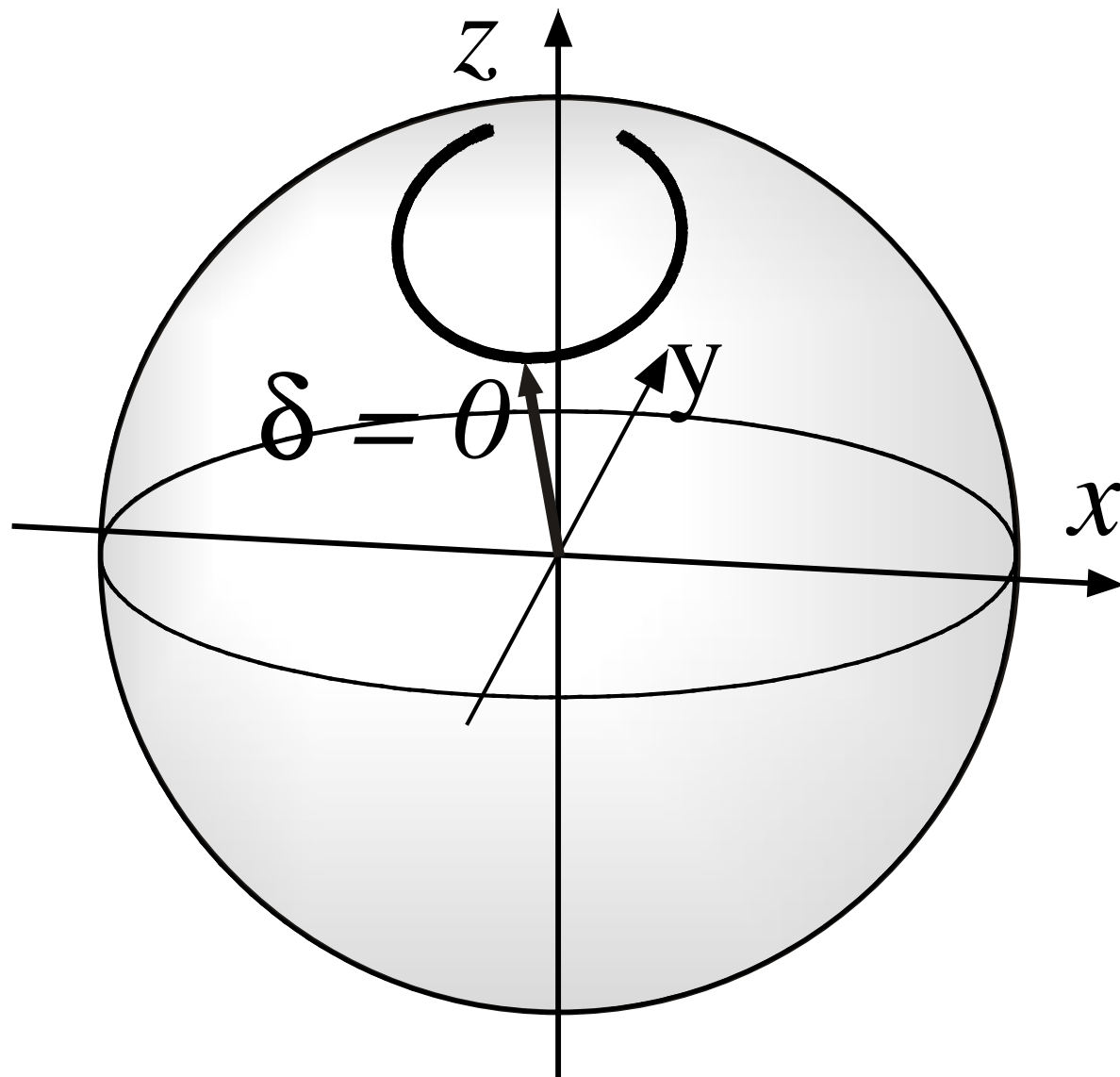
$$r = \frac{\Gamma_2}{2} \frac{\omega_x^2}{\Gamma_2^2 + \Delta\omega_0^2 + \omega_x^2 \frac{\Gamma_2}{\Gamma_1}}$$



Verstimmungsabhängigkeit

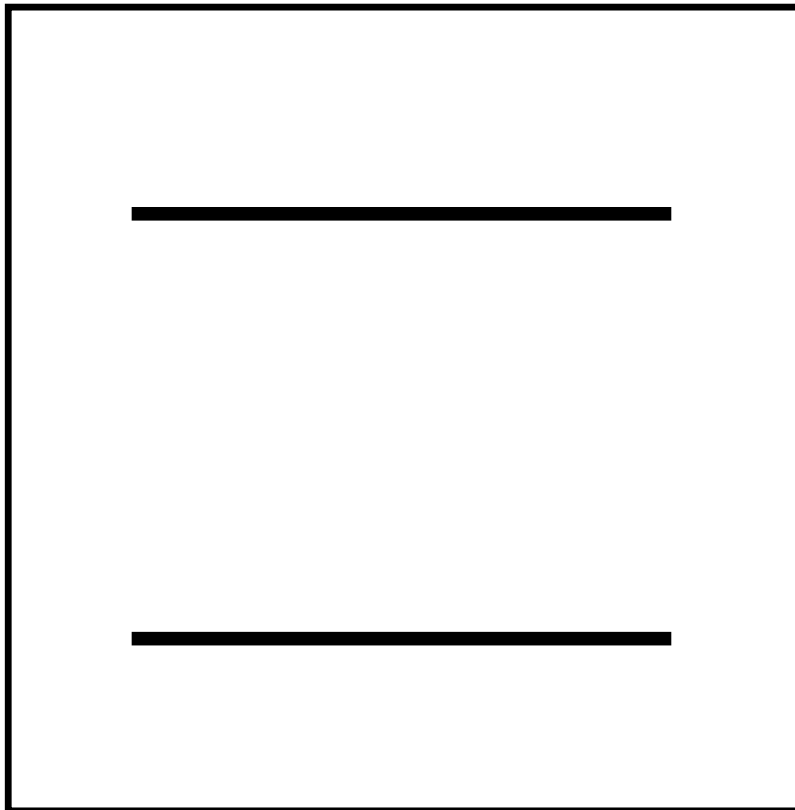


Verstimmungsabhängigkeit



Niveaustruktur

2-Niveausystem



Harmonischer Oszillator

